

JEOPHYSIQUE

CİLT 7, SAYI 2 / EYLÜL 1993

VOL. 7, NO. 2 / SEPTEMBER 1993

Sıvı/Katı Ortamdan Kırılan Baş Dalgalarının
Yapay Sismogramları
Abdullah ATEŞ

Sayısal Arazi Modelinden
Gravimetrik Yerey Düzeltmesi
M. Emin AYHAN

İki Boyutlu Prizmatik Şerit Kütlemin Gravite Etkisinin
Fourier Dönüşümü ve Kentalan Antiklinaline
Uygulanması
Hakki ŞENEL

Türkiye Deprem Bölgeleri Haritasının Evrimi
ve Yeni Bir Harita İçin Öneri
Haluk EYİDOĞAN ve Uğur GÜÇLÜ

Bir Jeofizik Yöntem: Gamma-ışın Spektrometresi
İbrahim AYDIN

Synthetic Seismograms of the Head Waves
due to the Water/Solid Environment
Abdullah ATEŞ

Gravimetric Terrain Corrections using
Digital Terrain Model
M. Emin AYHAN

Fourier Transform of the Gravity Effect of the 2-D
Prismatic Ribbon Mass and its Application to
Kentalan Anticline
Hakki ŞENEL

Evolution of Earthquake Zoning Map of Turkey
and a Proposal for a New Map
Haluk EYİDOĞAN and Uğur GÜÇLÜ

A Geophysical Method: Gamma-Ray Spectrometry
İbrahim AYDIN



TMMOB JEOFİZİK MÜHENDİSLERİ ODASI
THE CHAMBER OF GEOPHYSICAL ENGINEERS OF TÜRKİYE

The future is here today.

VISION
THE TOTAL SYSTEM

Look into the future of seismic exploration.

Halliburton Geophysical Services

HGS' integrated concept is much more than a seismic recording system. Vision will change your thinking with a total systems approach to geophysical solutions. Contact HGS for complete details.



Halliburton Geophysical Services

 A Halliburton Company

6909 Southwest Freeway • Houston, TX 77074 • (713) 774-7561
FAX: (713) 778-3487 • Telex: 6719724



JEOFİZİK

TMMOB JEOFİZİK MÜHENDİSLERİ ODASI SÜRELİ YAYINI
JOURNAL OF THE CHAMBER OF GEOPHYSICAL ENGINEERS OF TÜRKİYE

**TMMOB
JEOFİZİK MÜHENDİSLERİ
ODASI**

Adına Sahibi ve Sorumlu
Yazı İşleri Müdürü
Osman DEMİRAĞ

YÖNETİM KURULU
Executive Committee
Osman DEMİRAĞ
M. Ali AK
Mehmet ALTINTAŞ
T. Fikret AKSU
Cemil KAVUKÇU
A. Uğur GÖNÜLALAN
Imam ÇELİK

EDİTÖR
Editor
Ahmet Tuğrul BAŞOKUR

**TMMOB
JEOFİZİK MÜHENDİSLERİ
ODASI**
Mithatpaşa Cad. 45/15 P.K. 255
Kızılay - ANKARA - TÜRKİYE
Tel: (312) 435 13 79
Fax: (312) 432 10 85

DİZGİ VE BASKI
KOZAN OFSET
Matbaacılık San. ve Tic. Ltd. Şti.
Tel: (312) 341 14 27
Fax (312) 341 28 60

**YILDA İKİ KEZ MART VE EYLÜL
AYLARINDA YAYINLANIR**
Published Twice a Year
in March and September

CILT 7, SAYI 2/EYLÜL 1993 VOL. 7, NO. 2/ SEPTEMBER 1993

İÇİNDEKİLER / CONTENTS

| | |
|--|-----|
| SYNTHETIC SEISMOGRAMS OF THE HEAD WAVES DUE TO THE WATER/SOLID ENVIRONMENT | 67 |
| Sıvı/Katı Ortamdan Kırılan Baş Dalgalarının Yapay Sismogramları Abdullah ATEŞ | |
| SAYISAL ARAZİ MODELİNDEN GRAVİMETRİK YEREY DÜZELTMESİ | 75 |
| Gravimetric Terrain Corrections using Digital Terrain Model M. Emin AYHAN | |
| İKİ BOYUTLU PRİZMATİK ŞERİT KÜTLENİN GRAVİTE ETKİSİİN FOURIER DÖNÜŞÜMÜ VE KENTALAN ANTİKLINALINE UYGULANMASI | 87 |
| Fourier Transform of the Gravity Effect of the 2-D Prismatic Ribbon Mass and its Application to Kentalan Anticline Hakkı ŞENEL | |
| TÜRKİYE DEPREM BÖLGELERİ HARİTASININ EVRİMİ VE YENİ BİR HARİTA İÇİN ÖNERİ | 95 |
| Evolution of Earthquake Zoning Map of Turkey and a Proposal for a New Map Haluk EYİDOĞAN ve Uğur GÜÇLÜ | |
| BİR JEOFİZİK YÖNTEM: GAMA-İŞINI SPEKTROMETRESİ | 109 |
| A Geophysical Method: Gamma-Ray Spectrometry İbrahim AYDIN | |
| YAZI VERENLER | 123 |
| TEZ ÖZETLERİ | 124 |
| ODA ÜYELERİ | 128 |

SYNTHETIC SEISMOGRAMS OF THE HEAD WAVES DUE TO THE WATER/SOLID ENVIRONMENT

Sıvı/Katı Ortamdan Kırılan Baş Dalgalarının Yapay Sismogramları

Abdullah ATEŞ*

ABSTRACT

Beyond the critical angle of the total reflection head (lateral) waves may be generated in the upper medium (water). It has a peak amplitude at the critical angle. Recent literature includes the terms of absorption and shear wave velocity of the solid environment.

In this paper, synthetic seismograms of the head waves due to a known source are presented for different parameters of the medium including water and solid layer.

ÖZET

Baş dalgası kritik açının ötesinde birinci ortamda oluşabilir. Bu dalganın genliği kritik açı değerinde en büyük olur. Son yıllarda katı ortama soğurma ve kesme dalgası hızı terimleri eklenmiştir.

Bu makalede, bilinen bir kaynak kullanılarak baş dalgalarına ait yapay sismogramlar sıvı/katı tabaklı ortamının değişik parametreleri için üretilmiştir.

INTRODUCTION

When the angle of incidence of a wave is equal to or greater than the critical angle, the so-called lateral wave may be observed in the upper medium. The region close to the critical point shows a special case as there would be a difficulty on separating the head wave from the reflected wave. Especially, if the compressional wave velocity in the solid layer is lower than the expected value, separating these two waves may not be possible. Actually, at the critical point head waves and the reflected waves join together. As a result of this, large amplitudes are observed in the vicinity of the critical point. Total wave field can be computed for this region.

Heelan (1953) developed the theory of head waves. Datta & Bhowmick (1969) investigated the head waves in two dimensional model. Mott (1971) worked out reflection and refraction coefficients at a fluid/solid interface. The innovation in Mott's work was that the medium is assumed as lossy. Kumar and Raghava (1981) analyzed the amplitudes on reflection records of some of the shallow refraction profiles shot primarily for detailing the near-surface structure in granitic-terrain.

It has often been easy to estimate all other parame-

ters such as absorption, longitudinal wave velocity and density of the bottom (Brekhevskikh 1980). It is more difficult to estimate the shear wave velocity of the solid layer. The synthetic seismograms of the lateral wave for the region close to the critical point may bring information about the shear wave velocity. The shear wave creates a disturbance along the water/solid interface and does not pass into the upper medium (water). However, the compressional wave which does travel in water comprises the influence of the shear wave of the solid layer (Godin 1983).

Considering a water/solid environment, the medium is assumed as inhomogeneous as upper and lower mediums with different velocities in between them (Fig. 1). Hence, It should be noted that water and the solid layer are individually assumed purely homogeneous. The physical parameters are denoted by p , C_w , in the upper medium as density and velocity of water and P_l , CL , CT in the lower medium as density of the bottom, longitudinal and shear wave velocities, respectively.

Source and receiver are located in the upper medium (water). In Fig. 1, Z_0 and Z are the distances from the source and the receiver to the seabottom. θ_i is the angle of incidence, δ_l is the critical angle due to the longitudinal wave.

* Ankara Üniversitesi, Fen Fakültesi, Jeofizik Müh. Bölümü, Beşevler, 06100 Ankara.

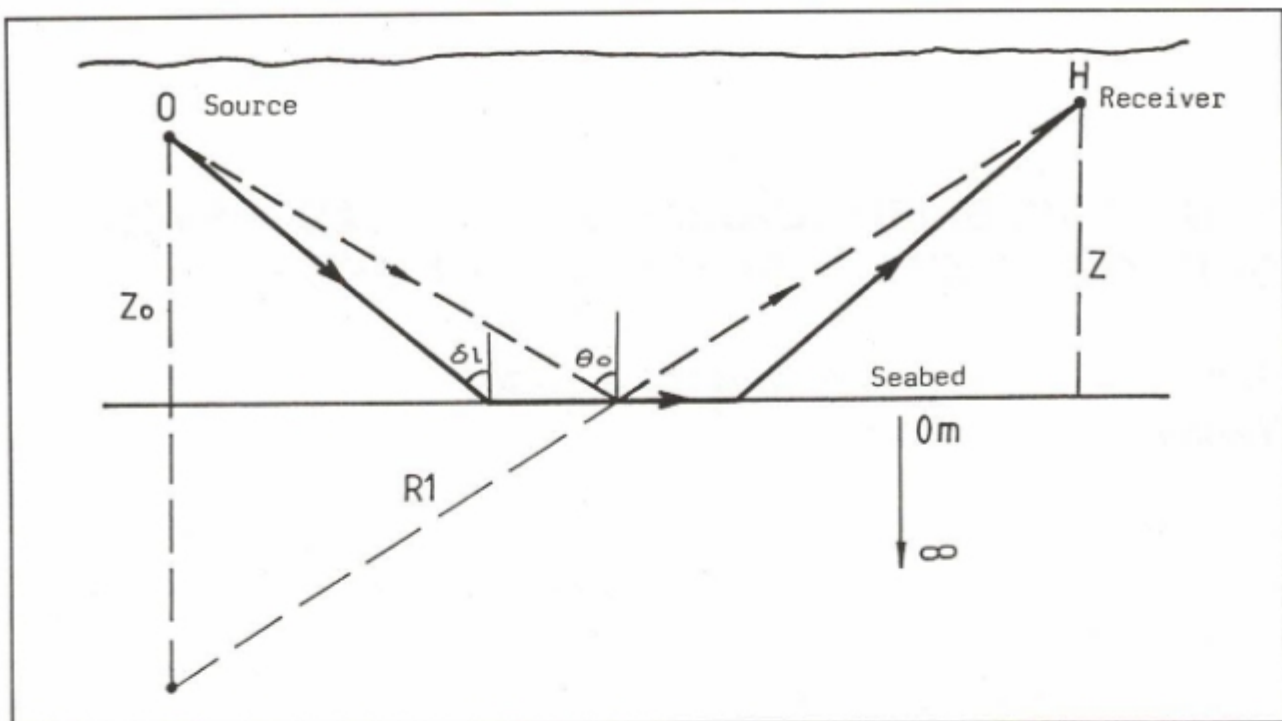


Fig. 1. The considered medium. Water thickness is chosen maximum 200 metres. The source and the receiver are located anywhere in water. The solid line shows the head wave path in water, seabed and again water. The dashed line is the reflected wave path.

Şekil 1. İncelenen ortam. Su tabakasının kalınlığı 200 metre. Alıcı ve vericinin konumları su içinde herhangi bir yerdedir. Kesiksiz çizgi baş dalgasının yolunu su, deniz yatağı ve tekrar su olarak göstermektedir.

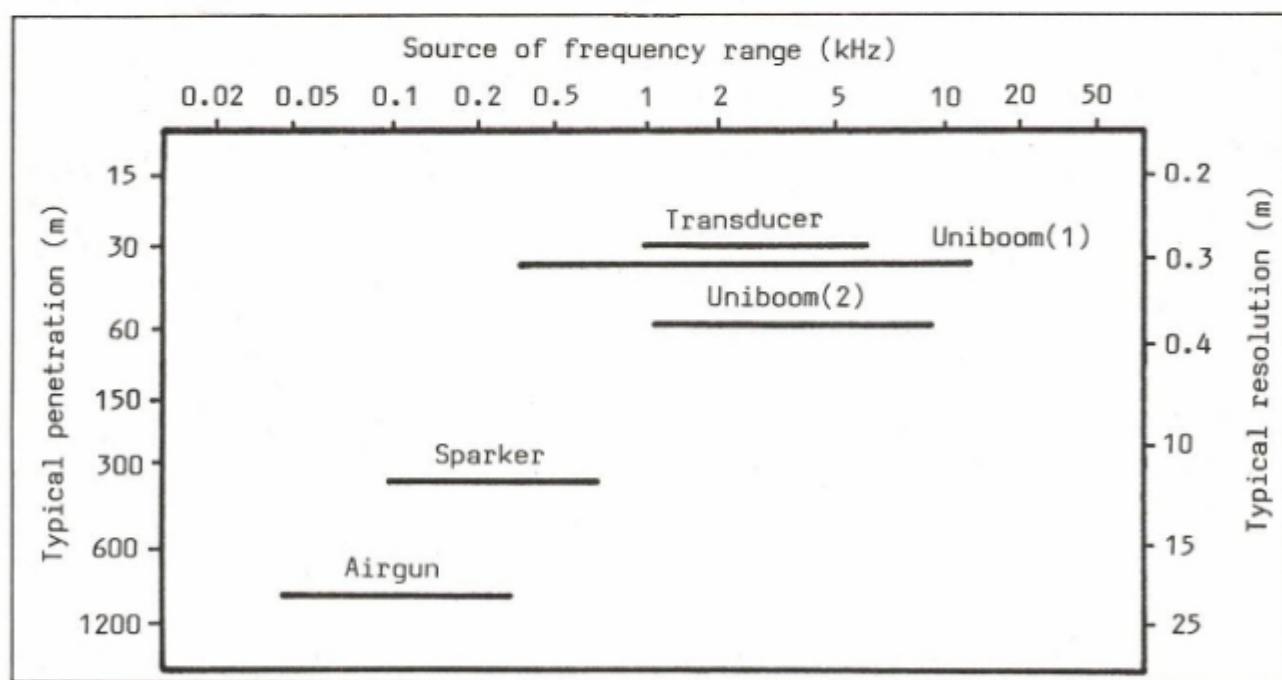


Fig. 2. Typical performances of acoustic sources.

Şekil 2. Akustik kaynakların tipik çalışma aralıkları.

Application of the steepest-descent path method to the integral representation of the reflected wave field resulted in the limitations and these limitations are expanded by the parabolic cylinder functions (Brekhovskikh 1980). However, a new expansion which is not restricted by the limitations for large k (wavenumber) and R_i (distance from the image of the source to the receiver) is introduced (Godin 1983). Therefore, the solution for the head wave (ψ_L) for the entire region of ($R_o \Rightarrow R_i$) is given by Godin (1983) shown in equation (1).

$$\psi_L = \psi_{L1} \sqrt{z} (-dl)^{1/2} (-dl^2/2) [D_{1/2}(dl) \exp(dl^2/4) - dl^{1/2}] \quad (1)$$

$$\psi_{L1} = \frac{2i \sin \delta_1 \exp[ikR_i \cos(\theta_o - \delta_1)]}{mkR_i^2 [\sin \theta_o \cos \delta_1 \sin^3(\theta_o - \delta_1)]^{1/2}} \left(1 - 2 \frac{k_i^2}{k_i^2} \right) \quad (2)$$

ψ_{L1} is the head wave which propagates water and seabed due to the longitudinal wave.

$D_{1/2}(dl)$ is the parabolic cylinder function. (see Godin, 1983 for the choice of the suffix 1/2 and the properties of this function).

In equation (2), the first term is identical with the Brekhovskikh's (1980) notation. When the lower half space has shear elasticity, the second term is included (Godin 1983).

dl is purely imaginary and can be given as;

$$dl = \exp\left(\frac{i}{4}\right) (kR_i)^{1/2} \sin\left[\frac{(\theta_o - \delta_1)}{2}\right] \quad (3)$$

δ_1 is the critical angle due to the longitudinal wave.

$$\delta_1 = \arcsin\left(\frac{C_i}{C_w}\right) \quad (4)$$

$$k_i = \left(\frac{2\pi}{C_i}\right); k_i = \left(\frac{2\pi}{C_i}\right);$$

m is the ratio of densities (p/p_i).

For small amount of absorption, $\delta_1 = \delta_1' + i\delta_1''$ may be defined as complex quantity and used in equation (4) instead of δ_1 . In the following calculations of the synthetic seismograms, absorption will be added as imaginary in terms of Nepers/metre (Urick 1982).

SEISMIC (ACOUSTIC) SOURCES AND CONSTRUCTING TIME DOMAIN SYNTHETIC SEISMOGRAMS

The selection of the seismic source is often based upon requirements for resolution and depth of penetration. Hereby, a shallow seabed of 50 metres is considered. Water depth is as deep as continental shelf which is maximum 200 metres from the sea surface to the bottom of the sea. The acoustic source that will be discussed, listed in the or-

der of decreasing resolution and increasing penetration are; the tuned transducer, the Unibooms (2 types) and the airgun (Fig. 2).

Tuned transducer system for the profiling is selected on the basis of their frequency range (generally 1.5 kHz to 7.5 kHz) and power available from the transmitter (12 KW to 500 KW). The high frequency systems provide good resolution but, are limited in penetration (Fig. 2).

To improve penetration, low frequency transducers are used with increasing amount of electrical power in order to provide high energy level. Some typical source performances are given in Fig. 2 (Geyer 1983).

The obvious desirable characteristics are for marine source that it must radiate a pressure wavefield of appropriate strength combined with a suitable signature and it must be repeatable with cycle time approaching the refraction record duration. In the following a special type of a seismic source (wavelet) will be used (Fig. 3a). This source function could conceivably be produced by a tuned transducer or an Uniboom type of transducer which is going to be used in the calculations of synthetic seismograms. The time duration of this special wavelet will be kept constant, as 16 msec. at all times. The mentioned wavelet is a real time signal and its amplitude spectrum is provided by using Fast Fourier Transform to the time domain seismic source function (Fig. 3b).

The time duration of such a wavelet might vary from a few tens of milliseconds to several hundred milliseconds. Therefore, the extent of the corresponding spatial waveform in the seabed may be anything from a few tens of meters or more, depending on the propagation velocity. Here, a single interface is considered and then all the process will be carried out as a single output with the identical phase for each head wave path coming from the seabed.

Synthetic seismograms are included in much of the literature as this has a significance on understanding the theoretical deductions for model structures. Most of the synthetic seismogram algorithms ignore the absorption. For not more than two decades, attention has been given to the problem of including absorption in the synthetic trace. However, most of these studies are based on reflection techniques and yet, there are few work have been done on refraction techniques on shallow marine seabed.

Calculating synthetic seismograms started with Peterson, et. al. (1955). Clearbot (1968) improved a computer programme for synthetic seismograms. Ganley (1981) has included the absorption to the medium and he also calculated the reflection and transmission coefficients for zero frequency.

The synthetic seismograms are calculated in the wavenumber-frequency domain and Fourier transformed back into time domain. The choice of the frequency domain as a working space is motivated by the fact that Godin's (1983) theory which is derived in the frequency domain from plane wave theory allows to include the effect

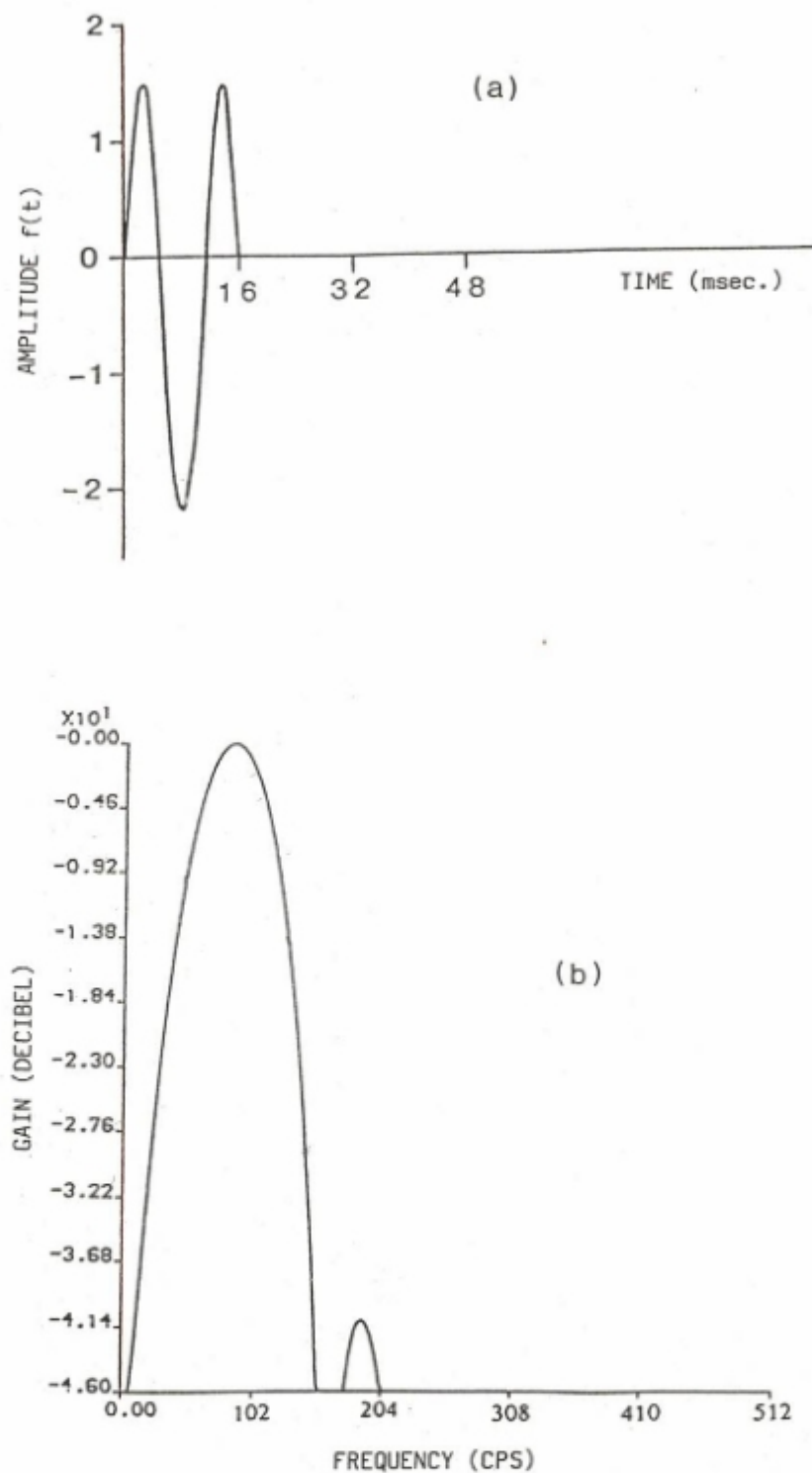


Fig. 3. a) Real time signal used as a time domain source function. b) The amplitude spectrum of the time domain signal shown in (a). Amplitude spectrum is provided using FFT and it shows the 0.48 dB of the amplitude spectrum of the source function.

Şekil 3. a) Zaman ortamı kaynak fonksiyonu olarak gerçek zaman sinyali kullanılmıştır. b) (a) da görülen gerçek zaman sinyalinin genlik spektrumu. FFT kullanılarak elde edilen genlik spektrumunun yalnız 0.48 dB görüntülenmiştir.

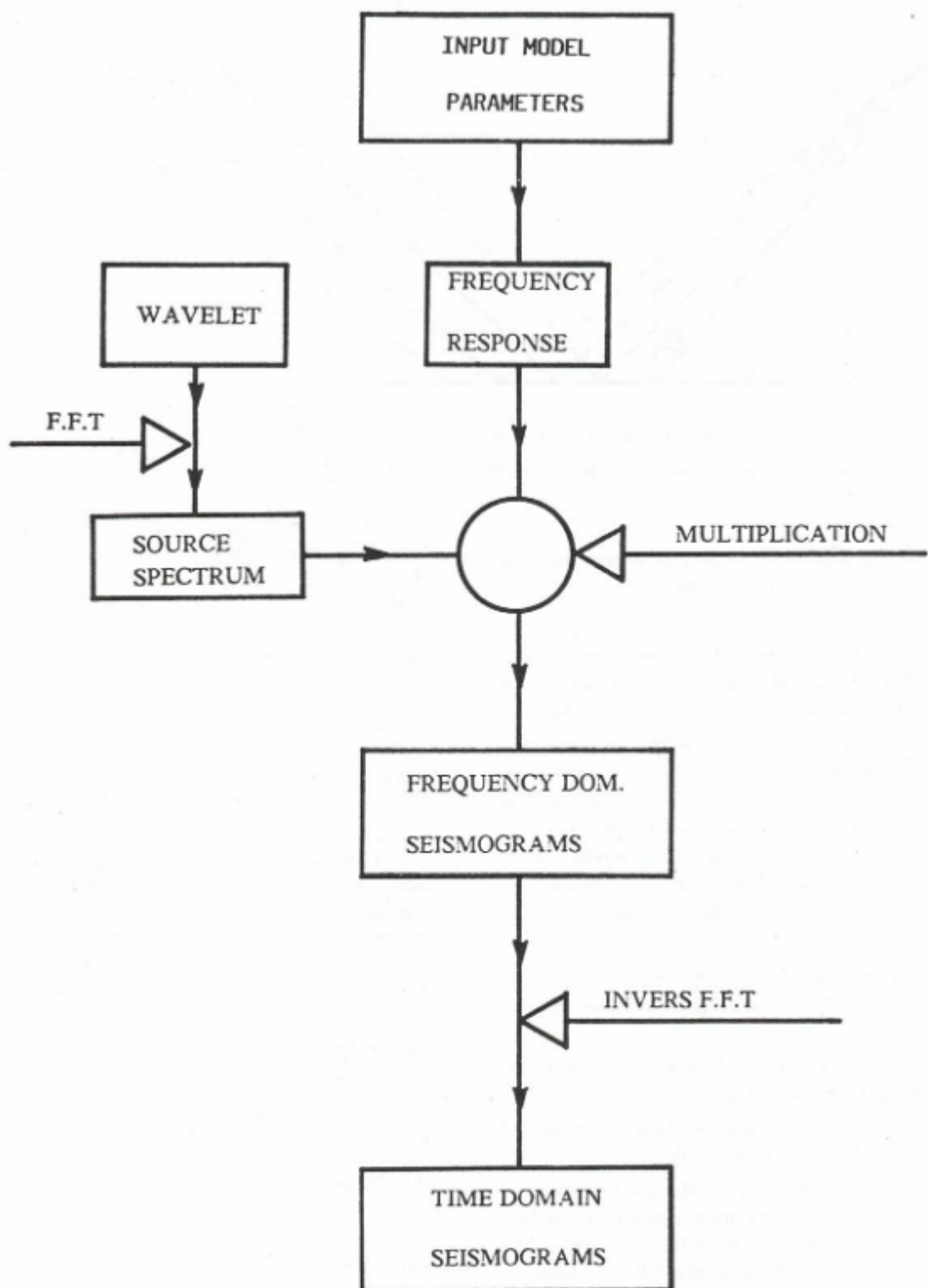


Fig. 4. The steps which are involved in construction of the synthetic seismograms.

Şekil 4. Yapay sismogramların oluşturulmasını içeren basamaklar.

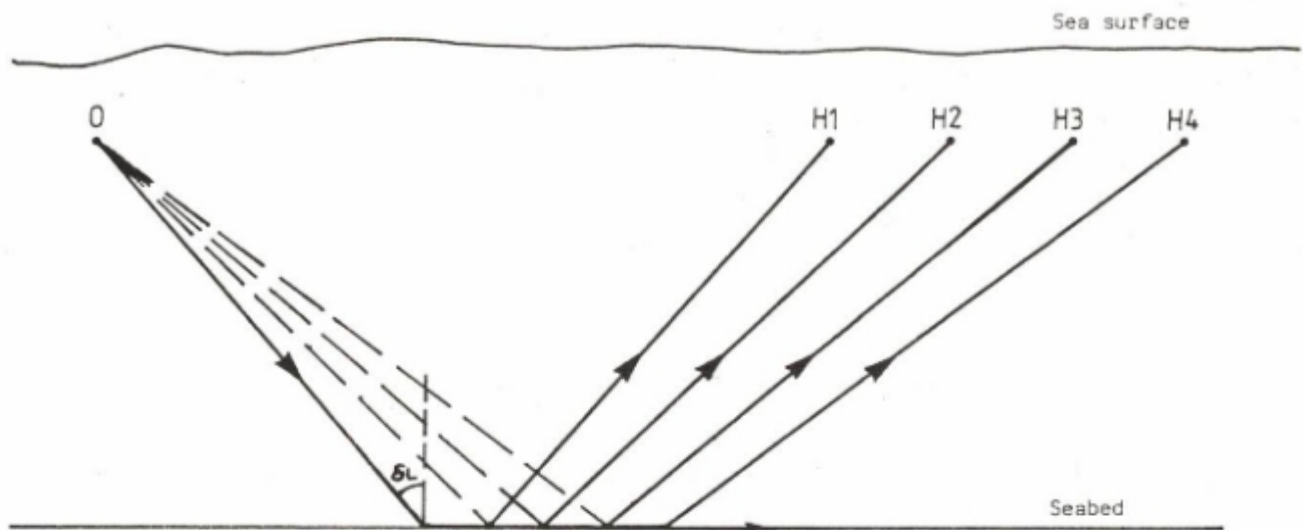


Fig. 5. An illustration of the considered medium showing the position of the source and the hydrophone array.

Şekil 5. Alıcı ve kaynak pozisyonlarını gösteren ortamın görüntüsü.

of attenuation.

In the frequency domain, synthetic seismogram equation to an impulse function is given by

$$G(w) = H(w) u(w) \quad (5)$$

where $u(w)$ is the transform of the time domain source function of an impulse, $H(w)$ is the transfer function and $G(w)$ is the Fourier transform of the impulse response.

Knowing the response of the model to a spike input allows us to use a wavelet other than a spike. Godin's (1983) equation for the lateral wave is the response to an input spike. Here, a source function other than a spike is used (Fig. 3a). The transfer function of the model is multiplied with the Fourier transform of the source function and the synthetic seismograms are in the frequency domain:

$$S(w) = F(w) G(w), \quad (6)$$

where $F(w)$ is the Fourier transform of the real time domain function and $S(w)$ is the frequency domain synthetic seismogram.

Fig. 4 shows the steps which are involved in construction of a synthetic seismogram.

Two different models have been chosen and the parameters of the models are given in table. 1.

In order to obtain frequency domain synthetic seismograms first, Godin's lateral wave equation (1) has been used to calculate amplitudes in terms of frequency. Thus impulse responses are in the frequency domain at fixed distances beyond the critical angle. An illustration of the medium is given in Fig. 5 in which H1, H2, H3, H4 show a hydrophone array.

In order to restore the frequency domain seismograms in the time domain, Inverse Fast Fourier Transform

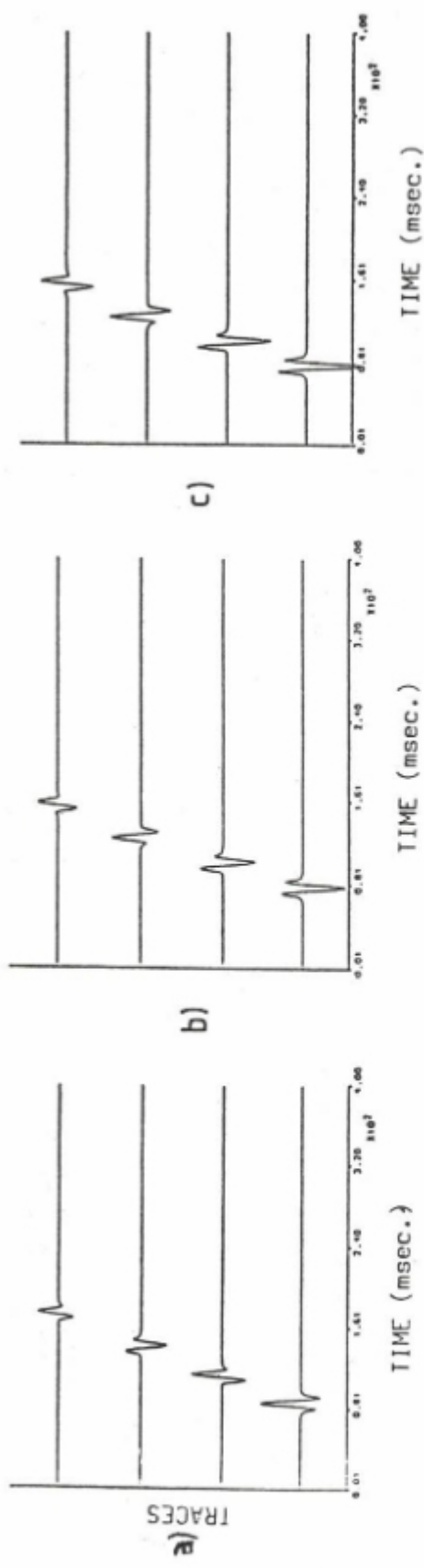
has been employed. The synthetic seismograms resulting from these simulations are constructed in two models. Table 1 shows the parameters of the models, model (i) and model (ii), varying in depth, absorption and shear wave velocity. Figures 6, a, b, c and 7a, b, c. show the synthetic seismograms resulting from these models (model (i) and model (ii), respectively), which are the source responses of the seabed transmission filters.

CONSLUSIONS

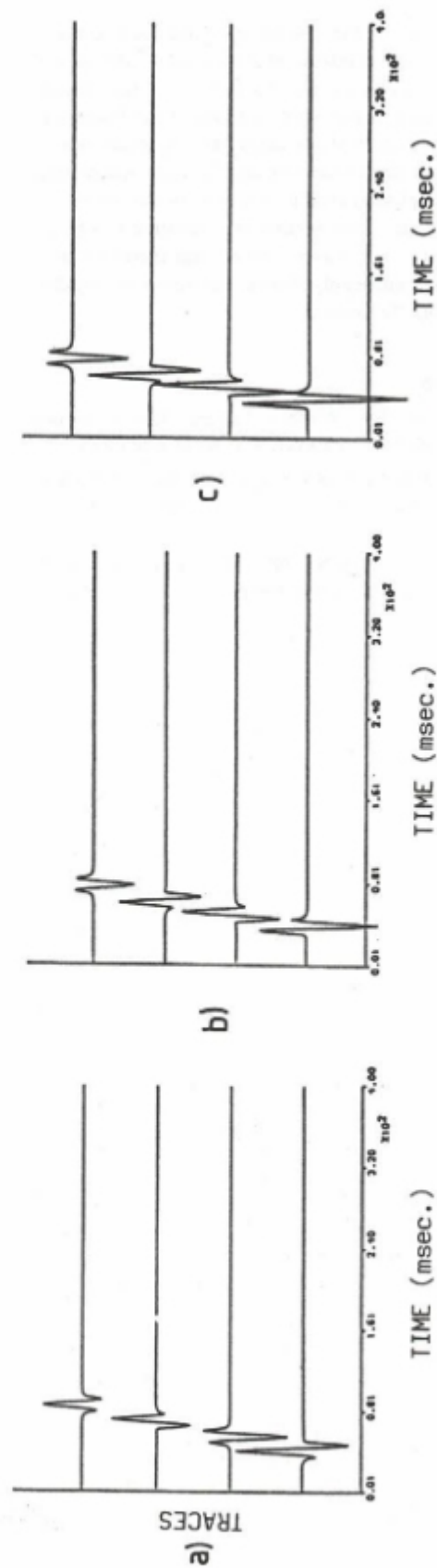
As it is seen from the graphical results that the transmitted signatures are delayed relative to each other. To determine the magnitude of the each delayed transmitted signature may be compared to the source pulse used to generate it. Complex phase lag with the contribution of absorption has led to shape changes for the received pulses as each of the received pulse has an identical phase at the boundary. Presence of shear wave in the solid environment

Table 1. Constructed two models and their parameters

| Parameters of the model | Model (i) | | | Model (ii) | | |
|---|-----------|-----------|-----------|------------|-----------|-----------|
| Seismograms presented in | Figure 6 | | | Figure 7 | | |
| Depth (m) | | 50 | | | 25 | |
| Density (kg/m^3) | water | solid | | water | solid | |
| | 1000 | 2700 | | 1000 | 2700 | |
| Compressional wave velocity (m/s) | 1500 | 2400 | | 1500 | 2400 | |
| Absorption (Nepers/m) | a 0 | b 0.14 | c 0.14 | a 0 | b 0.14 | c 0.14 |
| Shear wave velocity (m/s) | 0 | 0 | 640 | 0 | 0 | 640 |



Sekil 6. Model "i" için yapay sismogramlar. a) Yapay izlere sogurma ve kesme dalga hızı eklenmemiştir. b) (a) da görülen yapay ize 0.14 Nepers/m düzeyinde sogurma eklenmiştir. c) (b) de görülen yapay ize 640 m/s düzeyinde kesme dalgası hızı eklenmiştir.



Sekil 7. Model "ii" için yapay sismogramlar. a) Yapay izlere sogurma ve kesme dalga hızı eklenmemiştir. b) (a) da görülen yapay ize 0.14 Nepers/m düzeyinde sogurma eklenmiştir. c) (b) de görülen yapay ize 640 m/s düzeyinde kesme dalgası hızı eklenmiştir.

resulted in small increases in the amplitudes of the synthetic traces.

Consequently, in Figures 6a, b, c and 7a, b, c transmissions through the synthetic seabed models are shown. The synthetic traces in Figures 6a and 7a do not include absorption and shear wave velocity terms of the lower medium. Figures 6b and 7b show when there is absorption of 0.14 Nepers/meter and Figures 6c and 7c show when shear wave velocity level increased to 640 m/s. in the lower medium. The synthetic seismograms are sensitive to change in absorption and shear wave velocity and therefore head wave may carry significant information about the rigidity of the seabed from the seabed.

REFERENCES

- Brekhovskikh, L.M. 1980, Waves in Layered Medias, Second edition, Translated by Beyer, R.T. Academic Press.
- Clearbout, J.F. 1968, Synthesis of a layered medium from its acoustic transmission response, Geophysics 33, 264-269.
- Datta, S. and Bhowmik, A.N. 1969, Head waves in two dimensional seismic models, Geophysical Prospecting 17, 419-432.
- Ganley, D.C. 1981, A method for calculating synthetic seismograms which include the effects of absorption and dispersion, Geophysics 46, 1100-1107.
- Geyer, R.A. 1983, Handbook of Geophysical Exploration at Sea, CRC Press inc., Boca Raton, Florida.
- Godin, O.A. 1983, Lateral waves in absorbing media, Sov. Phys. Acoustics 29, 101-105.
- Kumar, G.N. and Raghava, M.S.V. 1981, On the significance of amplitude studies in shallow refraction seismics, Geophysical Prospecting 29, 350-362.
- Heelan, P.A. 1953, On the theory of head waves, Geophysics 18, 871-893.
- Mott, G. 1971, Reflection and refraction at a fluid-solid interface, Jl. Acoustical Soc. Am. 50, 819-829.
- Peterson, R.A., Fillippone, W.R., & Coker, F.B. 1955, The synthetic seismograms from well log data, Geophysics 20, 516-538.
- Urick, R.J. 1982, Sound propagation in the Sea, Peninsula pub., California.

SAYISAL ARAZİ MODELİNDEN GRAVİMETRİK YEREY DÜZELTMESİ

Gravimetric Terrain Corrections using Digital Terrain Model

M. Emin AYHAN*

ÖZET

Jeofizik ve jeodezide geniş uygulama alanı olan gravimetrik yerey düzeltmesi (terrain correction) değerini hesaplamak için birçok yöntem geliştirilmiş olup, bu yöntemlerde kullanılan temel veri topografik yüksekliklerdir. Bu çalışmada; topoğrafya dikdörtgen prizmalarla (bölme) ayrılmakta ve her bölmenin hesap noktasından uzaklısına ve yüksekliğine bağlı olarak tam veya yaklaşık formüller ile gravimetrik yerey düzeltmesine katkısı hesaplanmaktadır. Hesap noktasından 21.9 km uzaklıktı içinde kalan topoğrafya önce iç, orta ve dış olmak üzere üç bölgeye ayrılmakta ve her bölge de farklı sayısal arazi modelinden (DTM) elde edilen topografik yükseklikler kullanılmaktadır. Bu amaçla iki DTM oluşturulmuştur. DTM'lerden ilki Türkiye'yi kapsayan alanda, insan gücü ile sayısallaştırılan $15'' \times 20''$ ($450 \text{ m} \times 450 \text{ m}$) grid köşesi yüksekliklerinden oluşur. İkinci DTM ise; $39^{\circ}00'31'' - 39^{\circ}14'31''$ enlemleri ve $37^{\circ}22'56'' - 37^{\circ}36'56''$ boyamları ile sınırlı uygulama bölgesinde, $1/25\,000$ ölçekli haritaların bilgisayarda sayısallaştırılması ile elde edilen $1'' \times 1''$ ($30 \text{ m} \times 30 \text{ m}$) lik DTM'dir. Gravimetrik yerey düzeltmesi hesaplanırken; $15'' \times 20''$ lik DTM'den bikübik spline fonksiyonları ile interpolate edilen yükseklikler iç bölgesinde veri olarak kullanılmıştır. Uygulama bölgesinde merkezi $11.1 \text{ km} \times 8.5 \text{ km}$ genişlikli alanda gravimetrik yerey düzeltmesi hesaplanmış ve bir harita biçiminde düzenlenerek topoğrafya ile ilişkisi gösterilmiştir.

ABSTRACT

Various methods have been developed for the estimation of gravimetric terrain correction applied in geophysics and geodesy. Heights are used as the base data of these methods. In this study, topography is divided into rectangular prisms (blocks) then exact or approximate expressions are applied to estimate the contribution of a block to gravimetric terrain correction depending on, respectively, the height of block and the distance between block and the measurement station.

The area within a radius of 21.9 km divided into three segments referred as innermost, inner and external zones. The proposed method requires two digital terrain models (DTM) one for external zone and one for inner subarea. The available DTM within whole Turkey includes heights interpolated manually over the maps at $15'' \times 20''$ ($450 \times 450 \text{ m}$) nodal points. Heights of the application area bounded by latitudes $39^{\circ}00'31'' - 39^{\circ}14'31''$ and longitudes $37^{\circ}22'56'' - 37^{\circ}36'56''$ have been scanned over the maps scaled 1/25 000 and then heights at $1'' \times 1''$ ($30 \text{ m} \times 30 \text{ m}$) nodal points have been obtained. The contributions of the inner and external subareas have been computed with $1'' \times 1''$ DTM and $15'' \times 20''$ DTM respectively. Furthermore, the heights densified using bicubic spline interpolation have been applied within innermost subarea. Gravimetric terrain corrections have been calculated within a square subarea, dimensioned $11.1 \text{ km} \times 8.5 \text{ km}$, centered inside the application area. In addition, a map of gravimetric terrain corrections within the area has been made ready to illustrate the relationship between topography and gravimetric terrain correction.

GİRİŞ

P yeryüzü noktasından geçtiği düşünülen düzlem veya küresel Bouguer plakası ile topoğrafya arasında kalan artık ve noksan kitlelerin P noktasında yarattığı toplam çekim kuvvetinin düşey bileşeni gravimetrik yerey düzeltmesi olarak isimlendirilir. Yazı içinde gravimetrik yerey

düzeltmesinden kısaca yerey düzeltmesi (tc) ismi ile söz edilecektir. Yerey düzeltmesi jeofizikte kitle anomalilerinin tespitinde kullanıldığı gibi, jeodezik amaçla dünyann gravite alanının belirlenmede ve gravite interpolasyonunda kullanılır. Yersel ölçülerden dünyanın gravite alanını belirlemek üzere geliştirilen iki temel kuram bulunmaktadır; Stokes kuramı ve Molodensky kuramı. Stokes kuramına

* Jeodezi Dairesi, Harita Genel Komutanlığı, Çebeci, 06100, Ankara.

göre jeoidin dışında herhangi bir kitle bulunmaması ve sınır değerlerinin (gravite anomalilerinin) jeoid türlerinde olması istenir. Jeoid dışında yeralan kitleleri (topografa) Bouguer plakası ile yok etmek ancak t_c 'nin gözönünde tutulması ile olağanlıdır. Topografyanın gözardı edilmesi ile ilgili ikinci Helmert yoğunlaştırma yönteminde, Helmert anomalileri serbest hava anomalilerine t_c 'nin eklenmesi ile elde edilir (Heiskanen ve Moritz 1967, Wichiencharoen 1982). Molodensky kuramında ise fiziksel yeryüzündeki serbest hava anomalilerine getirilecek birinci dereceden düzeltme g_i yerine belirli bir varsayımla t_c kullanılmaktadır.

Yerey düzeltmesi için temel giriş verisi topografiyadır. Daha çok kontur haritaları biçiminde olan topografiyayı hesaplama yöntemine uygun seçilen dağılım ve düzende nokta yüksekliği veya ortalama yükseklik olarak insan gücü veya bilgisayar ile sayısallaştırılır. Yerey düzeltmesi hesaplama yöntemlerinde topografiya silindirik bölge, dikdörtgen bölge, konik kabuk, üçgen bölge gibi geometrik parçalara ayrılır ve her parçanın ölçü noktasındaki etkisi hesaplanarak t_c belirlenir. Bu yöntemlerden en eski ve iyi bilineni silindirik bölmelere dayanır. Topografik haritalar üzerinde hesap noktası merkez olmak üzere yerleştirilen saydam altlıklardan silindirik bölmelerde ortalama yükseltikler insan gücü ile okunmakta ve çizelgelerden yararlanarak t_c hesaplanmaktadır (Hayford ve Bowie 1912, Hammer 1939). Sonraki yıllarda özellikle bilgisayarların kullanımı girmesiyle bilgisayarda hesaplama ve sayısallaştırma yöntemleri kullanılmıştır. Bu yöntemlerle ilgili genel bir değerlendirme Stacey ve Stephens (1970), Ayhan ve Kahveci'de (1991) verilmektedir.

Bu çalışmada, topografyanın yan yana dikdörtgen bölmelerden oluşan düşüncülerek her dikdörtgen bölge çekim etkisi aynı zamanda tam veya yaklaşık formüller ile belirlenmiştir (Nagy 1966, 1988, Ayhan 1981, Forsberg 1984). Uygulanan yönteme bağlı olarak grid köşelerinde sayısallaştırılan topografik yükseltikler veri olarak kullanılmaktadır. Grid köşelerinde sayısallaştırılan yükseltikleri içeren sayısal arazi modelinden (DTM) t_c değerini bilgisayarda hesaplamak düşüncesi yeni olmayıp çok sayıda araştırmacı tarafından ele alınmıştır. DTM ile uygulanan bazı t_c hesap yöntemlerinde Hammer'de (1939, 1982) verilen çizelgelerden yararlanmak üzere silindirik bölmelerin ortalama yüksekliği belirlenmiştir (Cogbill 1990, Ballina ve Lopez 1990). Bazlarında ise dikdörtgen bölge, silindirik bölgeye benzetilerek ve dikdörtgen bölge etkisinin belirli bir yaklaşıkla belirlenmesi yoluna gidilmiştir (Pick 1987, 1988). Özellikle ülke boyutunda t_c haritalarını hazırlamak ve yoğun gravite ölçü noktalarında t_c hesaplamak için grid verilerden oluşan DTM büyük kolaylık sağlammaktadır. Grid veri ile uygulanan diğer bir yöntem ise FFT (Fast Fourier Transform) yöntemidir (Sideris 1984, Harrison ve Dickinson 1989).

Newton çekim yasasına göre hesap noktasından uzaklaşıkça kitlelerin çekim etkisi azalmaktadır. Bu nedenle t_c hesaplanırken, nokta yakınında daha ayrıntılı DTM olmak üzere daha büyük grid aralıkları DTM'in nokta-

dan belirli bir dış sınıra kadar kullanılması uygun olmaktadır. Bu durum göz önünde tutularak, hesap noktası çevresindeki topografiya iç, orta ve dış olmak üzere üç bölgeye ayrılır. Bir yazida dikdörtgen bölmelerin çekim etkisini belirlemeye uygun matematik model ele alındıktan sonra, bu yöntemde kullanılan grid verilerin özellikleri açıklanmaya çalışılacak ve Kangal ve Alacahan yakınında seçilen test bölgesinde yapılan sayısal uygulamanın incelenmesi ile uygulamaya yönelik öneriler ve sonuçlar verilecektir.

DİKDÖRTGEN BÖLMENİN ÇEKİM ETKİSİ (TAM, YAKLAŞIK)

Merkezi, P hesap noktasında bulunan (X, Y, Z) dik koordinat sisteminin koordinat düzlemlerine paralel düzlemler ile bir dikdörtgen bölge oluşturulsun (Şekil 1).

Sabit yoğunluklu i nci dikdörtgen bölmeyi P noktasında yarattığı çekim kuvvetinin düşey bileşeni $t_{c,i}$:

$$t_{c,i} = G \rho \int \int \int \frac{f}{Z_1 Y_1 X_1} \frac{f}{(X^2 + Y^2 + Z^2)^{3/2}} dX dY dZ \quad (1)$$

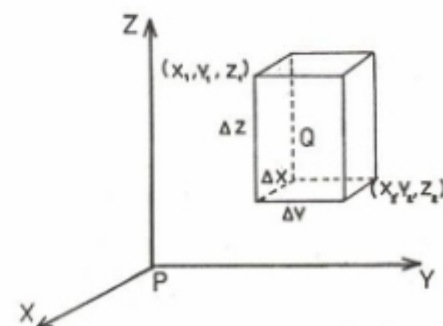
ile yazılır. Bu eşitlikteki üç katlı integralin açılımı ile uygulama formülü;

$$t_{c,i} = G \rho \int \int \int \frac{|X| \ln(Y+\lambda) + Y(X+\lambda)}{Z^2 + Y^2 + Z^2} \frac{|Z_2 - Z_1|}{(Y+\lambda)(Y+Z)^{1/2}} \frac{|Y_2 - Y_1|}{|X_2 - X_1|} dX dY dZ \quad (2)$$

olarak bulunur (Nagy 1966, 1988). Burada

$$\lambda = (X+Y+Z)^{1/2} \quad (3)$$

ile tanımlıdır. (2) bağıntısının değişik bir şekli Banerjee ve Gupta (1977), Ayhan (1981)'de verilmektedir. (2) eşitliği çarpanılarken, Şekil 1'deki dikdörtgen bölmeyi üst yüzeyi (X, Y) düzlemine paralel ve ayrıca bölge içinde yoğunluğun sabit olduğu öngörülmüştür. Dikdörtgen bölge üst yüzeyinin eğik düzlem olması durumunda çözüm eşitlikleri Blais-Ferland (1984)'de bulunabilir. Ayrıca bölge içinde yoğunluğun düşey doğrultuda quadratik değiştiği varsayılarak çekim etkisi düşey bileşeninin belirlenmesi Bhaskara,



Şekil 1. Dikdörtgen bölge.
Fig. 1. Rectangular block.

Rao-Ramesh ve Babu (1991), Garcia ve Abdeslem (1992)'de ayrıntılı olarak ele alınmaktadır.

Hesap noktasından uzakta bulunan dikdörtgen bölmelerin çekim etkisi olduğundan, (2) yerine yaklaşık formüllerin kullanılması yoluna gidilir. Yaklaşık formüllerde de ilki dikdörtgen bölme çekim potansiyeli (V) küresel harmonik serilere açılarak;

$$V = G\rho \Delta X \Delta Y \Delta Z \left[\frac{1}{\lambda} + \frac{1}{24\lambda^5} [(2\Delta X^2 - \Delta Y^2 - \Delta Z^2) \bar{X}^2 + (-\Delta X^2 + 2\Delta Y^2 - \Delta Z^2) \bar{Y}^2 + (-\Delta X^2 - \Delta Y^2 + 2\Delta Z^2) \bar{Z}^2] + \frac{1}{288\lambda^7} [\dots \dots \dots] + \dots \dots \right] \quad (4)$$

$$tc = - \frac{\partial V}{\partial Z} \quad (5)$$

ile bulunur (MacMillan 1958, Forsberg 1984). Burada (\bar{X} , \bar{Y} , \bar{Z}); Q dikdörtgen bölge ağırlık merkezinin koordinatlarıdır (Şekil 1). Dikdörtgen bölge kitlelerinin Q noktasında yoğunlaştırılması durumunda nokta kitle yaklaşımıyla dikdörtgen bölge etkisi;

$$tc = G\rho \Delta X \Delta Y \Delta Z \frac{\bar{Z}}{(\bar{X}^2 + \bar{Y}^2 + \bar{Z}^2)^{3/2}} \quad (6)$$

bağıntısı ile de belirlenebilir. Yukarıda açıklanan yöntem ile tc hesabına uygun, TC isimli FORTRAN programlama dilinde bir yazılım Forsberg (1984)'de verilmekte olup, bu çalışmada da kullanılmıştır.

TOPOGRAFİK YÜKSEKLİK VERİLERİ

Bir önceki bölümde açıklanan dikdörtgen bölge çekim etkisini hesaplamaya uygun tam ve yaklaşık bağıntıların tc belirlemedeki etkinliğini sergileyebilmek amacıyla, Kandal/Sivas yakınında seçilen bir deneme bölgesinde uygulama yapılmıştır. Deneme bölgesinde yapılan sayısal uygulamada, giriş verisi olarak üç ayrı DTM kullanılmış olup, herbinin nitelikleri aşağıda kısaca aynı ayrı açıklanmaktadır.

1"x1" DTM

Deneme bölgesini kapsayan I38-c2, I39-d1, J38-c3 ve J39-d4 1/25 000 ölçekli topografik haritalar bilgisayar olanakları kullanılarak sayısallaştırılmıştır. Her bir paftanın eşyuksekti kalıbı raster tarayıcı ile tarandıktan sonra vektöre dönüştürme işlemi yapılmış ve daha sonra dört paftayı kapsayan 1"x1" grid aralıklı 841x841 boyutlu yükseklik matrisi elde edilmiştir. Elde edilen yükseklik matrisinin doğruluğunu denetlemek amacıyla bölge topografyasının üç boyutlu perspektif görüntüsü çizdirilmiş olup, Şekil 2'de verilmektedir. Bilgisayar olanakları ile yapılan bu sayısallaştırılmış, eşyuksekti eğrilerinin özellikle ara eşyuksekti eğrilerinin uygun etiketlenmesi ve bölge içinde yüksekliği bilinen nokta değerlerinin doğru girilmesi oldukça önemlidir. Raster tarama ve vektöre dönüştürme ile ilgili ayrıntılı

Çizelge 1. DTM Doğrulküpü

Table 1. The DTM Accuracy

| Grid | Nokta Sayısı | Min (m) | Max (m) | Ortalama (m) | RMS (m) |
|---------|--------------|---------|---------|--------------|---------|
| 1"x1" | 88 | -5 | 4 | 0.06 | ± 1.60 |
| 15"x20" | 88 | -47 | 30 | -1.90 | ± 14.14 |

açıklama Sarbanoglu (1991)'de verilmekte olup, burada degniilmeyecektir. Sözkonusu dört 1/25 000 ölçekli paftanın sayısallaştırılıp etiketlenmesi ve kontrolü yaklaşık bir aylık titiz bir çalışma sonunda gerçekleştirilebilmiştir. Elde edilen 1"x1" lik yükseklik matrisinin doğruluğunu denetlemek amacıyla; test bölgesi içindeki UTM grid çizgilerinin kesim noktalarında yükseklik değerleri paftalar üzerinden interpolate edilmiştir. 1 km x 1 km grid aralıklı bu 88 test noktasının yüksekliği bir de 1"x1" lik yükseklik matrisinden bikiükibik spline fonksiyonları ile hesaplanmıştır. Test noktalarının iki yolla bulunan yükseklikleri arasındaki farklara ilişkin istatistikler Çizelge 1 de gösterilmektedir.

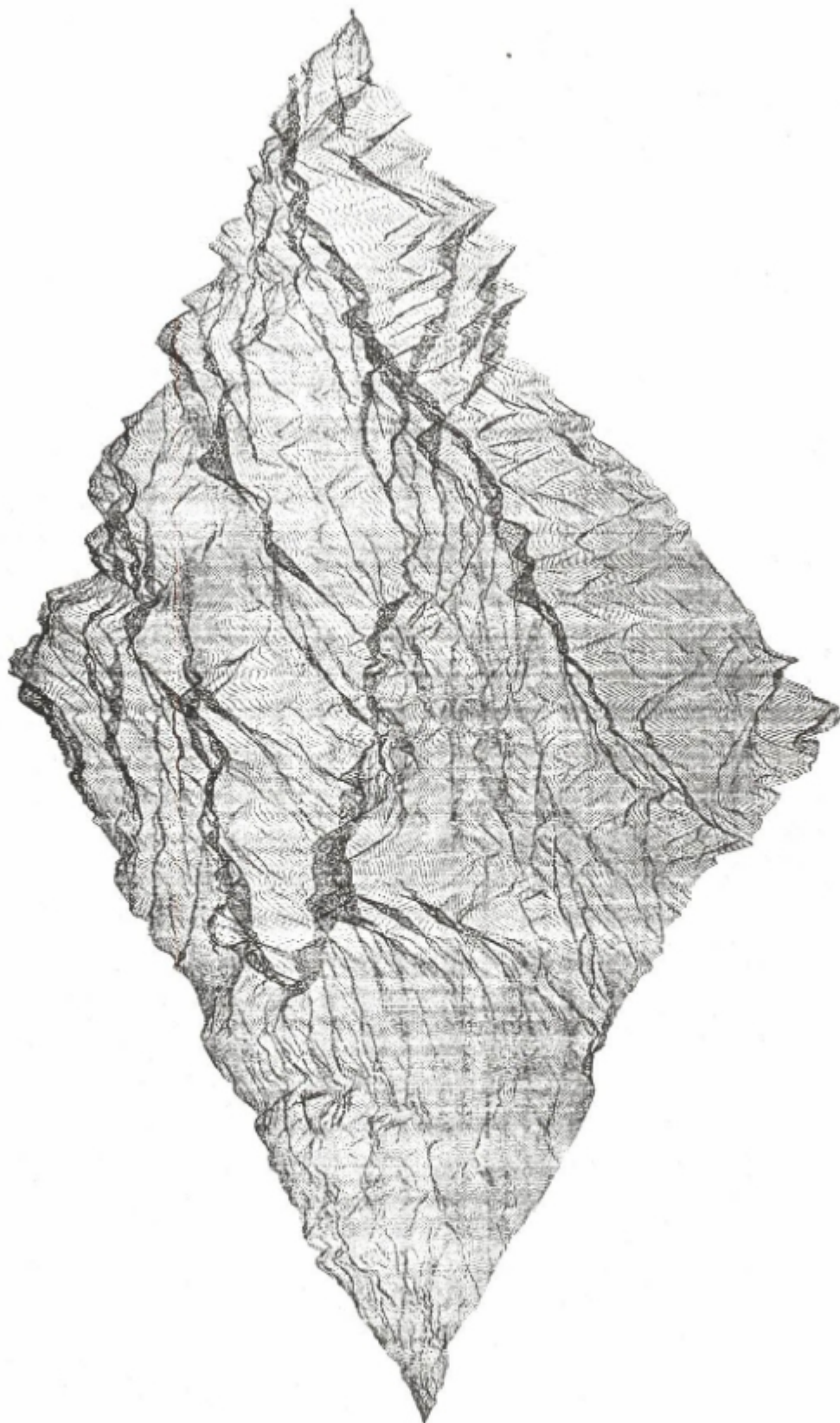
Çizelgeden görüldüğü gibi 1"x1" lik DTM'in doğruluğu 1.60 m olarak bulunmuş olup, bu yüksek bir doğruluk olarak değerlendirilebilir.

15"x20" DTM

Türkiye Geoidi-1991 (TG-91)'i belirlemek amacıyla $34^{\circ}30'15'' < \phi < 42^{\circ}30'00''$ ve $25^{\circ}30' < \lambda < 44^{\circ}59'40''$ ile sınırlı bölgedeki topografya 1/25 000 ölçekli paftalar üzerinden 15"x20" grid köşelerinde yükseklik değerleri insangücü ile okunmuştur. Büyük bir insan grubu (60-100) ile bir yıllık bir zaman aralığında sayısallaştırma ve kontrol işlevleri tamamlanan 15"x20" lik yükseklikler daha sonra Forsberg (1984)'de verilen TC yazılımının giriş kütüğünü oluşturacak biçimde düzenlenmiştir. Proje alanını kuzeyden sınırlayan paralel daire boyunca 20° aralıklı 3510 nokta yüksekliği; hazırlanan kütüğün ilk kaydını oluşturmaktadır. Kuzeyden güneye doğru her 15° aralıklı paralel daire üzerindeki yükseklikler bir kayıtta bulunacak biçimde düzenlenen kütükte toplam 1920 kayıt bulunmakta ve disk üzerinde yaklaşık 27 Mbyte yer kaplamaktadır. 15"x20" lik DTM'in doğruluğunu test etmek amacıyla 1"x1" lik DTM'i denetlemek için seçilen 88 noktanın yüksekliği bu kez 15"x20" lik DTM'den interpolate edilmiştir. Test noktalarında bulunan yükseklik farkları ile ilgili istatistik bilgiler Çizelge 1 de verilmektedir. Çizelgeden 15"x20" lik DTM'in yaklaşık ± 15 m doğrulukta olduğu anlaşılmaktadır.

5"x5" DTM

15"x20" lik DTM ile aynı bölgede oluşturulan 5"x5" bölmelerin ortalaması yükseklikleri, o bölge içine giren 15"x20" grid yüksekliklerinin aritmetik ortalamasıyla hesaplanmıştır. 5"x5" ortalaması yükseklikler bölgelenin kuzeyinden itibaren batı-doğu yönündeki 234 adet 5"x5" lik ortalaması yükseklik birinci kayıtta olmak üzere kuzey-güney



Şekil 2. 1"x1" lik DTM'in üç boyutlu görüntüsü.
Fig. 2. Three-dimensional view of a terrain model digitized by 1"x1" grid.

Çizelge 2. Test bölgesinde topografyanın istatistikleri (metre).

Table 2. The statistics of elevation in the test area.

| Bölge Boyutu | En Küçük Yük. | En Büyük Yük. | Ortalama Yük. | RMS |
|--------------|---------------|---------------|---------------|-----|
| 25x20 km | 1510 | 1996 | 1713 | ±89 |

yönünde numaralanan toplam 97 kayıttan oluşan bir kütük biçiminde düzenlenmiş bulunmaktadır.

SAYISAL UYGULAMA

Dikdörtgen bölmeye yöntemi ve bir önceki bölümde özellikleri belirtilen DTM'ler ile tc hesabının anlamlılığını ortaya çıkarmak için $33^{\circ}27' < \phi < 32^{\circ}33'$ ve $39^{\circ}05' < \lambda < 39^{\circ}11'$ ile sınırlı deneme bölgesinde sayısal uygulama yapılmıştır. Test bölgesi Sivas'ın Kangal ve Alacaahan ilçeleri arasında, orman bitki örtüsü olmayan, Sivas J28-c2, Sivas J28-c3, Divriği J39-d1 ve Divriği J39-d4 isimli dört 1/25 000 ölçekli paftanın ortasında 6x6' (11.1 km x 8.5 km) genişliğindedir. Söz konusu dört paftada topografyanın değişimini göstermek için 1"x1" lik DTM'den belirlenen istatistikler Çizelge 2 de verilmektedir.

Hesap noktasından uzaklaştıkça dikdörtgen bölgeleinin çekim etkisi azaldığından bölmelerin uzaklısına bağlı olarak uygun formül ve yükseklik bilgilerinin kullanılması, böylece beklenen doğruluğu sağlayan tc'nin daha kısa bilgisayar kullanım zamanında hesaplanması olanaklı kılmaktadır. Bu amaçla hesap noktası çevresindeki topografya iç, orta ve dış olmak üzere üç bölgeye ayrılmıştır. Söz konusu üç bölgeden özellikle iç bölge, hesaplama yönüyle büyük öneme sahip olup, bu bölgedeki bölmelerin çekim etkisi (2) ile verilen bağıntı belirlenmektedir. Orta ve dış bölgelerde bulunan bölmelerin çekim etkileri ise (2), (5) ve (6) ile verilen tam veya yaklaşık bağıntılardan biri kullanılarak hesaplanır. Bu üç bağıntıdan hangisinin kullanılacağına belirlemek için bölge ağırlık merkezinin hesap noktasından uzaklışı λ ve bölmeyin alt, üst yüzeyleri arasındaki diagonal uzaklık (λ')'den yararlanarak,

$$\ddot{O} = \lambda / \lambda' \quad (7)$$

ile bir ölçüt tanımlanmıştır (Forsberg 1984). Test bölgesindeki uygulamada \ddot{O} için 4 ve 9 sınır değerleri seçilmiş ve bu sınır değerlerine göre bölge çekim etkisinin hangi formülle belirlendiği Çizelge 3'dedir.

Çizelge 3. Ö ölçütı sınır değerleri

Table 3. The limiting values of \ddot{O} criterion

| $\ddot{O} \leq 16$ | $16 < \ddot{O} \leq 81$ | $81 \leq \ddot{O}$ |
|--------------------|-------------------------|--------------------|
| (2) | (5) | (6) |

Yükseklik bilgilerinin grid aralığına bağlı olarak iç, orta ve dış bölge dış sınırlarının (sırasıyla R1, R2 ve R3)

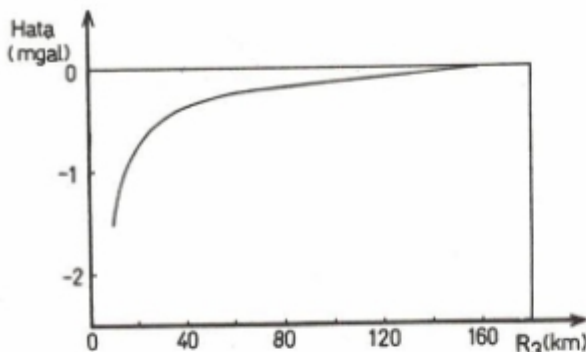
belirlenmesi uygulama açısından önemlidir. İç bölge sınırı R1, orta bölgede kullanılacak DTM grid aralığına bağlı olarak doğrudan belirlenmektedir. Ortalı bölgedeki grid kütüğün (DTM) hesap noktasını içeren en içteki 3x3 toplam dokuz bölmeli iç bölgeyi oluşturur. Ortalı bölge için 1"x1" yüksekliklerin kullanılması durumunda $R1 = 45$ m, 15"x20" lik DTM kullanıldığında ise $R1 = 675$ m dir. Ayrıca iç bölgede hesap noktasından uzaklaştıkça grid aralığı büyümek üzere eş aralıklı olmayan yeni bir grid oluşturulur. Yeni oluşturulan grid köşe noktalarının yükseklikleri, iç bölgeyi oluşturan 3x3 bölmeyin 4x4 köşe nokta yüksekliklerinden bikübik spline fonksiyonlar ile interpolate edilir. Ayrıca hesap noktasının interpolasyonla bulunan yüksekliği ile bilinen yüksekliği arasındaki fark ile orantılı olarak iç bölge grid köşe yüksekliklerine düzeltme getirilir ve modellendirilen topografyanın hesap noktasından geçmesi sağlanır. Böylece yakın çevredeki kitlelerden kaynaklanabilecek hataları en aza indirilmesi amaçlanmaktadır.

Mevcut yükseklik kütüklerinde orta ve dış bölgelerde kullanılabilen uygun değişik seçenekler belirlenebilir. Uygulamada benimsenen seçenekle bağlı olarak orta ve dış bölgelerin dış sınırları farklılık gösterdiğiinden belirlenmesi ayrıntılı inceleme ve hesaplanmalari gerektir. Aşağıda önce uygun R3 değerinin belirlenmesi ele alınacak ve daha sonra buna bağlı olarak uygun R2 değerinin ne olduğu ananacaktır.

Dış bölge sınır R3 değeri için Jeodezi ve Jeofizik'te uygulanan iki temel öneri bilinmektedir. Bunlardan ilki Hayford ve Bowie (1912)'de silindirik bölge ve çizelgeler aracılığı ile tc belirleme yöntemine ait olan 166.7 km'dir. Dolayısıyla tek bir noktasında tc hesabı için 330x330 km boyutlu bir bölgede harita üzerinden ortalama yükseklik okuması ve çizelgeler aracılığı ile hesap yapılması gerekmektedir. Bu da yorucu ve zaman alıcı bir çalışma anlamına gelir. İkinci öneri ise yine silindirik bölge ve çizelgeler ile tc hesaplamaya yönelik olarak Hammer (1939) tarafından önerilen 21.9 km dir. Hammer (1939, 1982)'de verilen silindirik bölge boyutları Hayford-Bowie (1912)'dekiyle göre daha küçüktür ve 21.9 km dışında kalan kitle etkilerinin ölçü doğruluğunun altında olduğu varsayılmaktadır. Hammer (1939; 1982)'de önerilen yöntemle bir noktasında hesaplama için 40 km x 40 km genişlikli bir bölgede çalışma yeterli olduğundan uygulayıcılar tarafından daha çok benimsenmiştir. Ancak bilgisayarın yer bilimlerinde yaygın kullanılmaya başlanması ve çözünürlüğü yüksek DTM'lerin bilgisayar olanakları ile kısa sürede temin edilmesi sonucu, günümüzde dış bölge sınırının 166.7 km seçilmesi eğilimi artmıştır (Pick 1967, Spensle 1989, Lafehr 1991). Ölçü ve hesap duyarlılığına uygun dış bölge sınırı R3'ü belirlemek için üç yöntem uygulanabilir.

Analitik yöntem

Hesap noktasından R3 uzaklığında kalan kitlelerin çekim etkisi bilinen tc hesap yöntemlerinden biri ile he-



Şekil 3. Kesme Hatası.

Fig. 3. Truncation error.

saplanır (Örn. Hammer 1939, 1982) silindirik bölme yöntemi). R₃ uzaklığının dışındaki topografyanın etkisi ise o bölgenin en küçük ve en büyük yükseklik değerlerinin fonksiyonu olarak analitik hesaplanır (Danes 1982). Bu yöntem ile 0.1 mgal doğrulukta yerey düzeltmesi belirlemek için R₃'ün 19 km alınmasının yeterli olduğu belirtilmektedir (Sprenke 1989).

Dolaylı yöntem

Hesap bölgesi içinde topografyayı temsil eden bir profil boyunca topoğrafya simülasyonla oluşturulur. R₃ 166.7 km alınıp deneme noktalarında tc hesaplanır. Daha sonra R₃ değeri küçültürek hesaplama tekrarları. Ölçü yöntemi ve amaca uygun R₃ değeri dış sınır olarak seçilir (Sprenke 1989). Bu yöntemle A.B.D.'de Cascade dağlarında yapılan bir uygulamada, R₃ için 166.7 km yerine daha küçük bir değer alınanın yarattığı hatalar (kesme hatası) Şekil 3'deki grafikte gösterilmektedir.

Dolaylı yöntemle 0.1 mgal yerey düzeltmesi belirlemeye uygun dış sınır 130 km olarak verilmektedir (Sprenke 1989).

Doğrudan (Kesme) Yöntem

Bu yöntemde, dolaylı yöntemden farklı olarak hesap bölgesine ait gerçek DTM kullanılır. Günümüzde bilgisayar olanaklarındaki sıçramalı gelişmeler DTM hazırlanmasını kolaylaştırıp hızlandırmış ve doğrudan yöntemin uygulanmadan kullanılmasını sağlamıştır.

Dış bölge sınırı için 21.9 km yerine 166.7 km kullanıldığında sağlanacak doğruluğu belirlemek amacıyla doğrudan yöntemle deneme bölgesinde sayısal uygulama yapılmıştır. Bu amaçla Çizelge 4'te verilen uygun DTM ve R₁, R₂, R₃ değerleri ile 1"x1" ve 15"x20" lik DTM'lerin doğruluğunu araştırmak üzere deneme bölgesinde seçilen 1 km x 1 km aralıklı toplam 88 noktada yerey düzeltmesi hesaplanmıştır. Çizelgede verilen 3 nolu seçenek doğrudan yöntemindeki hatasız çözüm olarak düşünüldüp 1 ve 2 nolu

Çizelge 4. 1 km x 1 km grid köşelerinde yerey düzeltmesi hesabına uygun dış sınır ve DTM.
Table 4. The appropriate external bound and DTM for the estimation of the terrain correction at the nodes of 1 km x 1 km grid.

| No. | R1 | R2 | R3 | DTM | |
|-----|-------|------|-------|------------|-----------|
| | (km) | (km) | (km) | Orta Bölge | Dış Bölge |
| 1 | 0.045 | 4.0 | 21.9 | 1"x1" | 15"x15" |
| 2 | 0.675 | - | 21.9 | - | 15"x20" |
| 3 | 0.675 | 21.9 | 166.7 | 15"x20" | 5'x5' |

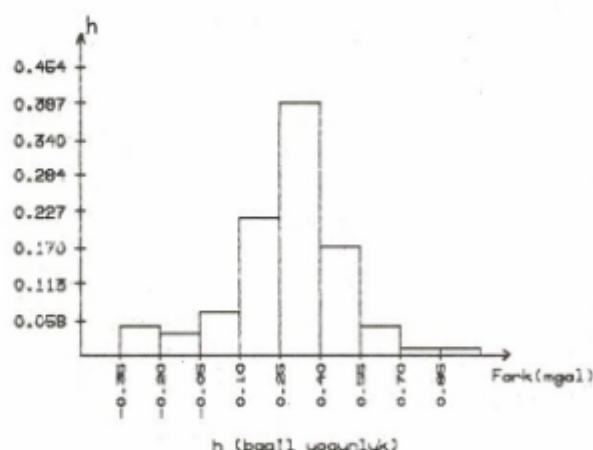
Çizelge 5. Dış bölge etkisi (Kesme hatası) (mgal).

Table 5. The effect of external region (truncation error).

| Çözüm | En Küçük | En Büyük | Ortalama | RMS |
|-------|----------|----------|----------|---------|
| 3-1 | -0.3328 | 0.9459 | 0.2785 | ±0.3529 |
| 3-2 | 0.1941 | 0.7219 | 0.3493 | ±0.3622 |

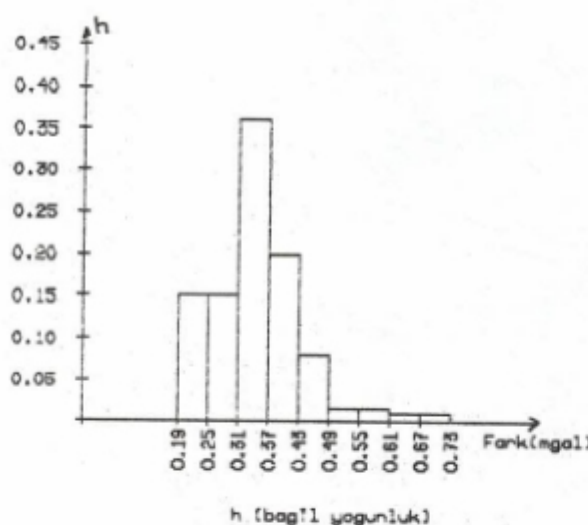
seçeneklerin kesme hataları araştırılmıştır. Bu amaçla 88 deneme noktasında 3 nolu seçenekle belirlenen tc'nin diğer seçeneklerle bulunan tc'lerden farkları belirlenerek dış bölge etkisini tanımlayan istatistikler Çizelge 5 te gösterilmiştir.

Çizelgeden 21.9 km - 166.7 km arasında kalan bölgeden kaynaklanan kesme hatalının ortalama 0.3 mgal olduğu anlaşılmaktadır. Ayhan ve Kahveci (1991)'de Ankara ve Afyon çevresindeki daha engebeli bölgede yapılan incelemede kesme hatalının 0.19 mgal ile 0.49 mgal olduğu gösterilmiştir. Şekil 4'te verilen grafikten ise 22 km uzun-



Şekil 4. Kesme Hatası (3-1).

Fig. 4. Truncation error (3-1).



Şekil 5. Kesme Hatası (3-2).

Fig. 5. Truncation error (3-2).

luk için kesme hatası 1 mgal bulunmaktadır. Deneme bölgesinde belirlenen kesme hatasının grafikten bulunana göre % 70 küçük olması, bölgelerin topografik yapısından kaynaklanabilecegi gibi dolaylı yöntemdeki yaklaşımardan kaynaklandığı da düşünülmektedir.

Göreli gravite ölçülerinde kullanılan modern gravimetreler ile ± 0.01 mgal duyarlılıkla ölçü yapılabileceği göz önünde tutulursa, dış bölge sınırının seçiminden kaynaklanan kesme hatasının ölçü duyarlığının çok üzerinde olduğu ve R3'ün 166.7 km alınması gereği sonucuna varılmaktadır.

Çizelge 5'te istatistik bilgileri verilen farklara ilişkin histogramlar Şekil 4 ve 5'de verilmektedir. Bu histogramların kabaca incelenmesinden farkların genel olarak normal dağılımda olduğu, ancak kesme hatasının $11.1 \text{ km} \times 8.5 \text{ km}$ boyutlu bir bölgede bile sabit olmayıp, noktaların ko-

Çizelge 7. Orta bölge etkisi.

Table 7. The effect of inner zone.

Çizelge 6. 88 Noktada kesme hatası (İç ve Orta Bölgede).

Table 6. Truncation error calculated using 88 stations within innermost and inner zones.

| R2,0 (km) | R2,1 (km) | Ortalama (mgal) | RMS (mgal) |
|-----------|-----------|--------------------|---------------|
| 0.0 | 21.9 | 0.2288 | ± 0.3812 |
| 0.8 | 21.9 | -0.0110 | 0.0157 |
| 1.5 | 21.9 | -0.0039 | 0.0058 |
| 3.0 | 21.9 | -0.0007 | 0.0013 |
| 4.0 | 21.9 | -0.0003 | 0.0006 |
| 5.0 | 21.9 | -0.0001 | 0.0002 |
| 5.5 | 21.9 | 0.0000 | 0.0000 |

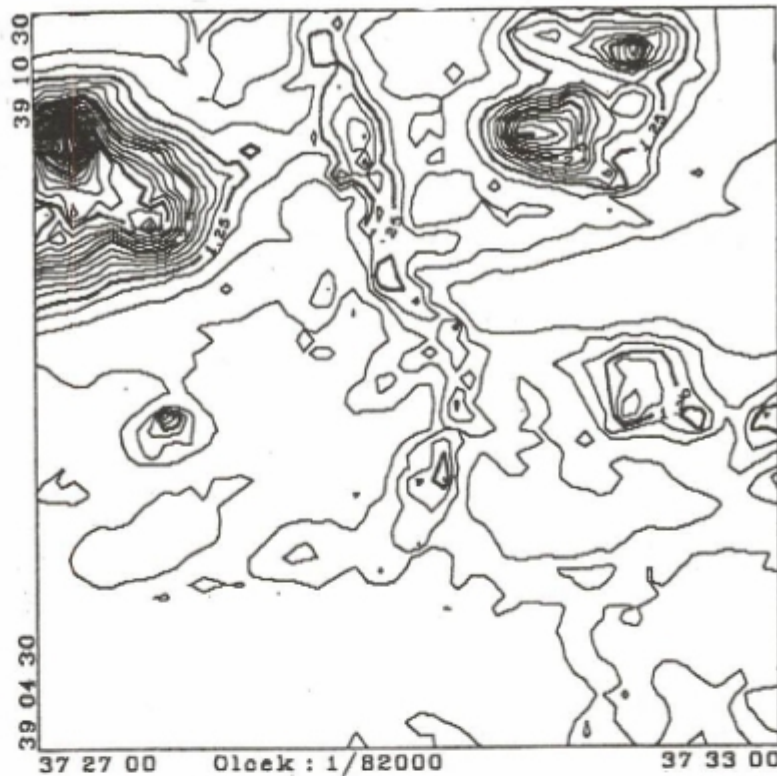
numuna bağlı olarak değiştiği de görülmektedir. Kesme hatasının yatay konuma bağlı değişim gösterdiğinin belirlenmesi dış bölge sınırının 166.7 alınmasını gerektiren diğer önemli bir neden olarak değerlendirilmektedir.

$5' \times 5'$ ortalama yüksekliklerin kullanıldığı dış bölge, iç ve dış sınırları sırasıyla 21.9 km ve 166.7 km seçilidinde, mevcut $15'' \times 20$ ve $1'' \times 1''$ lik DTM'ler göz önünde bulundurularak hesap noktasından 21.9 km uzaklığa kadar olan topografyanın en iç, iç ve orta olmak üzere üç bölgeye ayrılması uygun olmaktadır. Buradaki en iç bölge daha önce belirtilen iç bölgeye karşılık gelmektedir. Ayrıca daha önce belirtilen orta bölge yerine iç ve orta olmak üzere iki yeni bölge oluşturulmaktadır. Bu durumda en iç bölge genişliği iç bölgede kullanılan DTM grid aralığına bağlı olarak yine aynı değerleri alacak iç ve orta bölgelerin sınırları sırasıyla R2,0 ve R2,1 ile gösterecektir. İç bölgede $1'' \times 1''$

Çizelge 7. Orta bölge etkisi.

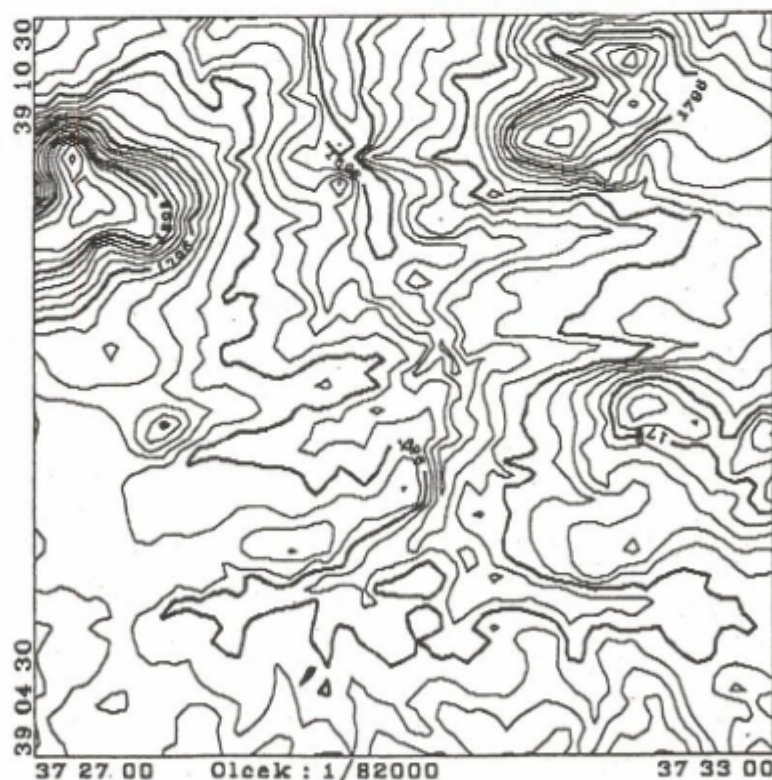
Table 7. The effect of inner zone.

| I nci Çözüm | | II nci Çözüm | | Farklar | |
|-------------|----------|--------------|----------|--------------------|---------------|
| R2,0(km) | R2,1(km) | R2,0(km) | R2,1(km) | Ortalama (mgal) | RMS (mgal) |
| 3.0 | 21.9 | 3.0 | 0.0 | 0.4461 | ± 0.6858 |
| 4.0 | 21.9 | 4.0 | 0.0 | 0.3495 | 0.5155 |
| 5.5 | 21.9 | 4.0 | 0.0 | 0.3491 | 0.5153 |
| 5.5 | 21.9 | 5.0 | 0.0 | 0.2902 | 0.4131 |
| 5.5 | 21.9 | 5.5 | 0.0 | 0.2739 | 0.3805 |



Şekil 6. Yerey düzeltmesi haritası (mgal).

Fig. 6. The map of terrain correction (mgal).



Şekil 7. Yükseklik (metre).

Fig. 7. Elevations (meter).

ve orta bölgede $15'' \times 20''$ lik DTM'in kullanılacağı öngörlerek uygun R2,0 değeri doğrudan yöntem ile belirlenecektir. Bu amaçla R2,0 ve R2,1 için sırasıyla 5.5 km ve 21.9 km değerleri ile hesaplanan tc değerleri hatasız varsayılp R2,0 için değişik değerler seçilerek kesme hatalarının bulunması düşünülmüştür. Deneme bölgesindeki 1 km x 1 km aralıklı 88 test noktasından yararlanarak bulunan kesme hataları, Çizelge 6'da sergilenmektedir. Çizelgeden görüldüğü gibi R2,0, 5.5 km alınarak, iç bölgede $1'' \times 1''$ lik DTM'in kullanılması, belirlenen tc değerinde ortalama +0.23 mgal değişime neden olmaktadır. Mevcut gravite ölçerlerin ölçü duyarlığı göz önünde bulundurulduğunda uygun R2,0 değerinin 3.0 km seçilmesinin yeterli olduğu düşünülmektedir.

Orta bölgenin tc hesabındaki çizelge katkısını bellemek amacıyla test bölgesinde yine aynı 88 noktada yapılan sayısal uygulama sonuçları ise Çizelge 7'de verilmektedir. Çizelgeden orta bölge etkisinin iç bölge sınırlına bağlı olarak değiştiği ve ortalama etkisinin 0.45 mgal ve daha büyük değerlere ulaşıldığı anlaşılmaktadır.

Bilgisayar olanakları ve insangücü ile sayısallaştırarak hazırlanan DTM'lerin giriş verisi olarak kullanıldığı, ikinci bölümde verilen dikdörtgen bölmeye tam ve yaklaşık formüllerinin, tc hesabındaki etkinliğini görmek için bir başka yöntemle bulunan değerlerle karşılaştırılması düşünülmüştür. Bu amaçla test bölgesi içinde değişik özelliklerdeki 19 nokta seçilerek, bu noktalarda tc değerleri Hammer (1939, 1982) çizelge ve silindirik bölmeleri ve hesap noktasından 6.7 km uzaklığa kadar insan gücü ile sayısallaştırılan yükseklikler ile belirlenmiştir. Aynı noktalarda tc değerleri; iç bölgede $1'' \times 1''$ orta bölgede $15'' \times 20''$ lik DTM (diş bölge etkisi gözardı edilmiş) ve farklı R2,0, R2,1 değerleri ile dikdörtgen bölmeye yöntemiyle de hesaplanmıştır. İki farklı yöntem ve değişik seçeneklerle belirlenen tc değerleri arasındaki farkların ortalama ve RMS değerleri Çizelge 8'de verilmiştir. Çizelgeden R2,0 ve R2,1 için sırasıyla 5.5 km ve 0.0 km alınması durumunda belirlenen tc değerlerinin 6.7 km'ye kadar Hammer (1939, 1982) çizelge ve silindirik bölmeleri ile hesaplananlar ile uyumlu bulunduğu görülmektedir. Bu da bu çalışmada uygulanan yöntemin anlamlılığını kanıtlamaktadır.

Deneme bölgesinin topografik yapısı Şekil 7 de gösterilmektedir. Bölge içinde tc dağılımının topografik yapı ile ilişkisini gösterebilmek amacıyla iç bölgede $1'' \times 1''$, orta bölgede $15'' \times 20''$ (diş bölge etkisi gözardı edilmiş) ve R2,0, R2,1 sırasıyla 4.0 km ve 21.9 km alınarak $6'' \times 6''$ grid köşelerinde tc hesaplanmış ve bölgenin tc haritası hazırlanmıştır (Şekil 6). Şekil 6 ve 7 kabaca karşılaştırıldığında aralarında genel yapıları ile bir uyum olduğu açıkça görülmektedir.

Çizelge 8. Dikdörtgen Bölme ve Hammer (1939, 1982) Silindirik Bölme Yöntemlerinin Karşılaştırılması.

Table 8. A comparison of rectangular block method and cylindrical block method of Hammer (1939, 1982).

| Çözüm No | Dikdörtgen bölmeye | | Fark | |
|-------------|--------------------|----------|--------------------|---------------|
| | R2,0(km) | R2,1(km) | Ortalama (mgal) | RMS (mgal) |
| 1 | 0.8 | 21.9 | 0.2918 | ± 0.3169 |
| 2 | 1.5 | 21.9 | 0.2847 | 0.3091 |
| 3 | 21.9 | 166.7 | 0.5093 | 0.5941 |
| 4 | 0.0 | 21.9 | 0.0520 | 0.2840 |
| 5 | 3.0 | 21.9 | 0.2815 | 0.3015 |
| 6 | 3.0 | 0.0 | -0.1647 | 0.4728 |
| 7 | 4.0 | 21.9 | 0.2811 | 0.3047 |
| 8 | 4.0 | 0.0 | -0.0683 | 0.3113 |
| 9 | 5.0 | 21.9 | 0.2809 | 0.3045 |
| 10 | 5.0 | 0.0 | -0.0094 | 0.2215 |
| 11 | 5.5 | 21.9 | 0.2808 | 0.3044 |
| 12 | 5.5 | 0.0 | 0.0069 | 0.1911 |

Çizelge 9. Eniç, iç, orta ve dış bölgeler.

Table 9. Central, innermost, inner and external zones.

| Bölge | Diş sınır km | DTM |
|-------|-----------------|-----------------------|
| Eniç | 0.045 | Değişen grid aralıktı |
| İç | 3.0 | $1'' \times 1''$ |
| Orta | 21.9 | $15'' \times 20''$ |
| Dış | 166.7 | $5'' \times 5'$ |

SONUÇLAR

tc değerlerini tam ve yaklaşık formüller ile dikdörtgen bölmeye çekim etkisini belirlemeye dayalı olarak hesaplamak amacıyla, Forsberg (1983)'de verilen TC yazılımı ile Kangal ve Alacahan arasında seçilen deneme bölgesinde sayısal uygulama yapılmıştır. TC yazılımindan kullanmak üzere, Türkiye için daha önce hazırlanan $15'' \times 20''$ ve $5'' \times 5'$ lik DTM'lere ek olarak deneme bölgesinin $1'' \times 1''$ lik DTM'i bilgisayar olanakları ile oluşturulmuştur. $1'' \times 1''$ ve $15'' \times 20''$ lik DTM'lerin doğruluklarını belirlemek amacıyla yapılan incelemede $1'' \times 1''$ lik DTM'in 1.5 - 2 m, $15'' \times 20''$ lik

DTM'in ise 15-20 m doğrulukta olduğu görülmüştür.

TC yazılımı ile uygulanan dikdörtgen bölme yönteminin etkinliğini belirlemek üzere deneme bölgesi içinde farklı topografik yapıdaki bölgelerde 19 deneme noktası seçilmiştir. Test noktalarında TC yazılımı ile bulunan tc, Hammer (1939, 1982) silindirik bölme yöntemi ve insangücü ile hesaplanan tc değerleri ile karşılaştırılmıştır. Her iki yöntemle bulunan tc'ler arasındaki farkların ortalama ve RMS değerleri sırasıyla 0.0069 mgal ve ± 0.1914 mgal bulunmuştur. Bu da farklı DTM'ler ile uygulanan dikdörtgen bölme yönteminin güvenilirliğinin bir göstergesi olarak değerlendirilmektedir.

İç ve dış sınırları 31.9 km ile 166.7 km olan dış bölge ile iç ve dış sınırları 3.0 km, 21.9 km olan orta bölgenin tc hesabına olan katkısı, deneme bölgesinde, ortalama değer olarak sırasıyla 0.3 mgal ve 0.45 mgal bulunmuştur. Diğer bir deyişle orta ve dış bölgelerin tc değerine olan toplam katkısı ortalama 0.75 mgal dir. Uygulamada kullanılan gravite ölçerlerin duyarlığı düşünülürse (0.01 mgal), dış bölge'den kaynaklanan etkinin oldukça büyük ve göz önünde bulundurulması gerekişi anlaşılmaktadır. Ayrıca, deneme bölgesindeki uygulamada, dış bölge etkisinin her noktada sabit olmadığı ve nokta konumuna bağlı olarak değiştiği de belirlenmiştir. Bu incelemeler sonunda tc hesaplamlarının, noktanın 166.7 km uzaklığa kadar topografik kitlelerle yapılması gerekliliği olduğu sonucuna varılmıştır. Test bölgesindeki hesaplarda; hesap noktası çevresi eniç, iç, orta ve dış olmak üzere dört bölgeye ayrılmıştır. Her bölgede kulanlan DTM ve doğrudan değerleri Çizelge 9 da verilmektedir.

tc değeri uygulanan yönteme de bağlı olarak topografyanın sayısallaştırılmasını ve yoğun hesaplamları gerektirmektedir. Uygulamada değişik kuruluşların değişik zamanlarda aynı bölgede gravite ölçüsü yaptığı ve ölçü noktalarında farklı yöntemlerle tc hesipliklerine rastlanmaktadır. Türkiye'de; standart veri ve yöntemle yerey düzeltmeleri belirlenip yerey düzeltme haritası hazırlanmadığından bu ikilemler devam etmektedir. Bu nedenle uygulama ve bilimsel araştırmalarda kullanıma uygun nitelikte yerey düzeltmelerinin standart verilerden ve tek bir yöntemle belirlenmesi ülkemiz açısından önem kazanmaktadır. Bu amaçla aşağıda beş aşamadan oluşan bir çözüm önerisi getirilmektedir.

- a. Bilgisayar olanakları ile Türkiye topografyası sayısallaştırarak 1"x1" lik DTM oluşturulması.
 - b. Ulusal boyutta belirlenecek grid ağı (Örn. 10"x10") köşe noktalarında yerey düzeltmesi hesabı.
 - c. Grid köşe noktalarında yerey düzeltmelerinin bir veri tabanında düzenlenmesi.
 - d. Türkiye yerey düzeltme haritasının hazırlanması.
 - e. Koordinatları verilen ölçü noktalarında; veri tabanından seçilen grid veriden yerey düzeltmesi interpolasyonu.
- Yukarıda belirtilen beş aşamadan en önemli ve

büyük ekonomik destek gerektiren Türkiye topografyası ile ilgili DTM'in hazırlanmasıdır. Sözkonusu DTM; oluşturacak bir proje kapsamında ilgili kuruluşların finansal desteği ile hazırlanabilecektir.

KAYNAKLAR

- Ayhan, E. 1981, Topografik-isostatik çekül saptaması ve isostatik anomali, Harita Dergisi 89, 55-84.
- Ayhan, E. ve Kahveci, M. 1991, Gravimetrik yerey düzeltmesinin sayısal arazi modelinden yararlanarak hesabı, Harita Dergisi 107, 1-24.
- Ballina Lopez, H.R. 1990, FORTRAN program for automatic terrain correction of gravity measurements, Computers and Geosciences 16, 237-244.
- Banerjee, B. and Das Gupta, S.P. 1977, Gravitational attraction of a rectangular parallelepiped, Geophysics 42, 1053-1055.
- Bhaskara Dao, D. and Ramesh Babu, N. 1991, A FORTRAN-77 computer program for three-dimensional analysis of gravity anomalies with variable density contrast, Computer and Geosciences 17, 655-667.
- Blais, J.A.R. and Ferland, R. 1983, Optimization in Gravimetric terrain corrections, Can. J. Earth Sci. 21, 505-515.
- Cogbill, A.H. 1990, Gravity terrain corrections calculated using digital elevation models, Geophysics 55, 102-106.
- Danes, Z.I. 1982, An analytic method for the determination of distant terrain corrections, Geophysics 47, 1453-1455.
- Forsberg, R. 1984, A study of Terrain Reductions, Density Anomalies and Geophysical Inversion Methods in Gravity Field Modelling, OSU, Dept. of Geod. Sci. and Surv., Rept. No. 335.
- Garcia and Abdeslen, J. 1992, Gravitational attraction of a rectangular prism with depth-dependent density, Geophysics 57, 470-473.
- Hammer, S. 1939, Terrain corrections for gravimetric stations, Geophysics 4, 184-194.
- Hammer, S. 1982, Critique of terrain corrections for gravity stations, Geophysics 47, 839-840.
- Harrison, J.C. and Dickinson, M. 1989, Fourier transform methods in local gravity modelling, Bull. Geod. 63, 149-166.
- Hayford, J.F. and Bowie, W. 1912, The effect of topography and isostatic compensation upon the intensity of gravity, Coast and Geod. Surv., Special Pub. No. 10.
- Heiskanen, W.H. and Moritz, H. 1967, Physical Geodesy, Freeman.
- Lafehr, T.R. 1991, Standardization in gravity reduction, Geophysics 56, 1170-1178.
- Nagy, D. 1966, The gravitational attraction of a right rectangular prism, Geophysics 31, 362-371.
- Nagy, D. 1988, A Short program for three-dimensional gravity modelling, Acta Geog. Geoph. Mont. Hung. 23, 449-459.
- Pick, M. 1987, On the calculation of the gravity terrain corrections in Czechoslovakia. Studia Geoph. et Geod. 31, 131-144.

- Pick, M. 1988, Gravity topographic correction computed from a square grid of height points. *Studia Geophy. et Geod.* 32, 245-248.
- Sarbanoglu, H. 1991, Coğrafi bilgi sistemleri için veri toplama yöntemleri (2. Bölüm), *Harita Dergisi* 107, 51-81.
- Sideris, M.G. 1984, Computation of Gravimetric Terrain Corrections using Fast Fourier Transform Techniques. University of Calgary, Calgary, Alberta.
- Sprenke, K.F. 1989, Efficient terrain corrections: A geostatistical analysis, *Geophysics* 54, 1622-1628.
- Stacey, R.A., Stephens, J.E. 1970, Procedures for calculating terrain corrections for gravity measurements. *Dominion Observatory*, Ottawa, Vol. 39, No. 10.
- Wichiencharoen, C. 1982, The Indirect Effects on the Computations of Geoid Ondulations. OSU. Dept. of Geod. Sci. and Surv., Rept. No. 336.

İKİ BOYUTLU PRİZMATİK ŞERİT KÜTLENİN GRAVİTE ETKİSİNİN FOURIER DÖNÜŞÜMÜ VE KENTALAN ANTİKLİNALİNE UYGULANMASI

Fourier Transform of the Gravity Effect of the 2-D Prismatic Ribbon Mass and its Application to Kentalan Anticline

Hakkı ŞENEL*

ÖZET

İki boyutlu prizmatik şerit kütlenin kuramsal gravite etkisinin Fourier dönüşümü alınarak, gerek dalga sayısı ortamındaki kriterden, gerekse uzaklık ortamındaki kritik nokta bağıntısı yardımıyla prizmatik şerit kütlenin derinlik parametreleri hesaplanmıştır. Bu teorik çalışmanın sonuçları, hem yapay model üzerine hem de buradaki başarısına bağlı olarak Kentalan antiklinaline uygulanarak çeşitli çizelgelerle gösterilmiştir.

İki boyutlu prizmatik şerit kütlenin gravite bağıntısının Fourier dönüşümü alınabilir. Sıfır dalga sayısındaki analitik bağıntı ile g_{\max} değerine ait analitik bağıntı yardımıyla model kütlenin üst ve alt derinlikleri ile profil boyuna bağlı hata değişimleri çizelgeler ile verilmiştir.

Saha uygulaması olarak Güneydoğu Anadolu bölgesindeki Kentalan antiklinaline ait anomali değerlendirilmiştir. Anomalinin Aynık Fourier Dönüşümü alınarak spekturumu elde edilmiştir. Anomalinin max. değeri ile dalga sayısı ortamındaki sıfır dalga sayısı değerinden yararlanarak, antiklinale ait bozucu kütte derinlikleri prizmatik şerit kütte yaklaşımıyla elde edilmiştir. Bu değerler Batı Kentalan-1 sondaj kuyusunun litolojik kesiti ile kıyaslanmıştır.

ABSTRACT

A method has been suggested to determine the depth parameters of a prismatic ribbon mass by using a sample value of Fourier amplitude at zero frequency and maximum value of the anomaly.

The method is both applied to the interpretation of synthetic gravity anomalies of model mass and measured gravity anomaly of Kentalan anticline. Error ratios of depth parameters (top and bottom) for ribbon models with various widths are estimated using gravity profiles with various lengths.

Bouguer anomaly map is obtained from the end of gravimetric observation in the South-East of Anatolia at Kentalan anticline (Siirt). The Discrete Fourier Spectra of Kentalan anticline anomaly are calculated. Equations systems are solved by the help of g_{\max} value of gravity anomaly and zero wavelength value of discrete Fourier spectrum. Top and bottom depth parameters of prismatic ribbon mass are obtained by solving these two equation system. The calculated depth parameters and lithologic section derived from boreholes are close to each other indicating the success of the proposed method.

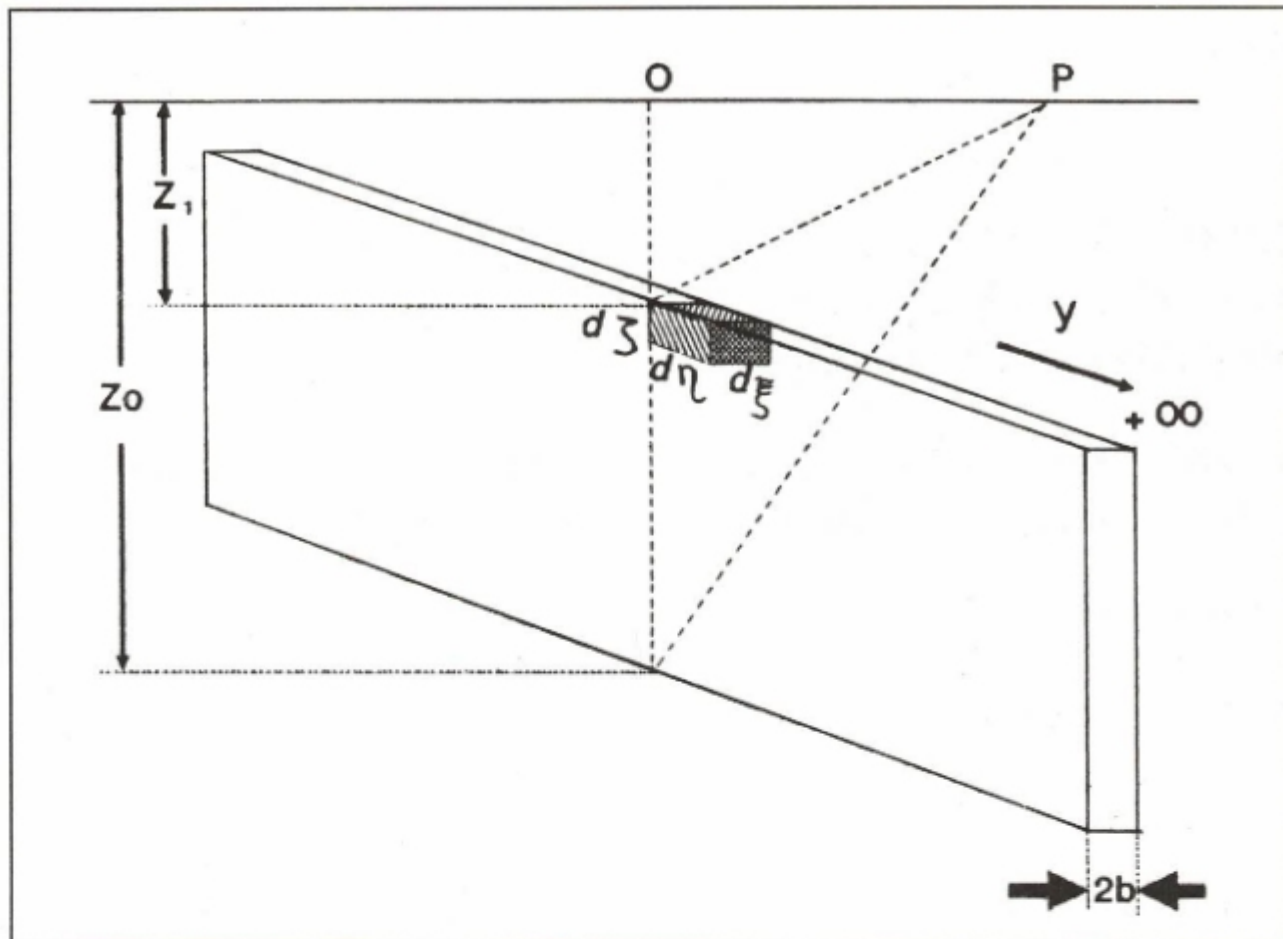
GİRİŞ

Fourier dönüşümü jeofizik-gravite araştırmalarında bugüne kadar değişik makalelerde, farklı araştırmacılar tarafından, bir çok yapay model üzerinde uygulama alanı bulmuştur. Bu çalışmada prizmatik şerit kütle modeliyle

horst, graben ve dayk tipi jeolojik problemlere kolay ve yeni bir çözüm önerilmiştir.

Rao ve Avasthi (1973), Bhimasankaram ve diğ. (1977), Sengupta ve Das (1977), Bhattacharyya ve Lei-Kuang (1977) bu konuda değerli çalışmalarla bulunmuştur.

* Kocaeli Üniversitesi Mühendislik Fakültesi, Jeofizik Mühendisliği Bölümü, 41300, İzmit.



Şekil 1. İki boyutlu prizmatik şerit kütlenin parametreleri.

Fig. 1. Parameters of two dimensional prismatic ribbon mass

İKİ BOYUTLU PRİZMATİK ŞERİT KÜTLENİN GRAVİTE ETKİSİ VE FOURIER DÖNÜŞÜMÜ

Üç boyutlu dm kütlesinin kendisinden r kadar uzaklıkta bulunan P noktasındaki (Şekil 1) gravite potansiyeli

$$du = k_0 \Delta \sigma \frac{d\xi d\eta}{r} \quad (1)$$

şeklinde verilebilir. Burada k_0 evrensel gravite sabiti, σ cisim ile onu örten çevre kütle arasındaki yoğunluk farkıdır. dm elemanter kütlesinin y yönünde sonsuza uzanması durumundaki potansiyel ifadesi Telford ve diğ. (1976) (sayfa 9-11, 66-67) tarafından aşağıdaki şekilde verilmiştir.

$$du = 2k_0 \Delta \sigma \ln \frac{1}{r} d\xi d\eta \quad (2)$$

Bu ifade logaritmik potansiyel olarak bilinir. Burada

$$r = \sqrt{x^2 + Z^2}$$

olmak üzere, y yönünde sonsuz uzunlukta, $d\xi$ ve $d\eta$ kütlesinin çekim potansiyeli ifadesinden, çekim kuvveti bağıntı-

sına geçilmiştir. Burada $d\xi$ kütlenin elemanter genişliğini, x ise şeritin orta noktasının yüzeyi kestiği nokta ile kütlenin sonsuza uzanan doğrultusuna dik doğrultudaki gözlem noktası arasındaki uzaklık olarak tanımlanmıştır (ξ ve x aynı yönde). O halde x yönündeki çekim kuvveti

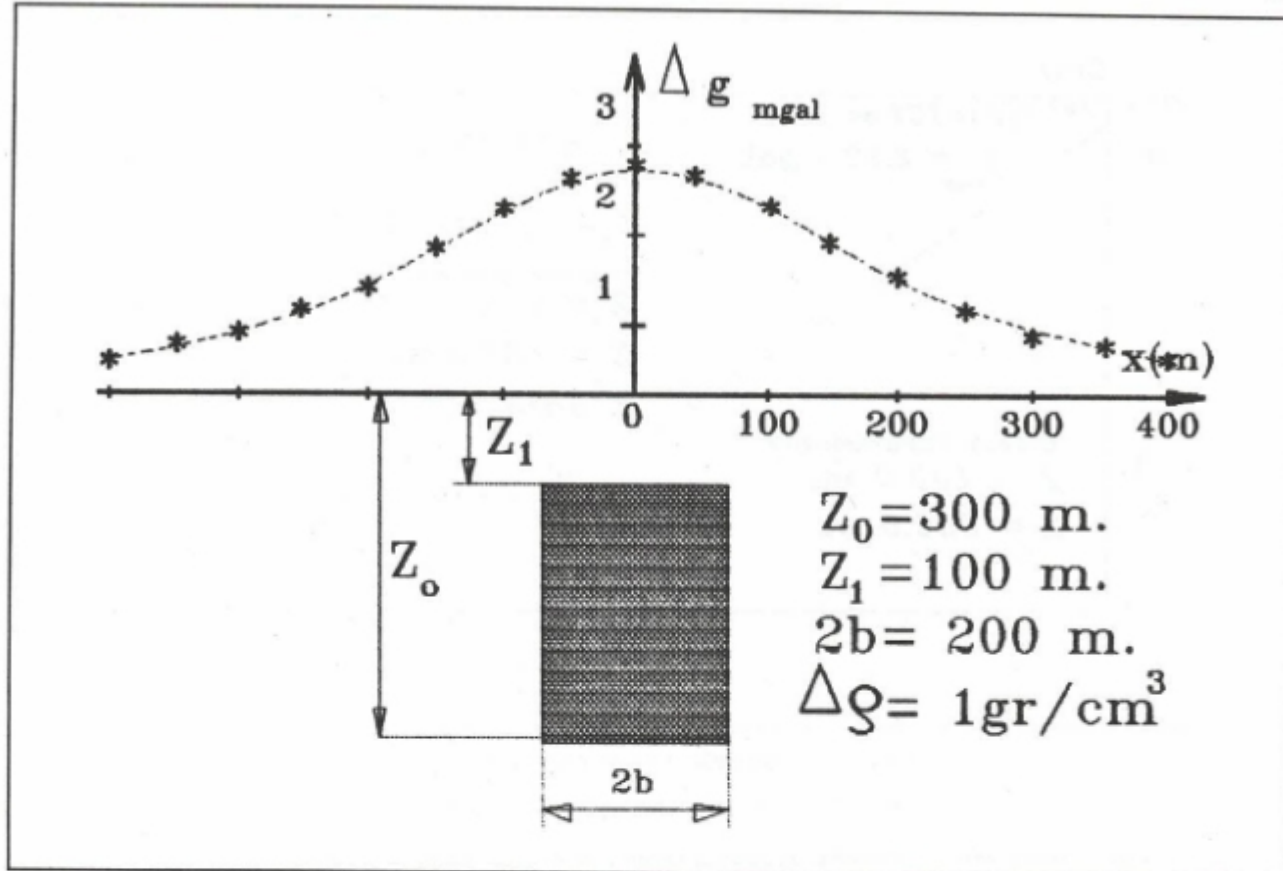
$$g(x) = 2k_0 b \Delta \sigma \ln \frac{x^2 + Z_0^2}{x^2 + Z_1^2} \quad (3)$$

olarak yazılabilir (Grant ve West 1965, Telford ve diğ. 1976).

$g(x)$ fonksyonunun Fourier dönüşümü, Fourier dönüşümü ile ilgili kitaplardaki dönüşüm tablolarından kolaylıkla bulunabilir.

$$g(w) = 4\pi k_0 b \Delta \sigma \frac{e^{-|w|Z_1} - e^{-|w|Z_0}}{|w|} \quad (4)$$

Gravite değerleri uzunluk boyutunda değişim gösterdiğinde frekans karşılığı olarak dalga boyu kullanılabilir.



Şekil 2. Model kütle ve gravite anomaliyi.

Fig. 2. Model mass and its calculated gravity effect.

$$w = 2\pi k = \frac{2\pi}{\lambda}$$

Burada w dalgı sayısı, λ profil uzunluğuudur.

$k \rightarrow 0$ iken $g(k)$ 'nın limiti için

$$g(k) = 4\pi k_0 b \Delta \sigma \lim_{k \rightarrow 0} \frac{e^{-2\pi |k| Z_1} - e^{-2\pi |k| Z_0}}{2\pi |k|} \quad (5)$$

yazılabilir. Bu bağıntıya I'Hospital kuralını uygulayarak ve $k=0$ için değerini yazarak

$$g(0) = 4\pi k_0 b \Delta \sigma (Z_0 - Z_1) \quad (6)$$

elde edilebilir. (3) nolu bağıntıdan g_{\max} için

$$g(x_0) = 2k_0 b \Delta \sigma \ln \frac{Z_0^2}{Z_1^2} \quad (7)$$

ve

$$g(x_0) = 4k_0 b \Delta \sigma \ln \frac{Z_0}{Z_1} \quad (8)$$

buradan da

$$\frac{g(x_0)}{4k_0 b \Delta \sigma} = \frac{Z_0^2}{Z_1^2} \quad (9)$$

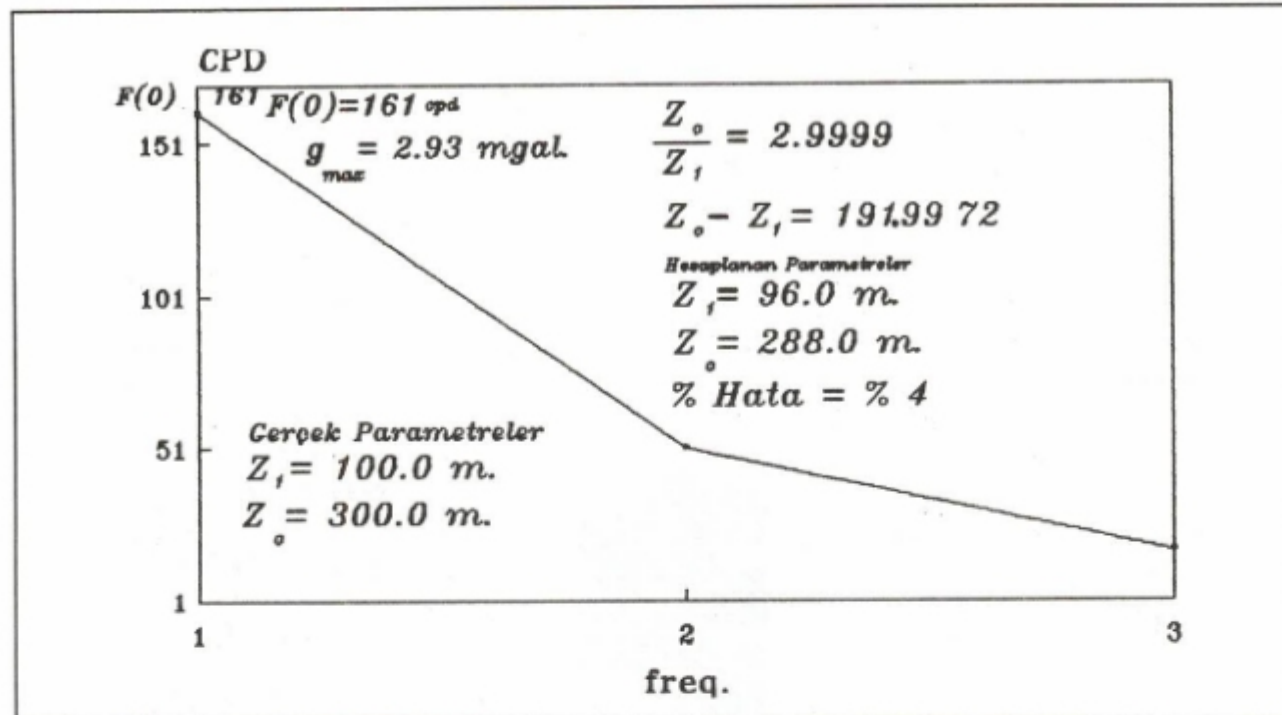
bağıntısı elde edilir (6) ve (9) nolu denklemler ile iki boyutlu prizmatik şerit kütlenin taban ve tavan derinlikleri saptanabilir.

MODEL ÇALIŞMASI VE SONUÇLARI

Model kütlenin (Şekil 2) gravite etkisi hesaplanarak, anomalinin karakterini ortaya koyacak kadar uzunlukta, değişik türde pencereler ile anomaliyi elde edilmiştir. Bu anomalilerin Aynak Fourier Dönüşümü alınarak, yapıının dalga sayısı ortamındaki genlik spektrumu elde edilmiştir (Şekil 3).

Bu model çalışmasına göre elde edilen sonuçlarda pencereleme etkisi Çizelge 1 de görülmektedir. Profil uzunlukları değişimlerine göre değişik şerit genişlikli modellerdeki hatalar irdelenmiştir (Çizelge 2a,b,c,d).

Bu çalışmada kullanılan kritik değerlerden, spektrumda kullanılan değer, spektrumun tümünde olmayıp yal-



Şekil 3. Model kütlenin Fourier genlik spektrumu.

Fig. 3. Fourier amplitude spectra of the model mass.

Çizelge 1. (Şekil: 3)'teki gravite anomalisine uygulanan çeşitli pencerelerin oluşturduğu hataların değişimi.

Table 1. The variation in errors computed by using various windows applied to the gravity anomaly in Fig. 3.

| Pencere çeşidi | Gerçek derinlik (m) | Hesaplanan derinlik (m) | Gerçek üst derinlik (m) | Hesaplanan derinlik (m) | Z ₀ -Z' ₀ % Z ₀ | Z ₁ -Z' ₁ % Z ₁ |
|--------------------------------|---------------------------|-------------------------------|-------------------------------|-------------------------------|--|--|
| Rectang. | 300.0 | 280.0 | 100.0 | 93.0 | 6.3 | 6.3 |
| Hamming | 300.0 | 254.0 | 100.0 | 84.0 | 15.3 | 15.3 |
| Blackman (-58dB) | 300.0 | 241.5 | 100.0 | 80.5 | 19.5 | 19.5 |
| Blackman +Harris (-92dB) | 300.0 | 234.3 | 100.0 | 78.1 | 21.9 | 21.9 |

niz sıfır dalga sayılarındaki değer olduğundan Fourier integralı göz önüne alınırısa

$$g(w) = \int_{-\infty}^{\infty} g(x) e^{-iwx} dx \quad (10)$$

w → 0 için

$$g(0) = \int_{-\infty}^{\infty} g(x) dx \quad (11)$$

ayrıkt halde yazarsak

$$g(0) = \sum_{k=1}^{N} g(k, \Delta x) \Delta x \quad (12)$$

olacaktır. Burada dalga sayısı sıfır alındığından, Fourier integrali bir anlamda gravite eğrisi altındaki alana denk olacaktır. Bu nedenle profil boyunca gravite sinyaline desibel gücü yüksek perçeler uygulamak, bir anlamda gravite sinyalini pencereleyerek bozmak anlamında olacağının gereksizdir. Aksi takdirde Çizelge 1'deki gibi pencere uygulayarak, spektral ortamda oluşan ilk harmonik genişlemesi ve sıfır dalga sayılarındaki genlik kaybından dolayı hatalar ortaya çıkacak ve parametre saptanmasında

Çizelge 2a. Profil uzunluğuna bağlı hatalar (profil uzunluğu 1.0 Km)

Table 2a. The variation of errors versus profile length change (profile length is 1.0 Km)

| Pencere çeşidi | Gerçek derinlik (m) | Hesaplanan derinlik (m) | Gerçek üst derinlik (m) | Hesaplanan derinlik (m) | % $\frac{Z_0-Z'_0}{Z_0}$ | % $\frac{Z_1-Z'_1}{Z_1}$ |
|----------------|---------------------|-------------------------|-------------------------|-------------------------|--------------------------|--------------------------|
| 10.0 | 300.0 | 228.6 | 100.0 | 76.2 | 23 | 23 |
| 100.0 | 300.0 | 228.6 | 100.0 | 76.2 | 23 | 23 |
| 200.0 | 300.0 | 228.9 | 100.0 | 76.3 | 23 | 23 |
| 400.0 | 300.0 | 228.9 | 100.0 | 76.3 | 23 | 23 |
| 600.0 | 300.0 | 228.9 | 100.0 | 76.3 | 23 | 23 |

Çizelge 2b. Profil uzunluğuna bağlı hatalar (profil uzunluğu 2.0 Km)

Table 2b. The variation of errors versus profile length change (profile length is 2.0 Km)

| Pencere çeşidi | Gerçek derinlik (m) | Hesaplanan derinlik (m) | Gerçek üst derinlik (m) | Hesaplanan derinlik (m) | % $\frac{Z_0-Z'_0}{Z_0}$ | % $\frac{Z_1-Z'_1}{Z_1}$ |
|----------------|---------------------|-------------------------|-------------------------|-------------------------|--------------------------|--------------------------|
| 10.0 | 300.0 | 262.6 | 100.0 | 87.5 | 13 | 13 |
| 100.0 | 300.0 | 262.6 | 100.0 | 87.5 | 13 | 13 |
| 200.0 | 300.0 | 262.9 | 100.0 | 87.6 | 13 | 13 |
| 400.0 | 300.0 | 262.9 | 100.0 | 87.6 | 13 | 13 |
| 600.0 | 300.0 | 262.3 | 100.0 | 87.4 | 13 | 13 |

Çizelge 2c. Profil uzunluğuna bağlı hatalar (profil uzunluğu 4.0 Km)

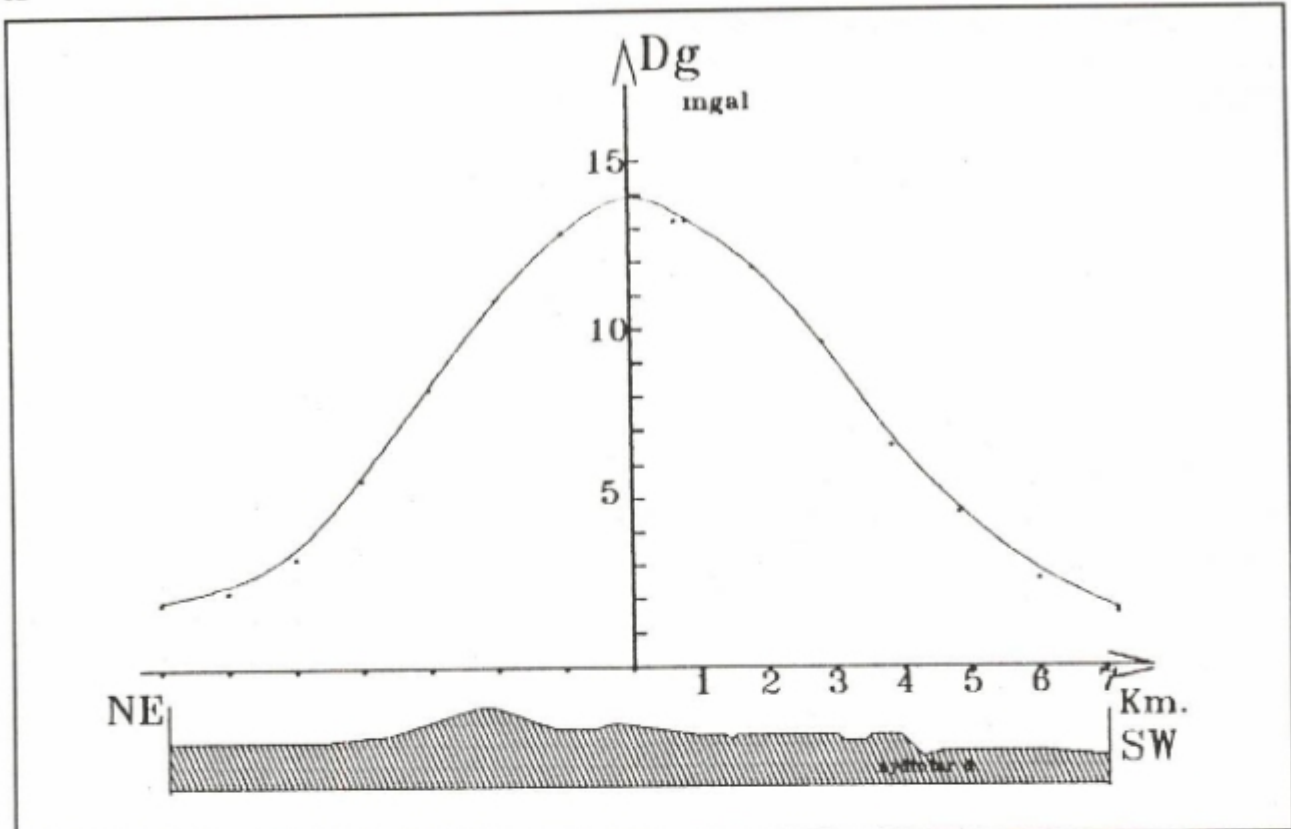
Table 2c. The variation of errors versus profile length change (profile length is 4.0 Km)

| Pencere çeşidi | Gerçek derinlik (m) | Hesaplanan derinlik (m) | Gerçek üst derinlik (m) | Hesaplanan derinlik (m) | % $\frac{Z_0-Z'_0}{Z_0}$ | % $\frac{Z_1-Z'_1}{Z_1}$ |
|----------------|---------------------|-------------------------|-------------------------|-------------------------|--------------------------|--------------------------|
| 10.0 | 300.0 | 281.2 | 100.0 | 93.7 | 6.3 | 6.3 |
| 100.0 | 300.0 | 281.2 | 100.0 | 93.7 | 6.3 | 6.3 |
| 200.0 | 300.0 | 280.8 | 100.0 | 93.6 | 6.4 | 6.4 |
| 400.0 | 300.0 | 280.8 | 100.0 | 93.6 | 6.4 | 6.4 |
| 600.0 | 300.0 | 280.8 | 100.0 | 93.6 | 6.4 | 6.4 |

Çizelge 2d. Profil uzunluğuna bağlı hatalar (profil uzunluğu 8.0 Km)

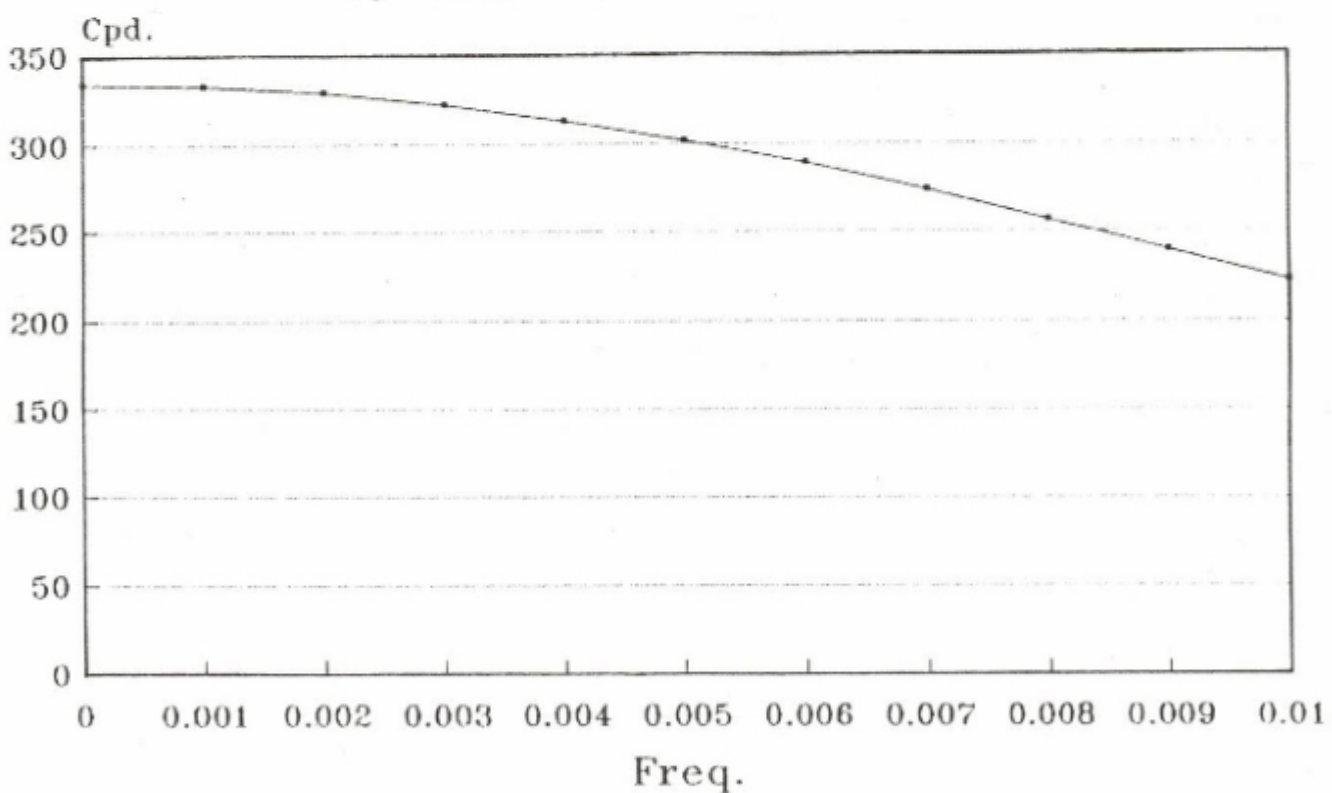
Table 2d. The variation of errors versus profile length change (profile length is 8.0 Km)

| Pencere çeşidi | Gerçek derinlik (m) | Hesaplanan derinlik (m) | Gerçek üst derinlik (m) | Hesaplanan derinlik (m) | % $\frac{Z_0-Z'_0}{Z_0}$ | % $\frac{Z_1-Z'_1}{Z_1}$ |
|----------------|---------------------|-------------------------|-------------------------|-------------------------|--------------------------|--------------------------|
| 10.0 | 300.0 | 290.5 | 100.0 | 96.8 | 3.2 | 3.2 |
| 100.0 | 300.0 | 290.5 | 100.0 | 96.8 | 3.2 | 3.2 |
| 200.0 | 300.0 | 289.8 | 100.0 | 96.6 | 3.4 | 3.4 |
| 400.0 | 300.0 | 290.6 | 100.0 | 96.9 | 3.1 | 3.1 |
| 600.0 | 300.0 | 290.4 | 100.0 | 96.8 | 3.2 | 3.2 |



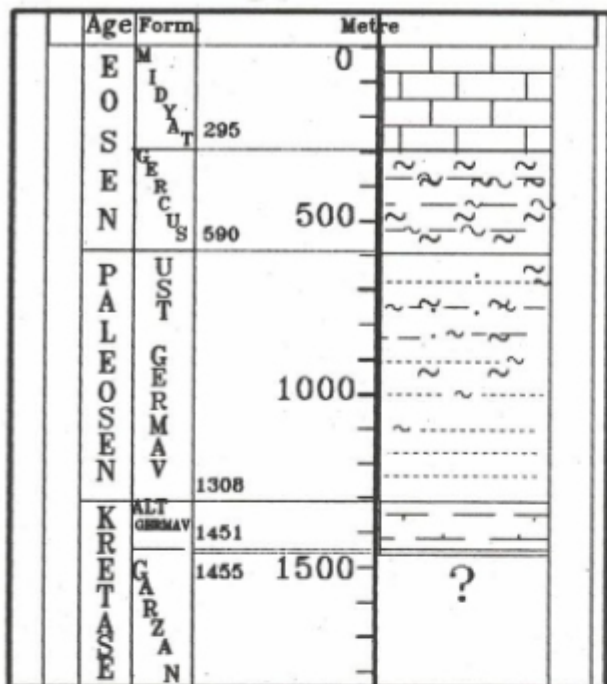
Şekil 4. Kentalan antiklinaline ait gravite anomalisi.

Fig. 4. Gravity anomaly of the Kentalan anticline.



Şekil 5. Saha verisinin Fourier genlik spektrumu.

Fig. 5. The Fourier amplitud spectra of the field data.



Şekil 6. Batı Kentalan-1 sondaj kuyusunun litolojik kesiti.
Fig. 6. The lithologic section obtained from the West-Kentalan-1 borehole.

yanılgılara neden olacaktır. Ayrıca Fourier integrali sınırlarından anlaşılacağı üzere gravite profili yeterli uzunlukta olmalıdır. Bunu Çizelge 2a,b,c,d'den açıkça görmek mümkündür.

Bu çalışmada kullanılan kritik g_{\max} değerini veren bağıntı şerit genişliğinin çok dar olması halinde geçerlidir. Oysa bu kritik değerle, spektral ortamındaki kritik değer kullanılarak bulunan derinlik parametreleri, Çizelge 2a,b,c,d'de görüleceği üzere, şerit genişliğinin artması ile bir hata değişimi oluşturmamaktadır. Burada şerit genişliğine bağlı beklenen hata artımı spektral ortamındaki $g(0)$ kritik değerinin karakterinden yok olmaktadır. Bu nedenle değişik genişlikteki horst, graben veya dayk tipi yapılarda bu çalışma, profil boyuna, yani gravite anomalisinin karakterini ortaya koyacak kadar uzunlukta olmasına dikkat ederek başarıyla uygulanabilir.

SAHA ÇALIŞMASI VE YORUMU

Kentalan antiklinaline (Siirt) ait gravit anomaliyi'nden (Şekil 4) Ayrık Fourier Dönüşümü ile dalga sayısı ortamındaki genlik spektrumu hesaplanmıştır (Şekil 5). Gravite anomalisinin g_{\max} değeri ile dalga sayısı ortamındaki spektrumun sıfır dalga sayısı değeri kullanılarak elde edilen iki denklem sistemi yardımıyla, anomaliye neden olan bozucu prizmatik kütlenin üst ve alt derinlik parametreleri aşağıdaki gibi elde edilmiştir ($g_{\max} = 14.4$ mgal, $g(0) = 334$ cp data interval, gözlem aralığı $dx = 250$ metre, $Z_1 = 1380$ metre, $Z_o = 2270$ metre). Elde edilen bu sonuçlarla, sahanın litolojik kesiti kıyaslandığında yöntemin başarısı açıkça görülmektedir (Şekil 6). Bu çalışma horst, graben ve düşey dayk model yapıları içinde başarıyla uygulanabilir. Diğer iki boyutlu yapılardaki çalışmalarla ise yakınsak model olarak ya da yinelemeli yöntemlerde başlangıç modeli olarak emniyetle kullanılabilir.

KAYNAKLAR

- Bhattacharyya, B.K., Leu Lei-Kuang 1977, Spectral analysis of gravity and magnetic anomalies due to rectangular prismatic bodies, Geophysics 42, 41-50.
- Bhimasankaram, V.L.S., Nagendra, R., Seshagiri Rao, S.V. 1977, Interpretation of gravity anomalies due to finite inclined dikes using Fourier transformation, Geophysics 42, 51-59.
- Grant, F.S., West, G.F. 1965, Interpretation Theory in Applied Geophysics, McGraw Hill Book Comp.
- Jenkins, G.M., Watts, D.G. 1969, Spectral Analysis and Its Applications, Holden Day.
- Rao, K.G.C., Avasthi, D.N., 1973, Analysis of the Fourier Spectrum of the gravity Effect due to two dimensional triangular prism, Geophysical Prospecting 21, 526-542.
- Sengupta, S., Das, S., 1977, Interpretation of the gravitational effect of a two Dimensional dike by Fourier Transform, Geoexploration, 15, 251-261.
- Telford, W.M., Geldard, L.P., Sheriff, R.E., Keys., Keys, D.A. 1976, Applied Geophysics, Cambridge University Press.

TÜRKİYE DEPREM BÖLGELERİ HARİTASININ EVRİMİ VE YENİ BİR HARİTA İÇİN ÖNERİ

Evolution of Earthquake Zoning Map of Turkey and a Proposal for a New Map

Haluk EYİDOĞAN* ve Uğur GÜÇLÜ**

ÖZET

Günümüze kadar deprem bölgeleri haritası tanımlı çerçevesinde, ülkemiz için değişik haritalar hazırlanmıştır. Resmi olarak onaylanmamış sıfatı taşıyan ilk Türkiye deprem bölgeleri haritası 1948'de yayınlanmıştır. 1948'deki haritadan sonraki harita, T.C. İmar ve İskan Bakanlığının resmi olarak 1963'de yürürlüğe konulmuş bulunan Türkiye Deprem Bölgeleri Haritasıdır. Ancak bu harita eleştiriler almış, 1965 yılında İmar ve İskan Bakanlığı deprem yönetmeliği çalışmalarını yeniden başlatmıştır. Bu çalışmalara katkı olarak İTÜ Yer Fiziği Enstitüsü ilki 1965, ikincisi 1971'de olmak üzere iki tane 'Beklenen Maksimum Şiddet Haritası'ni hazırlamış ve Bakanlığa sunmuştur.

Günümüzde kullanılan deprem bölgeleri haritası ise 1972'de onaylanarak yürürlüğe girmiştir. Ortaya çıkan bu harita 1948 ve 1963 haritalarındaki bazı belirsizlikleri ortadan kaldırmıştır. 1972'de yayınlanan deprem bölgeleri haritasının yürürlüğe girişinden sonra 20 yıl geçmiş bulunmaktadır. Bu süre içinde ülkemiz ve yakın çevresinde yeni depremler olmuş, daha önceki dönemlerde olan depremlere, yeni araştırmalarla ortaya çıkarılan bir çok yeni bilgi eklenmiştir. Bu çalışmada ilk olarak daha önce yayınlanan Türkiye deprem bölgeleri haritaları derlenmiştir. Daha sonra, son yıllarda yapılan çalışmalarдан elde edilen yeni deprem verileri, 1971 ve İTÜ'nün hazırlamış olduğu harita üzerine yerleştirilmiş ve gerekli değişiklikler yapılarak yeni "Türkiye'de Beklenen Maksimum Şiddet Haritası" hazırlanmıştır. Ülkemizde hızlı şehirleşme ve endüstriyel yatırımlar düşünüldüğünde, elde ettigimiz sonuçlar yürütlükte olan Türkiye deprem bölgeleri haritasının ve buna bağlı olarak deprem yönetmeliğinin yeniden gözden geçirilmesi gerekliliğini vurgulamaktadır.

ABSTRACT

Several seismic zoning maps of Turkey have been prepared and issued in the last 45 years. The first seismic zoning map of Turkey appeared in 1948. In 1963, Ministry of Public Works of Turkey issued the first official seismic zoning map of Turkey. Upon receiving several critical comments, in 1964 the Ministry of Public Works invited other institutions to propose their zoning studies. İTÜ has prepared two maps of expected maximum intensities in Turkey and submitted to Government in 1965 and 1971, respectively.

The current official seismic hazard map of Turkey distinguishes four hazard zones which are determined using the observed earthquake intensity data, and was put into effect by Government after 1971. This has clarified some of the questions arised for the maps issued in 1948 and 1963. Almost a twenty years has passed from the beginning of this last zoning map. Seismological studies carried out after 1960's revealed some 'previously unknown' historical earthquakes and showed the needs of revising some of the maximum seismic intensities and locations for the known ones. In this study, we first examined previously proposed deterministic seismic hazard map of Turkey. Then, the intensities of recently revealed historical and instrumental earthquakes were overlayed İTÜ's maximum intensity map of Turkey in order to investigate whether this new information regards modifications on the current map. A new Maximum Expected Intensity Map of Turkey was prepared and it is found the addition of the revised earthquake data. Considering the new industrial investments and rapid urbanization in Turkey, such revisions of previously assigned intensities of earthquakes are vital for the future planning in the country.

* İTÜ Maden Fakültesi, Jeofizik Mühendisliği Bölümü, 80626, Maslak, İstanbul.

** İTÜ YBYK UYG-AR Merkezi Sismoloji ve Sismotektonik Birimi, 80626, Maslak, İstanbul.

GİRİŞ

Deprem bölgelerinin deprem etkinliği zaman içinde aynı kalmayıp, az ya da çok değişmektedir. Bunun başta gelen nedeni jeolojik olayların etkisiyle deformasyon ve kırılma oluşumlarının süregelmesi, biriken tektonik kuvvetin yer kabuğunu çeşitli yerlerinden kırmalarıdır. Jeolojik zaman ölçekleri insan ömrü ile karşılaşırılamayacak kadar büyük olduğundan bazı değişimleri zamanında gözlememiz olanaksızdır. Ancak jeolojik, jeomorfolojik, paleosismolojik ve arkeolojik araştırmalar, eski çağlarda daha önce bilmediğimiz yerlerde büyük depremlerin olduğunu ortaya koymaktadır. Ayrıca yerküre üzerine sismologlar tarafından yerleştirilen deprem kayıt istasyon sayısının giderek çoğalması nedeniyle daha ufak ve daha fazla deprem kayıt olanakları artmaktadır. Sonuç olarak zaman ve uzay içinde depremlerin sayısının, büyüklüğünün, yerinin ve yeryüzeyinde yaptığı etkilerin değişmekte olduğunu söyleyebiliriz. Bu etmenler nedeniyle depremselliği yüksek ülkelerde depremsellik karakterini ve deprem tehlikesi oluşturma potansiyelini niteliksel ya da niceliksel olarak belirleyen deprem bölgeleri kararları gözden geçirilmeli ve güncelleştirilmelidir.

Nüfus artış hızı, yurt genelinde % 2.5 ve hızlı şehirleşme olan yerlerde % 6 ya varan ülkemizde deprem potansiyel bölgelerinin yeni bulgular ışığında yeniden gözden geçirilmesinde yarar olduğu açıklıktır. Bu çalışmada, yukarıda belirttiğimiz özellikler ve etmenler ışığında Türkiye deprem bölgeleri ile ilgili bilgiler güncelleştirilmeye çalışılmıştır.

TÜRKİYE İÇİN DEPREM BÖLGELERİ BELİRLEME ÇALIŞMALARI

Ülkemiz için günümüze kadar değişik deprem bölgeleri haritaları hazırlanmıştır. Resmi olarak onaylanmamış sıfatı taşıyan ilk Türkiye deprem bölgeleri haritası Ord. Prof. Hamit Nafiz Pamir'in Dinamik Jeoloji adlı kitabının 2'nci cildinde bulunmaktadır (Pamir 1948). Şekil 1'de verilen bu haritada birbirinden farklı üç deprem potansiyel bölgesi tanımlanmıştır. Bu haritaya göre genellikle Kuzey Anadolu Fay Zonu, Batı Anadolu'nun graben havzaları, Van Gölü çevresi, Kars-Ağrı bölgesi, Adana ve İskenderun-Hatay illerimizi kapsayan bölgeler en tehlikeli deprem bölgeleri olarak gösterilmiştir. Haritaya dikkatlice bakıldığında bazı yerlerde en tehlikeli bölgeye komşu olup, ancak depremsiz gibi gösterilmiş bölgeler vardır. Depremin makrosismik etkilerinin uzaklığa değiştiği kavramı düşünüldüğünde bu durum bugünkü deprem bölgeleri anlayışına uyamamaktadır. Ders kitabında yer alan bu deprem bölgeleri haritasının o zamanki İmar ve İskan Bakanlığı tarafından kullanıldığı ya da kullanıldığı ile ilgili bir bilgimiz yoktur.

İmar ve İskan Bakanlığı'nca resmi olarak yürürlüğe konulan ilk harita 1963 tarihli Türkiye Deprem Bölgeleri haritasıdır. Bu harita Şekil 2'de görülmektedir. Haritaya dikkat bakıldığında 1948 deki haritaya benzerlikler gösterdiği, 1948 tarihli haritadaki ikinci derece bölgelerin ba-

zalarının 3'üncü dereceye atandığı görülmektedir. Deprem bölgelerinin dağılım geometrisi gözönüne alındığında, Bakanlığın bu haritayı hazırlarken 1948 tarihli haritayı baz aldığı gösterir belirtiler vardır. Bu haritada da birinci derece bölge genellikle 1948 tarihli haritadaki gibi Kuzey Anadolu Fay Zonunu izlemekte ve Batı Anadolu grabenlerini kapsamaktadır. 1963 tarihli haritanın ilk haritaya göre en önemli bir farkı, üçüncü derece deprem bölgeleri ile "tehlikesiz" olarak tanımlanmış deprem bölgeleri içermesidir. Ancak birinci bölge ile tehlikesiz bölgelerin ve gene üçüncü bölge ile birinci bölgenin komşu olarak yer almazı gibi, açıklanması güç yorumlamalar bu haritanın da eleştirilmesi sonucunu doğurmuştur.

1964 yılında İmar ve İskan Bakanlığı deprem yönetmeliği çalışmalarını yeniden başlatmış ve Bakanlık tarafından yapılan çağrı üzerine İstanbul Teknik Üniversitesi Sismoloji Enstitüsü tarafından bir rapor hazırlanmıştır. 22 Mart 1965 tarihinde Ankara'da yapılan deprem yönetmeliği toplantılarında sunulan bu raporun ekindeki maksimum şiddet dağılım haritası önerisi Şekil 3'te görülmektedir. Şiddetin uzaklığa azalması ve birim alanda açığa çıkan sismik enerji kavramları da gözönünde bulundurularak hazırlanan bu harita daha önceki eleştiri konularını da ortadan kaldırmayı amaçlamıştır. Haritanın hazırlanmasında Pinar ve Lahn (1952) deprem kataloğu, çeşitli sismolojik bültenler ve o sırалarda hazırlanmakta olan Ergin ve diğ. (1967) deprem kataloğu kullanılmıştır. Bu harita hazırlanırken Türkiye depremleri için

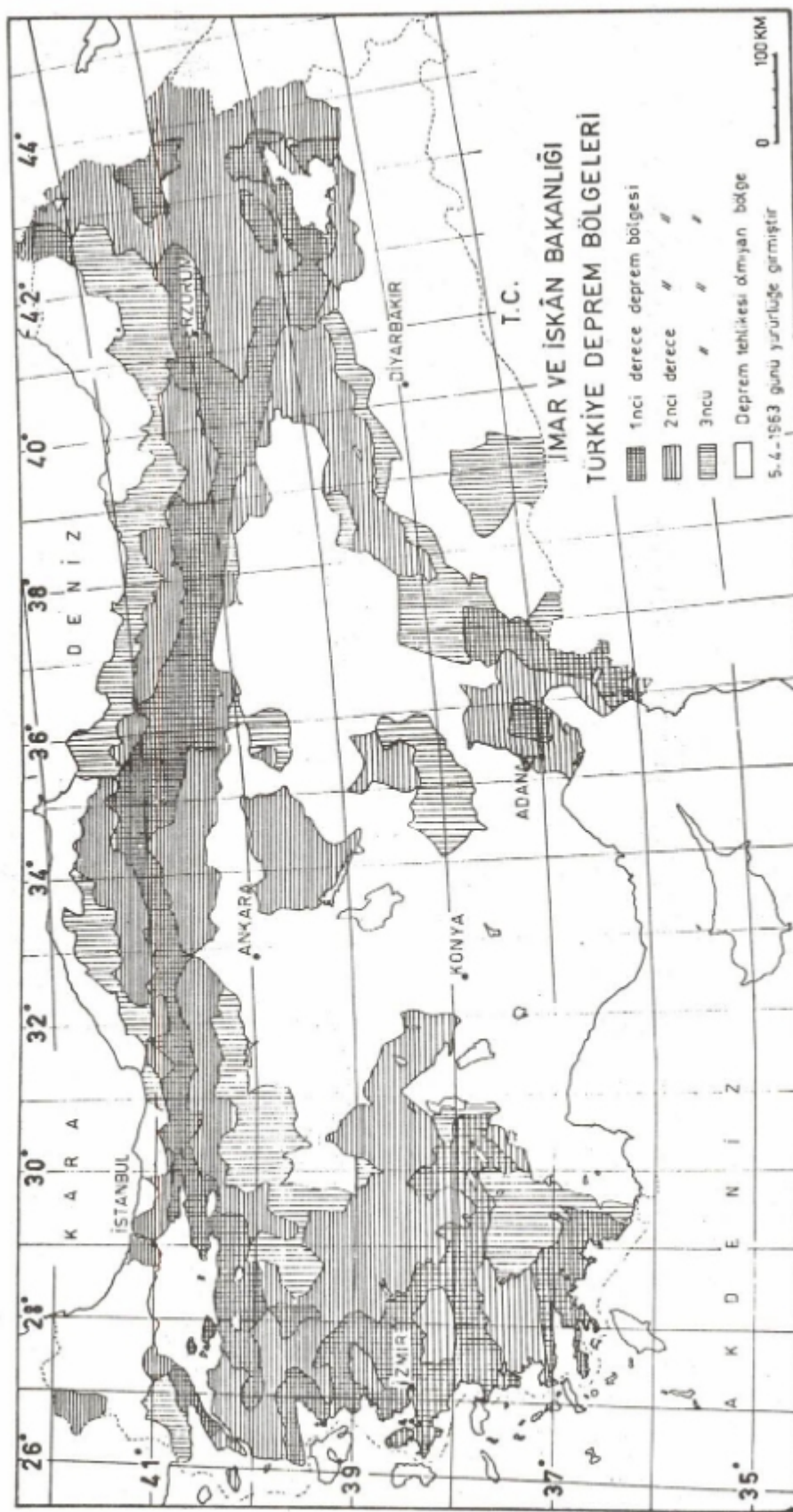
$$I = I_0 + 3.58 - 3.33 \log_{10} R \quad (1)$$

bağıntıları kullanılmıştır (İpek ve diğ. 1965). Bu bağıntılar da I_0 maksimum şiddet ve I, R (km) uzaklıktaki şiddettir.

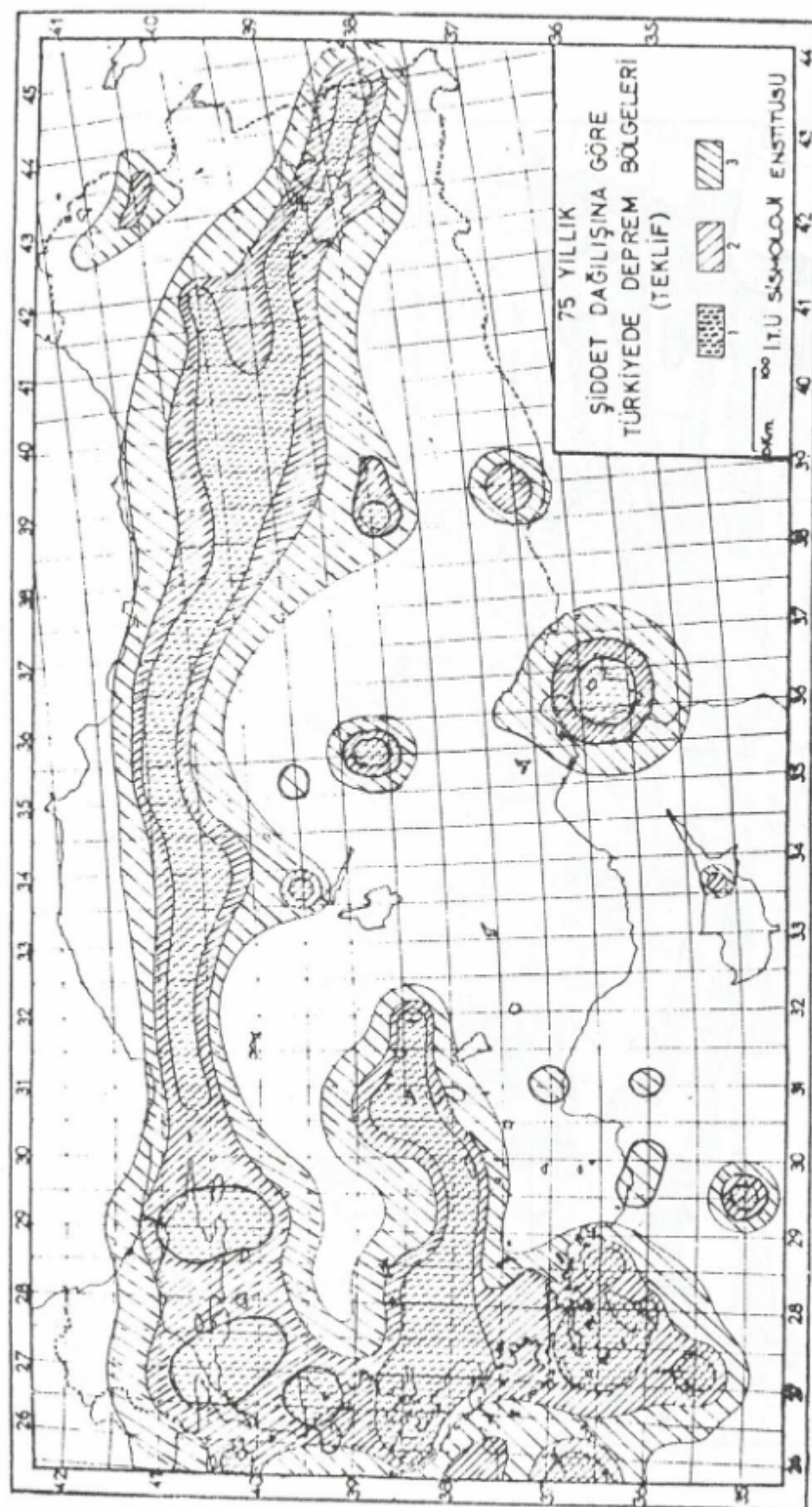
1967 yılında İmar ve İskan Bakanlığı Deprem Araştırma Enstitüsü kurulmuş ve 1963'te yürürlüğe konulan deprem bölgeleri haritası yeniden incelemeye alınmıştır. Deprem Araştırma Enstitüsü ile yapılan görüşmeler sonucu İTÜ Maden Fakültesi Arz Fiziği Enstitüsü tarafından (eski adıyla Sismoloji Enstitüsü, şimdiki adıyla İTÜ, Yer Bilimleri ve Yeraltı Kaynakları, UY-GAR Merkezi, Sismoloji ve Sismotektonik Birimi) bu çalışmalara katkı sağlamak amacıyla Türkiye'deki depremlerden beklenenek maksimum şiddet haritası hazırlanmıştır (Şekil 4). Ergin ve Güçlü (1971) tarafından hazırlanan bu harita şu yaklaşımla oluşturulmuştur. Önce ülkemizde o güne kadar eşsiz (izoseist) haritası çizilebilmiş olan depremlerin eşsizde haritalan birleştirilmiş (Çizelge 1) ve birbirlerini etkileyenleri gözönünde bulundurularak ülke çapında yeniden çizilmiştir. Birleştirilen bu haritalar, önce standart bir ölçüye getirilmiş ve bunun üstüne tüm episantılar büyütüklüklerine göre işaretlenmiştir. Daha sonra, elde edilen bu yeni dağılım ülkemizin genel jeolojik yapısı da gözontünde bulundurularak yorumlanmış ve yeni deprem bölgeleri haritası yapılmıştır. Yeni harita Deprem Araştırma Enstitüsü'ne, bu haritaya sadık kalınarak yeni bir harita hazırlamaları dileğe gönderilmiştir. Deprem Araştırma Enstitüsü, İTÜ tarafından kendilerine önerilen haritaya benzer, ancak önemli farklar içeren yeni deprem bölgeleri haritası hazırlayıp, 1972 yılında Bakanlar Kuruluna onaylatmıştır (Şekil 5).



Şekil 1. Pamir (1948)in Dinamik Jeoloji adlı kitabında yayımlanan üç bölgeli Türkiye deprem bölgeleri haritası. Üçüncü derece bölge boş gösterilmiştir.
Fig. 1. Seismic Zonation map of Turkey as proposed by Pamir (1948) in his book titled as 'Dynamic Geology'. The third grade region is shown by blank.

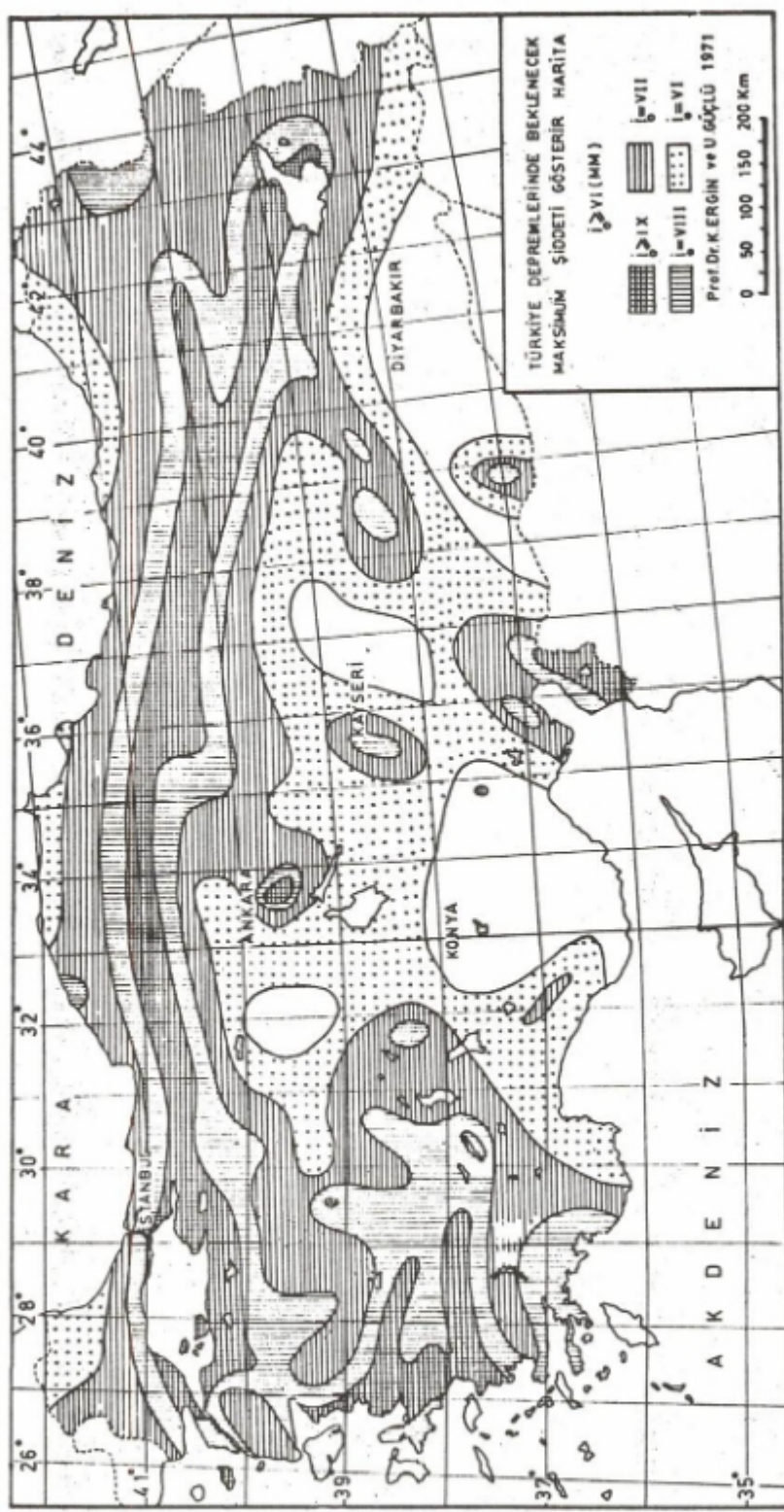


Şekil 2. İmar ve İskan Bakanlığı tarafından 1963 yılında yürürlüğe konan dört bölgeyi Türkiye deprem bölgeleri haritası. Dördüncü derece bölge boş gösterilmiştir.
Fig. 2. The four grade earthquake zonation map of Turkey as proposed by the Ministry of Public Works in 1963. The fourth grade zone is shown by balank in the map.



Sekil 3. 22 Mart 1965 yılında Ankara'da yapılan deprem yönetmeliği toplantılarında İTÜ Sismoloji Enstitüsü tarafından sunulan dört bölge deprem bölgeleri haritası. Dördüncü bölge boş gösterilmiştir.

Fig. 3. The four grade seismic zonation map of Turkey which is proposed by the Institute of Seismology, Istanbul Technical University. The fourth grade zone is shown by blank.

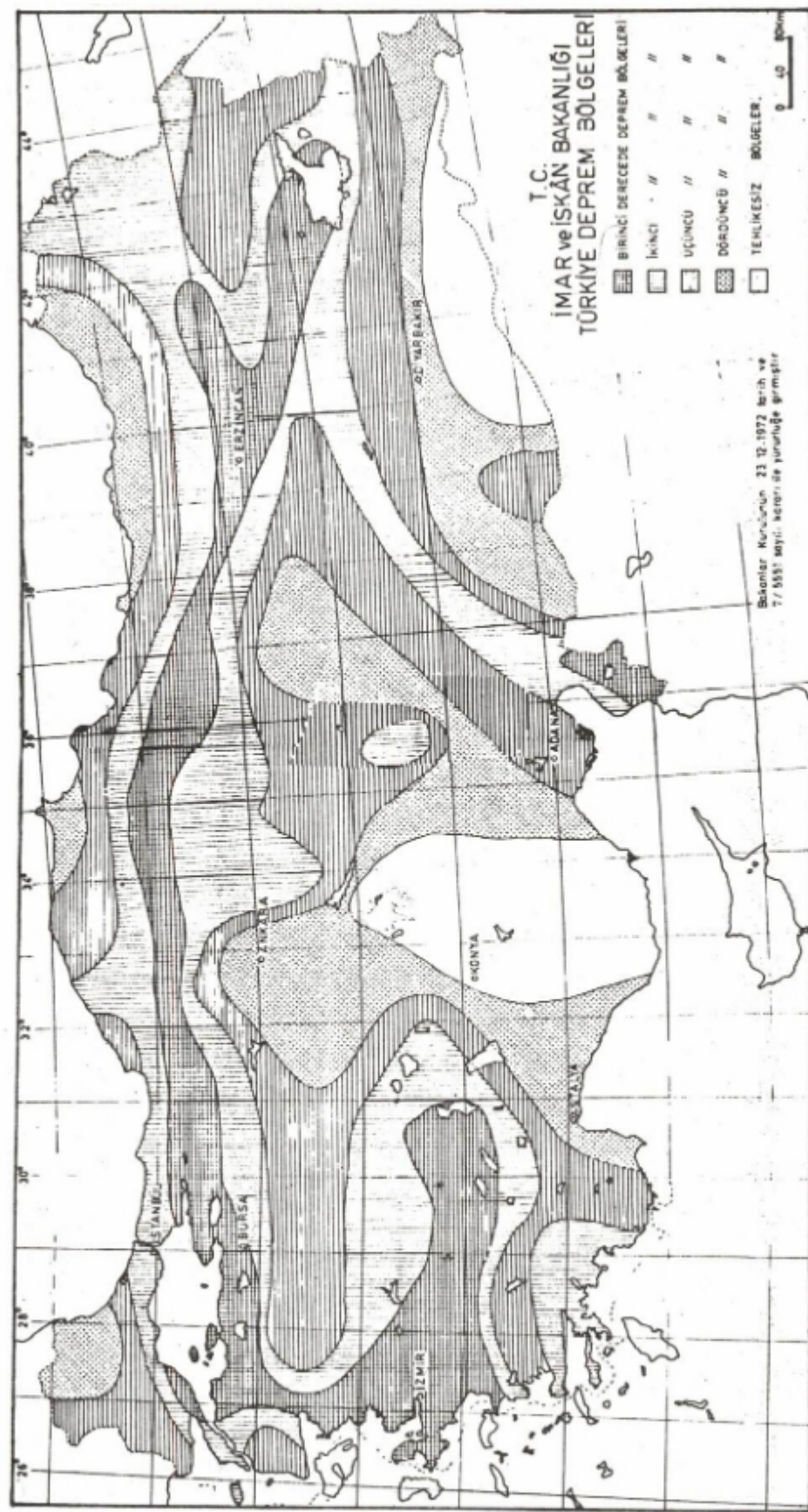


Şekil 4. Ergin ve Güçlü (1971) tarafından İmar ve İskan Bakanlığı'na önerilen beş bölgeli Türkiye deprem bölgesi haritası. Beşinci derece bölge boş gösterilmiştir.
Fig. 4. The five grade seismic zoning map of Turkey which is proposed to the Ministry of Public Works by Ergin and Güçlü (1971). The fifth grade zone is shown by blank.

- Çizelge** 2. 1972 den sonra yayınlanmış katalog ve diğer yayınlardan elde edilen yada şiddetleri değiştirilmiş tarihsel depremler.
- Table** 2. The list of the historical earthquakes that their macroseismic information has been published after 1972 or intensities were revised.

| Tarih | Koordinat | | Eski | Yeni | Tarih | Koordinat | | Eski | Yeni |
|-----------|-----------|-------|------|------|------------|-----------|-------|------|------|
| G.A.Yıl | Enl. | Boyl. | Şid. | Şid. | G.A. Yıl | Enl. | Boyl. | Şid. | Şid. |
| MÖ 550 | 39.7 | 44.4 | - | IX | 8.4.859 | 36.25 | 36.1 | VI | IX |
| 427 | 41.2 | 31.4 | - | V | 3.9.968 | 41.15 | 34.75 | - | IX |
| 412 | 36.5 | 27 | - | VIII | 26.10.986 | 41 | 29 | VIII | IX |
| 360 | 41.2 | 31.4 | - | - | 23.9.1064 | 40.4 | 28.9 | VIII | IX |
| 330-323 | 40.6 | 37 | - | - | 23.9.1344 | 41 | 29 | VI | IX |
| 282 | 40.5 | 26.7 | - | VIII | 3.1.1354 | 40.7 | 27 | VIII | IX |
| 185 | 36 | 28 | - | IX | 20.3.1389 | 38.4 | 26.4 | VI | IX |
| 148 | 36.25 | 36.1 | - | VIII | 1458 | 39.75 | 40.4 | - | X |
| 131 | 37.05 | 36.6 | - | VII | 1462 | 41 | 29 | - | IX |
| 69 | 36.25 | 36.1 | - | IX | 1598 | 40.4 | 35.4 | VIII | IX |
| 65 | 37.75 | 29.25 | - | VIII | 6.2.1659 | 41 | 29 | VI | IX |
| 37 | 36.25 | 36.1 | - | VIII | 17.8.1668 | 40.9 | 36 | - | IX |
| 31 | 37.85 | 27.85 | - | VIII | 10.7.1688 | 38.4 | 27.2 | - | X |
| 5 | 37 | 27 | - | VIII | 25.5.1719 | 40.7 | 29.5 | VIII | IX |
| MS 11 | 37.8 | 27.8 | VIII | VIII | 4.4.1739 | 38.4 | 27.2 | VIII | IX |
| 17 | 38.4 | 27.5 | X | IX | 29.7.1752 | 41.7 | 26.5 | VI | IX |
| 33 | 40.4 | 29.7 | VII | VIII | 22.5.1766 | 41 | 29 | VII | IX |
| 37 | 36.24 | 36.1 | - | VIII | 13.8.1822 | 36.4 | 36.2 | VI | IX |
| 79 | 36.25 | 36.1 | - | VII | 12.10.1845 | 39.1 | 26.2 | VI | X |
| 93 | 40.6 | 27. | VI | VIII | 24.7.1852 | 39.9 | 41.3 | VI | IX |
| 94 | 38.75 | 30.5 | - | VIII | 26.6.1859 | 39.9 | 41.3 | - | IX |
| 105 | 38.9 | 27 | VII | IX | 3.11.1862 | 38.4 | 27.7 | - | IX |
| 110 | 37 | 26 | - | IX | 23.7.1865 | 39.4 | 26.2 | VIII | IX |
| 13.12.115 | 36.25 | 36.1 | VII | IX | 7.3.1867 | 39.1 | 26.5 | VIII | IX |
| 127 | 40.6 | 37 | VI | IX | 23.4.1868 | 40 | 41.7 | VI | IX |
| 155 | 36.3 | 28 | - | X | 10.1.1875 | 40.2 | 26.4 | VI | IX |
| 177 | 38.4 | 27.1 | VII | X | 1.11.1875 | 39.9 | 41.3 | - | X |
| 24.8.358 | 40.75 | 29.9 | VII | IX | 13.5.1876 | 38.8 | 30.5 | VI | IX |
| 427 | 41 | 29 | VII | IX | 3.4.1881 | 38.25 | 26.1 | VI | X |
| 8.12.447 | 40.8 | 29.6 | VIII | IX | 30.5.1881 | 38.5 | 43.3 | VII | IX |
| 25.9.478 | 40.8 | 29 | - | IX | 20.5.1890 | 39.9 | 38.8 | - | IX |
| 29.5.526 | 36.25 | 36.1 | V | IX | 19.8.1895 | 37.8 | 27.8 | VIII | IX |
| 15.8.553 | 40.75 | 29.1 | - | X | 9.3.1902 | 40.67 | 33.57 | - | IX |

* Kaynaklar: Ergin ve diğ. (1967), Soysal ve diğ. (1981).



Şekil 5. İmar ve İskan Bakanlığı tarafından 1972 yılında yürürlüğe konan beş bölgeli Türkiye deprem bölgeleri haritası. Beşinci derece bölge boş gösterilmiştir.

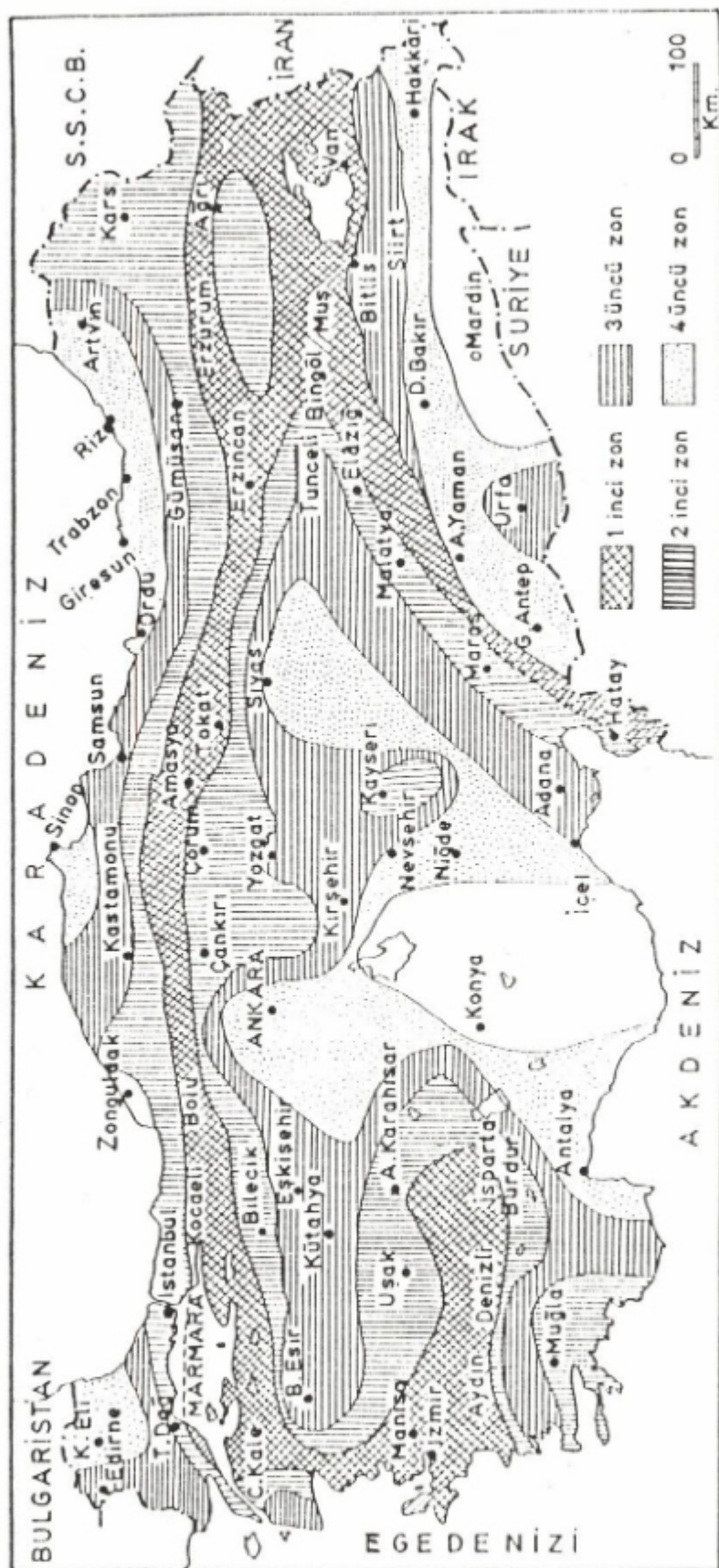
Fig. 5. The five grade seismic zoning map of Turkey which is put into force by the Ministry of Public Works as the year of 1972. The fifth grade is shown by blank.

Çizelge 1. İTÜ, Maden Fakültesi Arz Fiziği Enstitüsü tarafından hazırlanan ve İmar ve İskan Bakanlığı'na 1971 yılında önerilen 'En Büyük Şiddet' haritasında kullanılmış eşşiddet verilerinin listesi.

Table 1. The list of the earthquakes which are used to prepare the 'Maximum Intensity Map of Turkey' and proposed to Ministry of Public Works of Turkey by the Institute of Physics of the Earth, Istanbul Technical University.

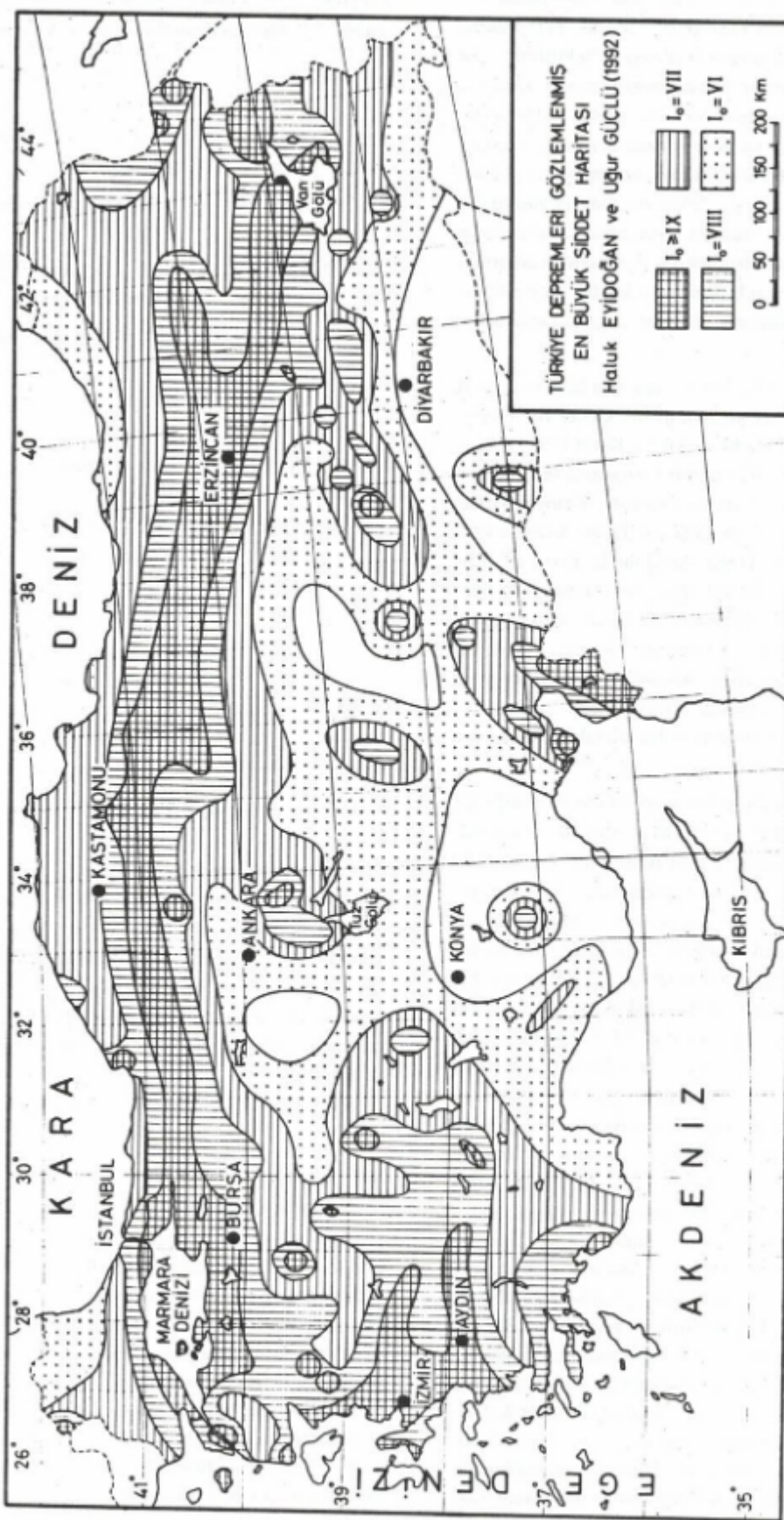
| | | | |
|---------------------|---|---------------------|---|
| 1- 30/31 Mart 1928 | Tepeköy-Torbali Depremi (Hakkı ve Pamir 1929) | 20- 14 Eylül 1962 | Balıkesir Depremi (Ergin ve diğ. 1967) |
| 2- 19 Nisan 1938 | Orta Anadolu Depremi (Parejas ve Pamir 1939) | 21- 11 Mart 1963 | Denizli Depremi* (Ergin ve diğ. 1967) |
| 3- 21/22 Eylül 1939 | Dikili-Bergama Depremi (Salomon-Calvi 1940) | 22- 18 Eylül 1963 | Doğu Marmara Depremi (Özçek 1963) |
| 4- 27 Aralık 1939 | Erzincan Depremi (Ketin 1945) | 23- 22 Kasım 1963 | Tefenni-Burdur Depremi (Özçek 1963) |
| 5- 26 Kasım 1943 | Ladik (Tosya) Depremi (Blumenthal 1945) | 24- 14 Mart 1966 | Palu-Maden Depremi* (Ergin ve diğ. 1967) |
| 6- 1 Şubat 1994 | Çerkeş-Bolu Gerede Depremi (Ketin 1961) | 25- 14 Haziran 1964 | Malatya Depremi* (Ergin ve diğ. 1967) |
| 7- 22 Ekim 1952 | Misis (Adana) Depremi (Roesli 1953) | 26- 6 Ekim 1964 | Manyas Depremi* (Ergin ve diğ. 1967) |
| 8- 18 Mart 1953 | Yenice-Gönen Depremi (Ketin ve Roesli 1953) | 27- 7 Mart 1966 | Varto Depremi (Uz ve Güçlü 1966) |
| 9- 2 Mayıs 1953 | Karaburun Depremi (Ketin ve Roesli 1953) | 28- 19 Ağustos 1966 | Varto Depremi (Ketin ve Abdüsselamoğlu 1966) |
| 10- 18 Haziran 1953 | Edirne Depremi (Ketin ve Roesli 1953) | 29- 19 Ağustos 1966 | Varto Depremi (Ambraseys ve Zatopek 1966) |
| 11- 16 Temmuz 1955 | Söke-Balat Depremi (Roesli ve Erguvanlı 1955) | 30- 3 Eylül 1968 | Bartın Depremi (Ketin ve Abdüsselamoğlu 1970) |
| 12- 16 Temmuz 1955 | Söke-Balat Depremi (Öcal 1958) | 31- 22 Temmuz 1967 | Adapazarı-Mudurnusuyu vadisi Depremi (Uz 1969) |
| 13- 20 Şubat 1956 | Eskişehir Depremi* (Öcal 1959) | 32- 23 Mart 1969 | Demirci Depremi (Ketin ve Abdüsselamoğlu 1969) |
| 14- 25 Nisan 1957 | Fethiye Depremi (Öcal 1958) | 33- 28 Mart 1969 | Alaşehir-Sarıgöl Depremi (Ketin ve Abdüsselamoğlu 1969) |
| 15- 26 Mayıs 1957 | Abant Depremi (Öcal 1959) | 34- 28 Mart 1970 | Gediz Depremi (Ketin ve diğ. 1970) |
| 16- 2 Nisan 1959 | Bozüyük-Bilecik Depremi (Ergin ve diğ. 1967) | 35- 28 Mart 1970 | Gediz Depremi* (Ergin ve diğ. 1971) |
| 17- 25 Nisan 1959 | Köyceğiz Depremi (Omote ve İpek 1959) | 36- 2 Temmuz 1970 | Gürün Depremi* (Ergin ve diğ. 1971) |
| 18- 23 Mayıs 1961 | Ege-Akdeniz Depremi* (Ergin ve diğ. 1967) | | |
| 19- 4 Eylül 1962 | Iğdır Depremi* (Ergin ve diğ. 1967) | | |

* Anket değerlendirme yoluyla çizilen eşşiddet haritaları.



Şekil 6. Kettin (1983) tarafından önerilen beş bölgeli Türkiye deprem bölgesi haritası. Beşinci derece bölge boş gösterilmiştir.

Fig. 6. The five grade seismic zoning map of Turkey which is put into force by the Ministry of Public Works as the year of 1972. The fifth grade is shown by blank.



Ortaya çıkan harita 1948 ve 1963 haritalarındaki sakıncaların bir bölümünü ortadan kaldırmıştır. Ancak, İTÜ Maden Fakültesi Arz Fiziği Enstitüsü haritasında belirtilmiş olan temel bölgelemeyi önemli ölçüde değiştirmiştir. Örneğin İstanbul'un güney kesimlerindeki IX şiddet bölgesi (bu bölge dünya standartlarına göre birinci derecede tehlikeli bölge olarak nitelendirilir) dikkate alınmamıştır. Genel bazı deprem bölgeleri genişletilirken bazıları daraltılmıştır. Bu deprem bölgeleri haritasının daha öncekilerden farklı ve iyi bir yanı, yerleşim birimlerinin ilçe bazında adlarının ve içine girdikleri deprem bölgelerinin tek tek haritanın arkasında listelenmiş olmasıdır. Bu liste uygulamacılara kolaylık sağlamamaktadır.

Türkiye deprem bölgeleri haritası için bir başka öneri de Kettin (1983)'in "Türkiye Jeolojisine Genel Bir Bakış" adlı kitabında bulunmaktadır (Şekil 6). Kettin (1983), İmar ve İskan Bakanlığı'nın 1972 tarihli haritasında bazı değişiklikler yaparak yeni bir harita hazırlamıştır. Kettin'in haritasındaki belirgin değişiklikler daha çok Doğu Anadolu bölgesinde görülmektedir. Doğu Anadolu'da Erzincan-Ağrı arasında birinci derece tehlikeli alan içinde kalan ikinci derece bölgenin varlığı, Doğu Anadolu Fayına koşut birinci derece bölgenin hemen doğusundaki dördüncü dereceli bölgenin yerılması, Muş güneyinde birinci derece bölge ile üçüncü derece bölge arasında ikinci derece yokluğu ve Zonguldak çevresinin tehlikesiz bölge olarak gösterilmesidir.

1972 de Deprem Bölgeleri Haritası'nın yürürlüğe girişinden sonra 20 yıl geçmiş bulunmaktadır. Bu süre içinde ülkemiz ve yakın çevresinde yeni depremler olmuş, 1970 yılı öncesi depremlerle ait yeni araştırmalar yapılmış, tarihsel depremlerle ilgili yeni veriler elde edilmiş ya da varolan bilgiler gözden geçirilmiş ve yeni kataloglar yayınlanmıştır (Soysal ve diğ. 1981, Ambraseys ve Finkel 1987, Alsan ve diğ. 1975, Ambraseys ve Melville 1982, Güçlü 1981, Berberian 1976, Ergin ve diğ. 1971, Güçlü ve diğ. 1986). Yeni bulgular 1972'ye kadar bildiğimiz bazı tarihsel dönem depremlerinden bir bölümünün şiddetini azaltma ya da artma yönünde değiştirmiş bulunmaktadır. Bunların da ötesinde, 1972 yılına kadar hiç bilinmeyen tarihsel depremler ortaya çıkarılmıştır (Çizelge 2 ve Çizelge 3). Bu çalışmada, bütün bu yeni bilgiler derlenmiş ve bu bilgilerin işığında yeni bir Türkiye Maksimum Şiddet Haritası oluşturulmaya çalışılmıştır (Şekil 7). Bu harita daha önce Ergin ve Güçlü (1971) tarafından hazırlanan haritanın (Şekil 4) yeniden gözden geçirilmiş durumudur. Şekil 4 deki haritada yer almayan ve yeni araştırmalarda şiddet değerleri değişmiş olarak verilen depremler, bu harita üstüne yerleştirilmiş ve yukarıda verilen uzaklıklıkla şiddetin değişim bağıntısı (1) göz önünde bulundurularak yeni Türkiye'de Beklenen Maksimum Şiddet Haritası elde edilmiştir. 1972 onaylı Türkiye Deprem Bölgeleri Haritası da benzer

Çizelge 3. 1970 den sonra olmuş depremler.

Table 3. The earthquakes which occurred after 1970.

| | |
|-------------------|---|
| 1- 12 Mayıs 1971 | Burdur Depremi (Erinç ve diğ. 1971) |
| 2- 12 Mayıs 1971 | Burdur Depremi (Aydın ve Sapanlı 1971) |
| 3- 12 Mayıs 1971 | Burdur Depremi (Tezcan ve diğ. 1971) |
| 4- 22 Mayıs 1971 | Bingöl Depremi (Seymen ve Aydın 1972) |
| 5- 22 Mayıs 1971 | Bingöl Depremi (Bilgin ve diğ. 1972) |
| 6- 27 Mart 1975 | Gelibolu-Saroz Depremi (Seymen ve Güçlü 1975) |
| 7- 6 Eylül 1975 | Lice Depremi* (Güçlü ve diğ. 1986) |
| 8- 6 Eylül 1975 | Lice Depremi (Deprem Araştırma Enstitüsü Raporu 1976) |
| 9- 6 Eylül 1975 | Lice Depremi (Abdüsseleamoğlu 1981) |
| 10- 24 Kasım 1976 | Çaldırın Depremi (Kettin ve Abdüsselamoğlu 1977) |
| 11- 30 Ekim 1983 | Narman Depremi (Özgül ve diğ. 1983) |

* Anket değerlendirme yoluyla çizilen eşsizde haritaları.

bir yaklaşımla hazırlanlığından aynı bölgelendirme ölçüği kullanılarak burada önerilen harita ile karşılaştırma yapılabilir. Bu karşılaştırma sonucu Kuzey Anadolu Fayının belirlediği birinci derece alan yüzölçümü artmış. İTÜ'nün 1965 önerisinde de belirttiği gibi Marmara Denizi'nin kuzeyini ve İstanbul metropolünün güney bölgelerini oluşturan alanların birinci derece bölge niteliği kazanmış ve daha az dereceli bazı alanların bir bölümünün ise daha yüksek dereceli alanlara dönüştüğü bulunmuştur.

SONUÇ

1960'lı yıllarda İstanbul Teknik Üniversitesi Sismoloji Enstitüsü'nde başlanan deprem çalışmalarının bir ürünü olarak hazırlanan Türkiye Maksimum Şiddet Haritası'nın devamı niteliğinde yeni bir harita hazırlanmıştır. Bu amaçla; 1970 öncesi olmuş, ancak bugüne kadar bilinmeyen depremler, bilinen ancak şiddetleri yeniden belirlenmiş depremler ve 1970 sonrası olmuş depremler ile ilgili kayıtlar derlenmiştir. Elde edilen veriler İTÜ Arz Fiziği Enstitüsü tarafından 1971 yılında İmar ve İskan Bakanlığına önerilen Türkiye Maksimum Şiddet Haritası üzerine aktarılarak yeni bir harita elde edilmiştir.

Bu çalışmada elde ettiğimiz yeni Türkiye Maksimum Şiddet Haritası şimdilerde kullanılmakta olan Türkiye Deprem Bölgeleri Haritası ile kıyaslanabilir. Bu karşılaştırma sonucunda Kuzey Anadolu Zonu'nun belirlediği birinci derece alanın yüz ölçümünün arttığı, İTÜ'nün 1965 ve 1971 yıllarındaki önerisinde de belirttiği gibi Marmara Denizi'nin kuzeyini ve İstanbul metropolünün güney bölgelerini oluşturan alanların birinci derece bölge niteliği kazandığı ve daha az dereceli bazı alanların bir bölümünün ise daha yüksek dereceli alanlara dönüştüğü görülmüştür. Ayrıca, Doğu Anadolu'da birinci derece bölgelerinin alanının artması, Kuzey Batı Anadolu'da yeni birinci dereceli bölgelerin ortaya çıkması ve Ankara'nın güneydoğusunda beliren birinci ve ikinci derece yeni alanların varlığı dikkat çeken noktalardır.

KAYNAKLAR

- Abdülselamoğlu, Ş. 1981, 6 Eylül 1975 Lice depremi ve bölgenin jeolojisi, İst. Üni. Mühendislik Fakültesi Yer Bilimleri Dergisi 1, 97-105.
- Alsan, E., Tezuçan, L. ve Bath, M. 1975, An Earthquake Catalogue for Turkey for the Interval 1913-1970, Kandilli Rasathanesi, Report No: 7-75.
- Ambraseys, N.N. ve Zapotek, A. 1966, The Varto-Üstükiran (East Anatolia) Earthquake of 19 Ağustos 1966, A Field Report, Unesco Reconnaissance, Mission to Turkey London-Prague.
- Ambraseys, N.N. ve Finkel, C. 1987, Seismicity of Turkey and neighbouring regions, 1899-1915, Annales Geophysicae, B, 701-726.
- Ambraseys, N.N. ve Melville, C. 1982, A History of Persian Earthquakes, Cambridge University Press.
- Aydın, A. ve Sapanlı, H.K. 1971, 12 Mayıs 1971 Burdur Depreminin Makroismik Etüdü, İTÜ, Maden Fakültesi, Jeoloji Bölümü Raporu (Yayınlanmamış).
- Berberian, M. 1976, Contribution to the Seismotectonics of Iran, Part II, III, Ministry of Industry and Mines, Geological and Seismotectonics Section, Report No: 39.
- Bilgin, T., Eren, S. ve Göçmen, K. 1972, 22 Mayıs 1971 Bingöl Depremi Tatbiki Jeomorfoloji Etüdü, İÜ, Edebiyat Fakültesi Yayımları, No: 1722.
- Blumenthal, M. 1945, Ladik deprem hattı (Samsun ili), Maden Tetkik ve Arama Mecmuası 1, 153-162.
- Eriç, S., Bener, M., Sungur, K. ve Göçmen, K. 1971, 12 Mayıs 1971 Burdur Depremi, Tatbiki Jeomorfoloji Enstitüsü Yayınları, No: 1707, İstanbul.
- Ergin, K., Güçlü, U. ve Uz, Z. 1967, Türkiye ve Çivaranın Deprem Kataloğu, Milattan sonra 11-1964, İTÜ Maden Fakültesi Arz Fiziği Enstitüsü Yayınları, No: 24.
- Ergin, K., Güçlü, U., Aksay, G. 1971, Türkiye ve Dolaylarının Deprem Kataloğu, 1965-1970, İTÜ Maden Fakültesi Arz Fiziği Enstitüsü Yayınları, No: 28.
- Güçlü, U. 1981, Sinop Nükleer Enerji Santraline 50 km'ye Kadar Uzaklıktaki Çevresinde Tarihsel Deprem Araştırması ve Makroismik Çalışma (Yayınlanmamış rapor).
- Güçlü, U. ve Uz, Z. 1966, 6-7 Mart 1966 Varto Depremine Ait ilk Rapor, İTÜ Maden Fakültesi, Arz Fiziği Enstitüsü Arşivi (Yayınlanmamış rapor).
- Güçlü, U., Altınbaş, G. ve Eyidoğan, H. 1986, Türkiye ve çevresi deprem kataloğu (1971-1975), İTÜ YBYK UYG-AR Merkezi, Sismoloji ve Sismotektonik Birimi, Yayın No: 30: 191.
- İbrahim, H. ve Pamir, H.N. 1929, 30/31 Mart 1928 Tarihindeki Tepeköy-Torbali (İzmir) Zelzelesi, Darülfünun Jeoloji Enstitüsü Neşriyatı, No: 1.
- Ipek, M., Uz, Z. ve Güçlü, U. 1965, Sismolojik Dönemlere Göre Türkiye'de Deprem Bölgeleri, Deprem Yönetmeliği Toplantısına Sunulan Rapor, 22 Mart 1965, Ankara.
- Ketin, İ. 1961, Umumi Jeoloji, Kısım, I, Arz Kabuğunun İç Olayları, 2. Baskı, İTÜ Kütüphanesi 360.
- Ketin, İ. 1983, Türkiye Jeolojisine Genel Bir Bakış, İTÜ Vakfı Yayınları 32, 536 s.
- Ketin, İ. ve Roesli, T. 1953, Makroismische Untersuchungen über das Northwest Anatolische Beben von 18 Mart 1953, Basel, Eclogae Geolog. Helv. 46, 187-208.
- Ketin, İ. ve Abdülselamoğlu, Ş. 1966, 19 Ağustos 1966 Varto Depreminin Makroismik İncelemesi Hakkında Rapor, İTÜ YBYK UYG-AR Merkezi Sismoloji ve Sismotektonik Alt Birimi Arşivi (Yayınlanmamış rapor).
- Ketin, İ. ve Abdülselamoğlu, Ş. 1929, 23 Mart 1969 Demirci ve 28 Mart 1969 Alaşehir-Sarıgöl depremleri hakkında makroismik gözlemler, Maden Mecmuası 24, 21-26.
- Ketin, İ. ve Abdülselamoğlu, Ş. 1970, Bartın depreminin etkileri, Türkiye Jeoloji Kurumu Bülteni 12, 66-76.
- Ketin, İ. ve Abdülselamoğlu, Ş. 1977, Çaldırın Depremi ve Çaldırın Fayı Hakkında Kısa Bir Açıklama, İTÜ Maden Fakültesi, İTÜ YBYK UYG-AR Merkezi Sismoloji ve Sismotektonik Alt Birimi Arşivi (Yayınlanmamış rapor).
- Ketin, İ. ve Abdülselamoğlu, Ş. ve Aydin, A. 1970, Gediz Depremine Ait Saha Raporu, İ. Ketin Arşivi.
- Öcal, N. 1958, 16 Temmuz 1955 Söke-Balat Zelzelesi Maarif Vekaleti, İstanbul Kandilli Rasathanesi Sismoloji yayınları, No: 2.
- Öcal, N. 1959, 26 Mayıs 1957 Abant Zelzelesi, Maarif Vekaleti, İstanbul Kandilli Rasathanesi, Sismoloji yayınları, No: 4.
- Omote, S. ve İpek, M. 1959, Köyceğiz Zelzelesi Raporu, İTÜ YBYK UYG-AR Merkezi Sismoloji ve Sismotektonik Alt Birimi Arşivi (Yayınlanmamış rapor).
- Özçíek, B. 1963, 22 Kasım 1963 Tefenni (Burdur) Zelzelesine Ait Rapor, İTÜ YBYK UYG-AR Merkezi Sismoloji ve Sismotektonik Alt Birimi Arşivi (Yayınlanmamış rapor).
- Özçíek, B. 1964, 18 Eylül 1963 Doğu Marmara Zelzelesinin Etüdü, İTÜ YBYK UYG-AR Merkezi Sismoloji ve Sismotektonik Alt Birimi Arşivi (Yayınlanmamış rapor).
- Özgül, N., Seymen, İ. ve Arpat, E. 1983, 30 Ekim 1983 Narman-Horasan depreminin makroismik ve tektonik özelilikleri, Yeryuvarı ve İnsan 8, 21-25.

- Pamir, H.N. 1948, Dinamik Jeoloji, Cilt II, İstanbul Üniversitesi Yayımları 348, 404 s.
- Parejas, E. ve Pamir, H.N. 1939, 19.04.1938 Orta Anadolu Yer Depremi, İst. Üni. Fen Fak. Mec. IV.
- Pınar, N. ve Lahn, E. 1952, Türkiye Depremleri İzahlı Kataloğu, Bayındırlık Bakanlığı, Yapı ve İmar İşleri Reisiği, Ankara, 36, No: 6.
- Roesli, F., 1953, Gönen-Yenice'de Vukua Gelen 18/3/53 ve Edirne'de 18/6/53 Tarihindeki İki Yer Sarsıntısı Hakkında Rapor, İTÜ Sismoloji Enstitüsü (Yayınlanmamış rapor).
- Roesli, F. ve Erguvanlı, K. 1952, Remarks on the Earthquake of the January 1952 at Hasankale, East of Erzurum, TJK Toplantısı.
- Roesli, F. ve Erguvanlı, K. 1955, Söke-Balat Depremine Ait Rapor, İTÜ Sismoloji Enstitüsü (Yayınlanmamış).
- Salomon-Calvi, W. ve Kleinsorge, H. 1940, Das Erdbeben von Kırşehir vom 19 April 1938 und Geologische Vorhænge etc., Maden Tektik Arama Enst., seri B-5, 5-28.
- Seymen, I. ve Aydin, A. 1972, The Bingöl Earthquake Fault and its relation to the North Anatolian Fault Zone, Bull. Miner. Res. Explor. Inst. Turkey, No. 79, 1-8.
- Seymen, I. ve Güçlü, U. 1975, 27 Mart 1975 Gelibolu-Saroz Depreminin Izoseist Haritası, İTÜ Maden Fakültesi, Arz Fiziği Enstitüsü (Yayınlanmamış).
- Soysal, H., Sipahioğlu, S., Kolçak, D. ve Altınok, Y. 1981, Türkiye ve Çevresinin Tarihsel Deprem Kataloğu (MÖ 2100-MS 1900), TÜBİTAK, Proje No: TBGA-341.
- Tezcan, S., İpek, M. ve Altınok, E. 1971, Burdur ve Bingöl Depremleri, İnşaat Mühendisleri Odası, İstanbul şubesı, No: 6, İstanbul.
- Uz, Z. 1969, 22 Temmuz 1967 Adapazarı Depreminin Art Sarsıntı Özellikleri, İTÜ Sismoloji Enstitüsü (Yayınlanmamış rapor).
- TC İmar ve İskan Bakanlığı. 1963, Türkiye Deprem Bölgeleri Haritası.
- TC İmar ve İskan Bakanlığı. 1972, Türkiye Deprem Bölgeleri Haritası.
- TC Bayındırlık ve İskan Bakanlığı. 1976, 6 Eylül 1975 Lice Depremi Raporu, Bayındırlık ve İskan Bakanlığı, Deprem Araştırma Dairesi, Ankara.

BİR JEOFİZİK YÖNTEM: GAMA-İŞINI SPEKTROMETRESİ

A Geophysical Method: Gamma-Ray Spectrometry

İbrahim AYDIN*

ÖZET

Bir jeofizik yöntem olan gama-ışını spektrometresi, genellikle uranyum aramalarında, jeoloji haritalarda ayrıntıların ortaya çıkarılmasında ve metalik, kıymetli ve stratejik mineral aramalarında uygulanmaktadır. Ayrıca, çevre amaçlı olmak üzere, doğal ve yapay radyoaktivite kirliliğinin izlenmesi ve belirlenmesinde de kullanılmaktadır.

Gama-ışını spektrometresi Türkiye'de Orta Anadolu'da havadan uranyum aramaları için başarıyla uygulanmıştır.

ABSTRACT

A geophysical method of gamma-ray spectrometry is generally applied for uranium exploration, detailing the geological maps and exploration of metallic, precious and strategic minerals. It is also used in environmental studies to monitor and to determine the natural and industrial radioactive pollution.

Aircraft gamma-ray spectrometry survey has been carried out successfully for uranium exploration in Central Anatolia in Turkey.

GİRİŞ

Bazı elementlerin, dolayısıyla mineral ve kayaçların bir fiziksel özelliği olan radyoaktivite, en yalan tanımyla, bir elementin atom yapısının değişimi şeklinde tanımlanabilir.

Radyoaktif elementlerden potasyum (K-40), Uranium (U-235 ve U-238) ve Toryum (Th-234) ile bunların izotopları doğada en bol bulunan radyoaktif elementlerdir. Doğal radyoaktif elementler denilen K-40, U-235, U-238 ve Th-232, zaman içinde kendiliğinden bölünüp parçalanaarak dönüşüme uğrarlar ve kendi izotoplarını oluştururlar.

Radyoaktivitenin keşfi, önce 1895 yılında Röntgen, 1896 yılında ise Röntgen'den habersiz araştırma yapan Becquerel tarafından gerçekleştirilmiştir. Radyoaktivitenin keşfini bir çok radyoaktif element ve izotoplarının keşfi izlemiş, buna paralel olarak da radyoaktivite ölçmeye yaranan aletlerin yapımında büyük gelişmeler görülmüştür.

Doğal kaynakların aranması veya benzeri araştırmalar için yerküredeki mineral ve kayaçların radyoaktivite özelliğinden yararlanmasına dayanan jeofizik yönteme radyometrik yöntem denir. Gama-ışını spektrometresi ise radyometrik yöntemin özel bir uygulama şeklidir.

Radyoaktivite ölçmelerden jeofizikte yararlanılması 1920 lerin ilk yıllarda başlamıştır. 1930 lu yıllara ge-

lindiğinde, Geiger-Müller cihazlarının petrol kuyularında log almada kullanıldığını görüyoruz. Daha sonra, radyoaktif elementlerden yayılan gama-ışınlarının uzak mesafelere gidebilmesi ve bazı kristalén maddelerde ışma (fosforsans-sintilasyon) oluşturması özelliğine dayanan sintilometreler yapılmıştır. Sintilometreler genel jeoloji ve radyoaktif mineral aramalarında uzun yıllar kullanılmışlar, 1960 li yılların ortalarından başlayarak yerlerini spektrometrelerle bırakmışlardır (Telford et. al. 1976, IAEA 1979).

Türkiye'de 1960 yılına kadar olan radyoaktif mineral aramalarında Geiger Müller cihazları ve elde taşınabilir küçük sintilometreler kullanılmıştır. 1960 ve 1961 yıllarında Canadian Aero Service isimli şirket, MTA adına yaptığı havadan etütlerde manyetometre ile birlikte bir de sintilometre kullanmıştır (Hutchison ve diğ. 1962). 1962-1968 ve 1973-1975 yılları arasında bir çok küçük saha üzerinde uçularak gerçekleştirilen havadan radyometrik etütlerde MTA kendi uçak, sintilometre ve personelini kullanmıştır. Türkiye'deki ilk gama-ışını spektrometrik etüt ise, 1983 yılında ve Yozgat civarında 2000 km² lik bir alanda helikopterle uçularak gerçekleştirilmiştir (Wallin 1984). Daha sonraki gama-ışını spektrometri etütleri, yine MTA tarafından 1987 ve 1988 yıllarında Kayseri-Yozgat-Nevşehir civarında 25500 km² lik bir alanda yapılmıştır (Aydin 1990).

Bu yazı ile, gama-ışını spektrometresini öz olarak, Türkiye'deki bazı uygulamalardan örnekler vererek tanıtım amaçlanmıştır.

* MTA Genel Müdürlüğü, Jeofizik Dairesi, 06520 Ankara.

RADYOAKTİVİTE

Bir atomun yapısı incelendiğinde, ortada pozitif yüklü bir çekirdek ve yörüngesinde negatif yüklü elektronlar görülür. Çekirdek ise küteleri olan pozitif yüklü protonlar ile yüksüz nötronlardan oluşur. Bazı elementlerin çekirdeklereindeki proton ve nötron sayıları farklı olsa da atom numaraları aynıdır ve periyod cetvelinde aynı yerde dirler. Bu elementlere izotop denir. Bunların atomlarındaki proton ve nötron sayılarının farklı olması, atomik kütelerinin de farklı olmasına neden olur.

Doğada bulunan radyoaktif elementler durağan veya durağan olmayan izotoplara dönüşürlerken alfa, beta ve gama gibi parçacık veya ışınlar yayarlar. Bu parçacıklar veya ışınlar bazı önemli fiziksel özellikler gösterirler. Binalar; normal ışık veya X ışınları gibi fotoğraf filminin hassas yüzeyini etkiler, gazları iyonize edip iletken hale getirirler, bazı kristalén madde veya kimyasal bileşiklerde ışına olayı (fosforesans-sintilasyon) oluştururlar.

Alfa, beta ve gama parçacık veya ışınlarının bu özellikleri, yerbilimin değişik disiplinlerinde değişik amaçlar için kullanılmaktadır. Alfa parçacıkları, küteleri ve pozitif yükleri olan helyum çekirdekləridir. Yayınlam güçleri çok zayıftır. Beta parçacıkları, küteleri ve negatif yükleri olan elektronlardır. Yayınlam uzaklıkları alfa parçacıklarına göre biraz daha fazla olup, havada ancak 1-2 metredir. Gamma ışınları, yükleri ve küteleri yoktur. Bu nedenle bir kütlesi olan alfa ve beta için parçacık terimi kullanılırken, gama için ışın terimi kullanılır. Yüksüz ve kütlesiz oluşları nedeniyle havada yaklaşık 500 metreye kadar yayılabilirler. Yarım metre kalınlığındaki bir topraktan geçemeyenler, manjekik alanlardan etkilenmezler. Gama-ışını spektrometresinin ana unsurudurlar. Elektromanyetik radyasyonun yüksek enerjili bir türüdürler ve elektromanyetik tayfda, sınırları kesin olmasada X ışınları ile kozmik ışınlar arasındaki bir frekans bandında yer alırlar (Şekil 1).

Gama-ışınları yayınırken karşılaşıp çarpışıkları maddelerle karşılık etkileşime girerler (Telford et. al. 1976). Bu etkileşim ile ortaya çıkan fiziksel olayların en önemlileri fotoelektrik olay, Compton saçılma olayı, elektron çifti olaylarıdır. Binalardan fotoelektrik olay, gama-ışını spektrometresinde gama-ışının ölçmesi için mutlaka olması gereken bir olaydır. Compton olayı belirli bir enerji olan gama-ışının yayınırken yolu üzerindeki bir parçacık ile çarpışması ve enerjisini bir kısmını yitirerek daha düşük bir enerji ile yoluna devam etmesi olayıdır. Elektron çifti olayı ise diğerlerine göre daha az önemli bir olaydır.

DOĞAL RADYOAKTİF ELEMENTLER VE ÖZELLİKLERİ

Yerkürede doğal olarak ve bol miktarda bulunan K-

40, U-238 ve Th-232 radyoaktif elementleri ve bunların her izotopu gama-ışını yayarlar. Bu elementlerin durağan izotopuna ulaşma süreci içinde ortaya çıkan diğer izotoplari Çizelge 1, 2 ve 3 de gösterilmiştir. Çizelgelerde izotoplari yarı ömrleri, yaydığı parçacık veya ışın ile gama-ışını spektromunda doruk vererek kendini gösterdiği enerji düzeyleri de yer almaktadır. Diğer taraftan % 2 lik potasyum, 100 ppm lik uranyum ve 1000 ppm lik toryum elementlerinin 0-3.0 MeV arasındaki gama-ışını enerji spektromunda gösterdiği belli başlı doruklar ve bu dorukların en yüksek olduğu enerji düzeyleri Şekil 2 de gösterilmiştir. Yukarıda adı geçen MeV ifadesi gama-ışını spektrometride gama ışınlarının enerjilerini tanımlar ve Mega Elektron Volt birimi ile ölçülür ve 1 000 000 elektron volta (ev) eşittir. Birim yükü bir parçacığın bir voltluq bir gerilim farkı ile harekete geçirilerek kazandığı enerjiye bir elektron volt denir.

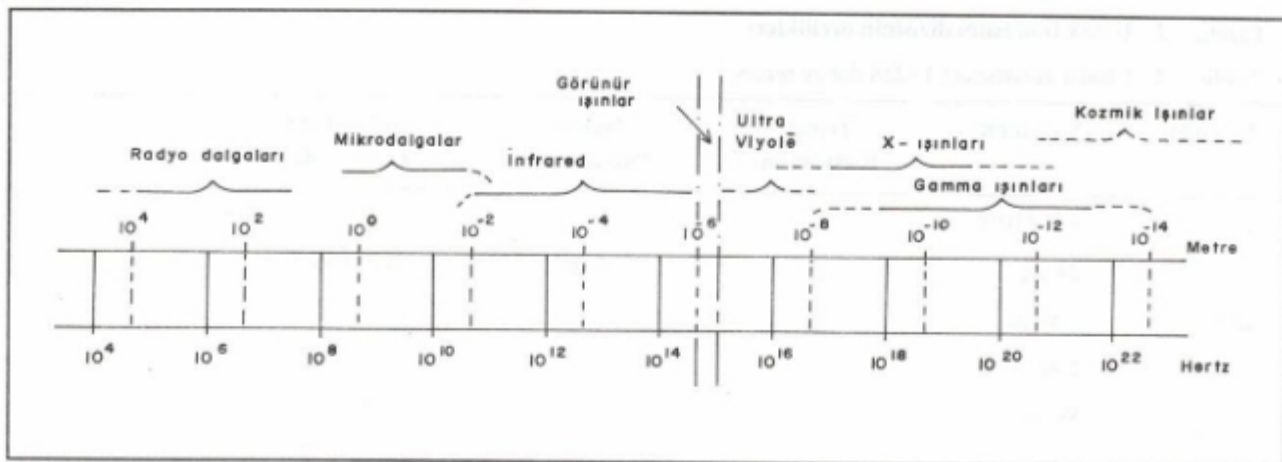
Bazı elementlerin radyoaktif özellikleri izleyen şekilde özetlenebilir. Potasyumun radyoaktif izotopu olan K-40, tüm potasyumun % 0.0118 i kadardır. K-40 in yarı ömrü, yani ilk oluşum miktarının yarısının bir başka izotopa dönüşmesi için geçen süre 1.3 milyar yıldır. K-40 in % 89 u beta parçacıkları yayınlayarak durağan Ca40 a dönüşürken, kalan % 11 i ise gama-ışınları yayınlayarak bir başka durağan izotop olan Ar-40 a dönüşür. K-40 orijinali gama-ışınlarının 1.4608 MeV luk enerjisi bulunmaktadır (Çizelge 1 ve Şekil 2). Gama-ışını spektrometrelerin potasyum penceresi 1.36 MeV ile 1.56 MeV arasındaki enerji düzeylerindeki gama ışınlarını algılamak üzere düzenlenmiştir.

Uranyumun iki doğal izotopu bulunmaktadır. Binalar U-235 ve U-238 olup, binalardan U-238 doğada daha çok (% 99.73) bulunur. U-235 in ve izotoplarnın gama-ışınlarının enerjileri 0.89 MeV nin altındadır. Çizelge 2 de görüldüğü gibi, U-238 in kendisi gama-ışını yayar, buna karşın iki değişik izotopu Pb-214 ve Bi-214 ün gama-ışını enerji düzeyleri yüksektir. Binaların dışındaki U-238 izotoplari gama-ışını yayarlar. Bi-214 ün en belirgin doruk verdiği enerji düzeyi 1.76 MeV dur. Doruk verdiği diğer enerji düzeylerinde K-40 ve Th-232 de doruk oluşturmaktadır (Şekil 2). Bu yüzden, U-238 aramalarında spektrometrelerin uranyum penceresi, sadece K-40 ve Th-232 izotoplardan gelen gama-ışınlarının girmediği ve 1.66 MeV ile 1.86 MeV arasındaki enerji düzeyi gama-ışınlarını algılamak üzere düzenlenirler.

Toryumun doğal izotopu Th-232 dir ve en belirgin ve şiddetli doruk verdiği enerji seviyesi 2.62 MeV dur. Bu doruk toryumun Tl-208 (Talum) izotopu tarafından yaratılır (Çizelge 3 ve Şekil 2). Toryum minerali aramalarında spektrometrelerin toryum penceresi 2.42 MeV ile 2.82 MeV arasındaki enerji düzeyli gama-ışınlarını yakalamak üzere düzenlenirler.

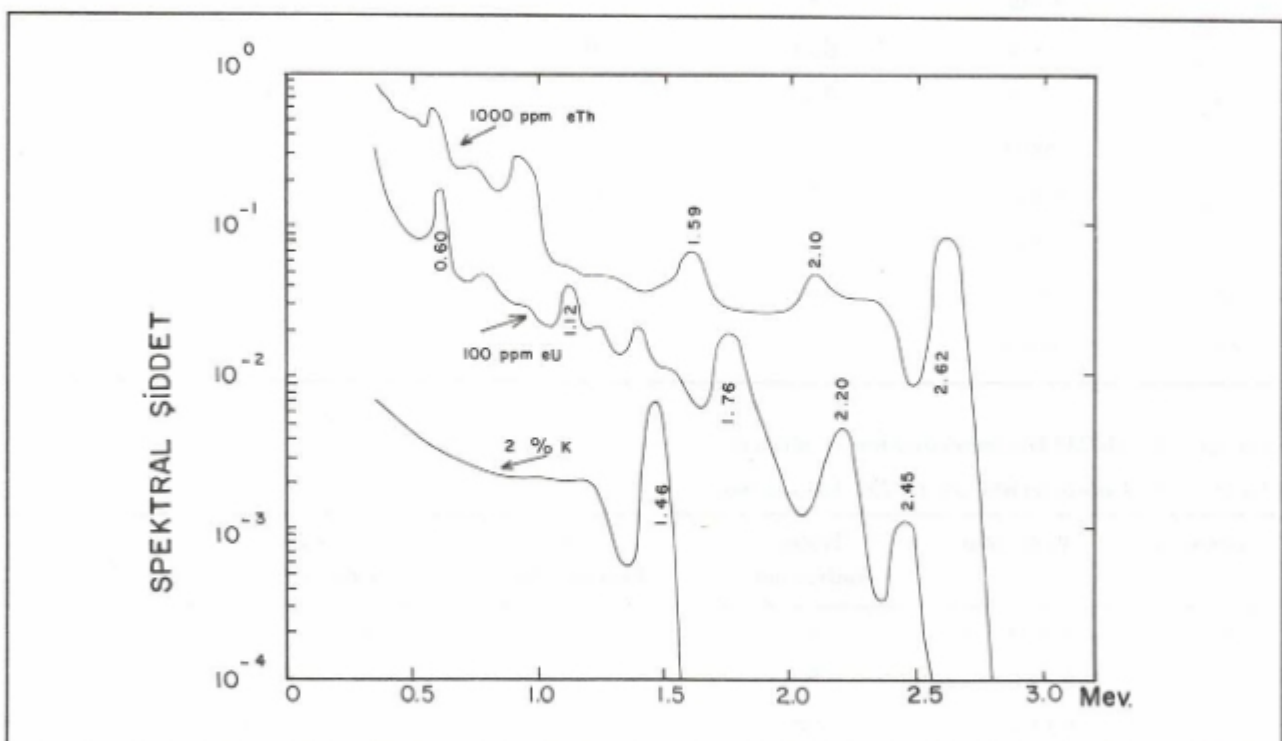
İZOTOP DENGESİ

Kapalı bir izotopik dönüşüm sisteminde, bir izotopun



Şekil 1. Göreleli frekans bandlarını gösteren elektromanyetik spektrum.

Fig. 1. The electromagnetic spectrum showing relative frequency bands



Şekil 2. Potasyum, Uranyum ve Toryumun yer seviyesinde ve 76 mm x 76 mm boyutlu bir NaI kristalle elde edilen gama-ışını Spekturumu (IAEA 1976).

Fig. 2. Thorium, Uranium and Potassium gamma-ray spectra obtained at ground level with a 76 mm x 76 mm NaI scintillator.

Çizelge 1. K-40 Elementinin dönüşüm özellikleri.

Table 1. Characteristics of K-40 decay scheme.

| Değişim Dizisi | Yarı ömrü | Radyasyon | Gama/Parçalanma | Gama-Işını Enerji (MeV) |
|-----------------------------|---------------------|----------------------|-----------------|-------------------------|
| $^{40}_{\text{K}}$ | 1.3×10^9 y | $\beta, \beta\gamma$ | 0.11 | 1.4608 |
| (89%), $^{40}_{\text{Ca+}}$ | Duraylı | | | |
| (11%), $^{40}_{\text{Ar+}}$ | Duraylı | | | |

Çizelge 2. U-238 Dönüşüm dizisinin özellikleri.

Table 2. Characteristics of U-238 decay series.

| İzotoplar | Yarı ömür | Temel Radyasyon | Gama/Parçalanma | Gama-Işını Enerji (MeV) |
|----------------------|--------------------------------|-----------------|-----------------|--------------------------|
| $^{238}_{\text{U}}$ | $4.51 \times 10^9 \text{ y}$ | ∞ | - | 0.05 |
| $^{234}_{\text{Th}}$ | 24.1 g | β | 0.08 | 0.03,0.06,0.09 |
| $^{234}_{\text{Pa}}$ | 1.18 dk | β | - | |
| $^{234}_{\text{U}}$ | $2.48 \times 10^5 \text{ y}$ | ∞ | - | 0.053 |
| $^{230}_{\text{Th}}$ | $8 \times 10^4 \text{ y}$ | ∞ | - | 0.07 |
| $^{226}_{\text{Ra}}$ | $1.600 \times 10^3 \text{ y}$ | ∞ | 0.04 | 0.186 |
| $^{222}_{\text{Rn}}$ | 3.82 g | ∞ | - | |
| $^{218}_{\text{Po}}$ | 3.05 dk | ∞ | - | |
| $^{214}_{\text{Pb}}$ | 26.8 dk | β, γ | 0.6 | 0.05,0.24,0.29,0.35 |
| $^{214}_{\text{Bi}}$ | 19.8 dk | β, γ | 1.3 | 0.61,1.12,1.76,2.20,2.44 |
| $^{214}_{\text{Po}}$ | $1.6 \times 10^{-4} \text{ s}$ | ∞ | - | |
| $^{210}_{\text{Pb}}$ | 21.3 y | β | 0.04 | 0.047 |
| $^{210}_{\text{Bi}}$ | 5.01 g | β | - | |
| $^{210}_{\text{Po}}$ | 138.4 g | ∞ | - | |
| $^{206}_{\text{Pb}}$ | Duraylı | - | - | |

Çizelge 3. Th-232 Dönüşüm dizisinin özellikleri.

Table 3. Characteristics of Th-232 decay series.

| İzotoplar | Yarı-ömür | Temel Radyasyon | Gama/Parçalanma | Gama-Işını Enerji (MeV) |
|---------------------------|---------------------------------|-----------------|-----------------|---|
| $^{232}_{\text{Th}}$ | $1.39 \times 10^{10} \text{ y}$ | ∞ | - | 0.06 |
| $^{228}_{\text{Ra}}$ | 5.75 y | β | - | 0.01 |
| $^{228}_{\text{Ac}}$ | 6.13 sa | β, γ | 0.68 | 0.06,0.13,0.21,0.27,0.33,0.34,0.91,0.96 |
| $^{228}_{\text{Th}}$ | 1.91 y | ∞ | 0.02 | 0.084 |
| $^{224}_{\text{Ra}}$ | 3.64 g | ∞ | 0.04 | 0.024 |
| $^{220}_{\text{Rn}}$ | 55.3 s | ∞ | - | |
| $^{216}_{\text{Po}}$ | 0.15 s | ∞ | - | |
| $^{212}_{\text{Pb}}$ | 10.64 sa. | β, γ | 0.52 | 0.12,0.24,0.30 |
| $^{212}_{\text{Bi}}$ | 60.6 dk | β, γ | 0.12 | 0.04,0.73,0.78,1.62 |
| $^{214}_{\text{Po(64%)}}$ | $3 \times 10^{-7} \text{ s}$ | ∞ | | |
| $^{208}_{\text{Ti(36%)}}$ | 3.1 dk | β, γ | 2.3 | 0.28,0.51,0.58,0.76,0.86,2.62 |
| $^{208}_{\text{Pb}}$ | Duraylı | - | - | |

bir saniyede bölünen (parçalanan) atom sayısı, bir önceki izotopun bölünmesiyle oluşan atom sayısı kadardır. Bu nedenle, kuramsal olarak bir izotopun ölçülmesi ile bir önceki izotopun yani ana elementin miktarı belirlenebilir.

Gama-işını spektrometrik ölçmelerde, Bi-214 den yayınlan 1.76 MeV enerjili ve Tl-208 den yayınlan 2.62 MeV enerjili gama radyasyonu ölçülmektedir. İzotopik denge kuramına göre bu ölçmelerden uranyum ve toryum miktarlarının hesaplanması gidilmektedir. Bulunan miktarların her zaman doğru olduğu söylenemez. Çünkü doğada bulunan uranyum ve toryum izotoplari, uzun dönüşüm süreci içinde ortaya çıkan jeolojik ve çevresel şartlar (rüzgar, yeraltı ve yerüstü su hareketleri v.b.) ile kendilerinin mineralojik ve kimyasal özellikleri (kolay çözünme, kolay soğrulma v.b) yüzünden her zaman ilk konum ve miktarlarını koruyamazlar. Yukarıda anlatıldığı gibi, izotop denge-sinin korunduguuna ilişkin kesin kanıtlar yoksa, Bi-214 ve Tl-208 in gama radyasyonlarından bulunan uranyum ve toryum ifadelerinin başına eşdeğer (equivalent) sözcüğünü belirlemek üzere e harfi konur. Örneğin; (...) ppm eU veya (...) ppm eTh.

GAMA-IŞINI SPEKTROMETRESİ

Radyometrik ölçme aletlerinin en eskisi iyon odacılığı adı verilen aletler olup, halen nadiren de olsa kuyu ölçmelerinde nötron logu almada kullanılmaktadır. Bu aletin çalışması alfa, beta ve gama-işinlerinin gazları iyonize etme esasına dayanır.

İkinci kuşak radyometrik etüt aletleri olarak bilinen ve çok uzun yıllar kullanılan aletler Geiger-Müller sayaçlardır. Çalışma esası iyon odası aletine benzeyen, öncelikle beta parçacıklarına duyarlı olan bu sayaçlar ilk kullanıma 1920 li yıllarda çıkmıştır. 1940 li yılların başında sintilometreler jeolojik amaçlarla kullanılmaya başlanmıştır. Sintilometrelerin çalışma prensibi, gama işinlerinin bazı kristalten madde veya kimyasal bileşiklerde oluşturduğu ışma olayına dayanır. 1940 yılların sonlarında uçaklara yerleştirilerek havadan radyometrik etütlerde kullanılmıştır. Sintilometreler, gama işinlerinin çarpıp ışma oluşturduğu bir kristal, bu kristale bitişik ve ışımıyı şiddetlendirerek elektrik sinyallerine dönüştürmeye yarayan bir tüp (PMT) ve genellikle 0.5-2.8 MeV enerjili gama-işinlerinin oluşturduğu tüm elektrik sinyallerini sayan bir sayaçtan oluşur (Şekil 3).

Belli bir zaman aralığında (genellikle bir saniye) sağlanan sinyal sayısı bir kayıtcı yardımı ile kaydedilir. Kristalle gelen gama-işının enerjisi PMT den çıkan elektrik sinyalinin şiddetine eşdeğerdır.

Gama-işını spektrometrelerin çalışma prensibi, sintilometrelerin çalışma prensibinin aynıdır. Tek fark, spektrometrelerin değişik enerji şiddetli elektrik sinyallerini, belli enerji seviyeli kanallardan veya alt-üst enerji limitleri belli pencerelerden geçen çözümleyicilerinin bulunmasıdır (Şekil 4).

Genellikle dört pencereli spektrometreler standart

Çizelge 4. Dört pencereli bir spektrometrenin pencere enerji düzeyleri.

Table 4. Energy limits of four windows spectrometer.

| Pencere | Enerji Düzeyleri | | |
|------------------------|------------------|---|------|
| Toplam Sayım Penceresi | 0.4 | - | 3.00 |
| Potasum Penceresi | 1.36 | - | 1.56 |
| Uranyum Penceresi | 1.66 | - | 1.86 |
| Toryum Penceresi | 2.42 | - | 2.82 |

spektrometrelerdir ve bu pencerelerin isimleri ve yaklaşık alt ve üst enerji seviyeleri Çizelge 4 de verilmektedir (IAEA 1991).

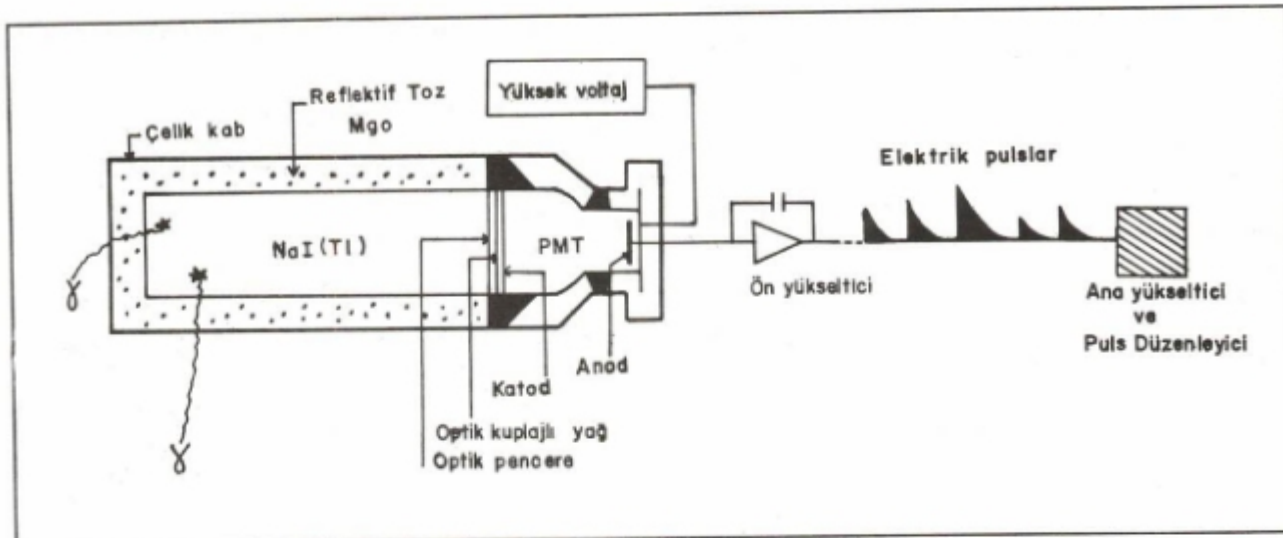
Gama-işinlerinin 0.0-3.0 MeV enerji bandı, 256 eşit aralığı bölünerek 256 kanallı spektrometreler yapılmıştır. Her kanalın yaklaşık 12 KeV luk bir enerji aralığı bulunmaktadır ve bu tür spektrometreler doğal ve yapay izotopların arama ve araştırmasında başarıyla kullanılabilir (Grasty et. al. 1985).

Spektrometrelerin kristalleri genellikle talyum katkılı NaI den yapılmıştır. NaI kristalli spektrometrelerin etkinliği ve ayırmılılığı yüksek, spektrum kayması (drift) ile maliyetleri düşüktür. Spektrum kaymasını önlemek için kristaller etüt mevsimi süresince sabit ısıda tutulmalıdır. Etkinliği, ayırmılığı ve maliyetleri daha yüksek olan spektrometrelerin kristalleri talyum katkılı CsI veya lityum katkılı germaniyumdan yapılmışlardır.

Bazı gama-işını spektrometre etütlerinde, alt bölümne kurşun bir levha konulan küçük hacimli ek bir kristal daha kullanılır ve bu kristale gelen gama ışınması sayımları da ayrıca kaydedilir. Yerden gelen gama-işinlerin kurşun levha yardımıyla engellendiği bu kristalin kayıtları, havadaki radon gazının ana kristale etkisinin belirlenip yok edilmesinde kullanılır. Herhangi bir radyoaktif elementten yayınlanan gama-işını sayısı, her birim zaman aralığında ve her yönde eşit değildir.

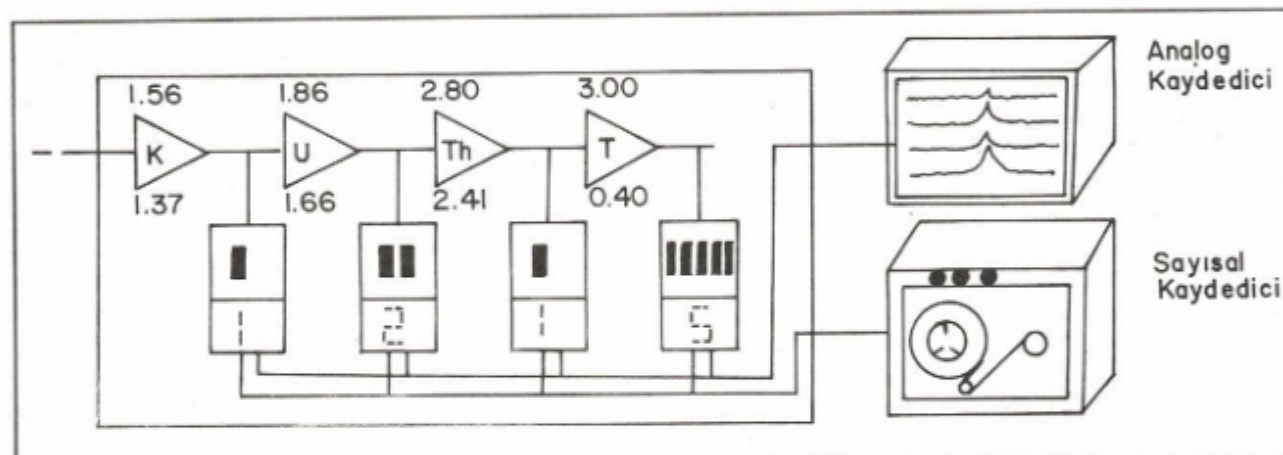
UYGULAMA ALANLARI VE TÜRKİYE'DEN ÖRNEKLER

Gama-işını spektrometre etütleri sonunda potasyum konsantrasyonunu % olarak, uranyum ve toryum konsantrasyonlarını ise ppm cinsinden gösteren haritalar hazırlanır. Ayrıca mikroröntgen/saat cinsinden yerin radyasyon dozunu gösteren haritalar hazırlanır (Şekil 5). Etütlerde 0.2-3.0 MeV enerji aralığı ve 256 kanallı spektrometre kullanılması halinde, yerin yapay radyoizotop dağılım haritaları da hazırlanabilir. K, U, Th konsantrasyon haritaları ve yer radyoaktivite haritaları kullanılarak doğal radyoaktif elementler, bileşiminde bu element bulunan mineraller, bu minerallerle köken ve litoloji bağımlılığı olan diğer mineral ve jeolojik oluşumlar aranabilir ve araştırılabilir.



Şekil 3. Bir kristal gama-işını algılayıcısının şematik gösterimi.

Fig. 3. Schematic presentation of a crystal detector assemble.



Şekil 4. Dört kanallı bir spektrometre ve kayıtların şematik gösterimi.

Fig. 4. Schematic presentation of a 4-channel spectrometer and recorders.

Gama-işını spektrometre ölçümlerinin uygulama alanları, radyoaktif mineral aramaları, jeolojik haritalama çalışmaları, kömür, petrol ve doğalgaz aramaları, metalik mineral aramaları, altın, ağır mineral ve stratejik mineral aramaları, endüstriyel hammadde aramaları, doğal ve yapay radyoizotopların neden olduğu çevre kirliliğinin araştırılması ve diğer bazı uygulamalar olarak sıralanabilir.

RADYOAKTİF MİNERAL ARAMALARI

Gama-işını spektrometri, yerkürede doğal olarak bulunan uranyum, toryum ve potasyum gibi radyoaktif elementlerin minerallerinin aranmasında başarıyla uygulanmaktadır. Özellikle nükleer enerjinin hammaddesi olan uranyum minerallerinin aranmasında doğrudan ve tek yöntemdir. Dünyada bu yöntemle bulunmuş yüzlerce uranyum yatağı bulunmaktadır. Türkiye'deki uygulama örnekleri,

Yozgat-Şefaatli ile Nevşehir-Bekdik yörenleri uranyum alanlarıdır (Şekil 6).

JEEOLOJİK HARİTALAMA ÇALIŞMALARI

Gama-işını spektrometri ile etüt edilen sahanın potasyum, uranyum ve toryum içerikleri belirlenerek haritalanabilmektedir. Jeolojik tanımlama yapabilmek için bir formasyonun K, U ve Th içeriğinin bilinmesi bazı koşullarda çok önemli olabilmektedir (Pitkin 1968, Clark et. al. 1966). Spektrometrik etütler, özellikle geniş alanları küçük ölçekli jeoloji haritalarının ayrıntılardırılmasında büyük kolaylıklar getirmesi, her türlü jeolojik ve jeofizik bilgiye destek sağlaması ve konuya başka boyuttan bakabilme fırsatı vermesi açısından her zaman güvenle gözönüne alınmalıdır (Darnly and Grasty 1971, Potts 1976 ve Charbonneau 1988). Şekil 7 de jeoloji ve Şekil 8 de aynı yörenye ait spektrometrik etüt potasyum yüzdesi dağılım haritaları ve



Şekil 5. Radyasyon doz hızı haritası (Orta Anadolu).
Fig. 5. Exposure dose rate map (Central Anatolia).

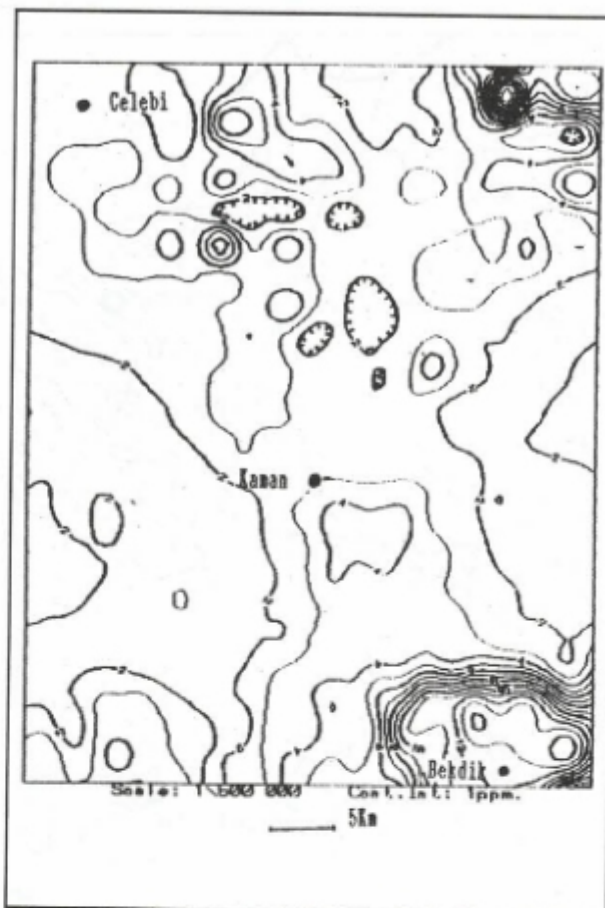
rilmüştür. Haritaların incelenmesinden granit sınırının büyük bir doğrulukla, kuzeyindeki ofiyolitlerin sınırının da kesinlikle belirlenebildiği anlaşılmaktadır.

KÖMÜR, PETROL VE DOĞALGAZ ARAMALARI

Yapılan bazı çalışmalar kömür ve petrolün iz elementler ile uranyum, toryum ve radyum gibi radyoaktif elementleri soğurarak bünyesinde tutup zenginleştiğini ortaya koymuştur. Yine yapılan bazı araştırmalar, petrolün kendi çevresinde uranyum zenginleşmesine neden olabilecek fiziksel ve kimyasal şartları oluşturduğunu ortaya koymakta ve bunu petrollü sahalardaki radyoaktivite anomalileri ile kanıtlamaya çalışmaktadır (Shidler and Hinze 1971, Armstrong and Heemstra 1972, 1973).

METALİK MİNERAL ARAMALARI

Bakır kurşun ve çinko mineralerinin içinde veya beraber bulunduğu jeolojik birimlerin K, U ve Th içeriğine bakılarak, yakın sahalardaki aynı oranda K, U ve Th içeren jeolojik birimlerin dolaylı yoldan belirlenmesine çalışılabilir. Moxham et. al. (1961), civarında bakır, kurşun ve çinko



Şekil 6. Uranyum yoğunluğu haritası (Orta Anadolu).
Fig. 6. Uranium concentration map (Central Anatolia).

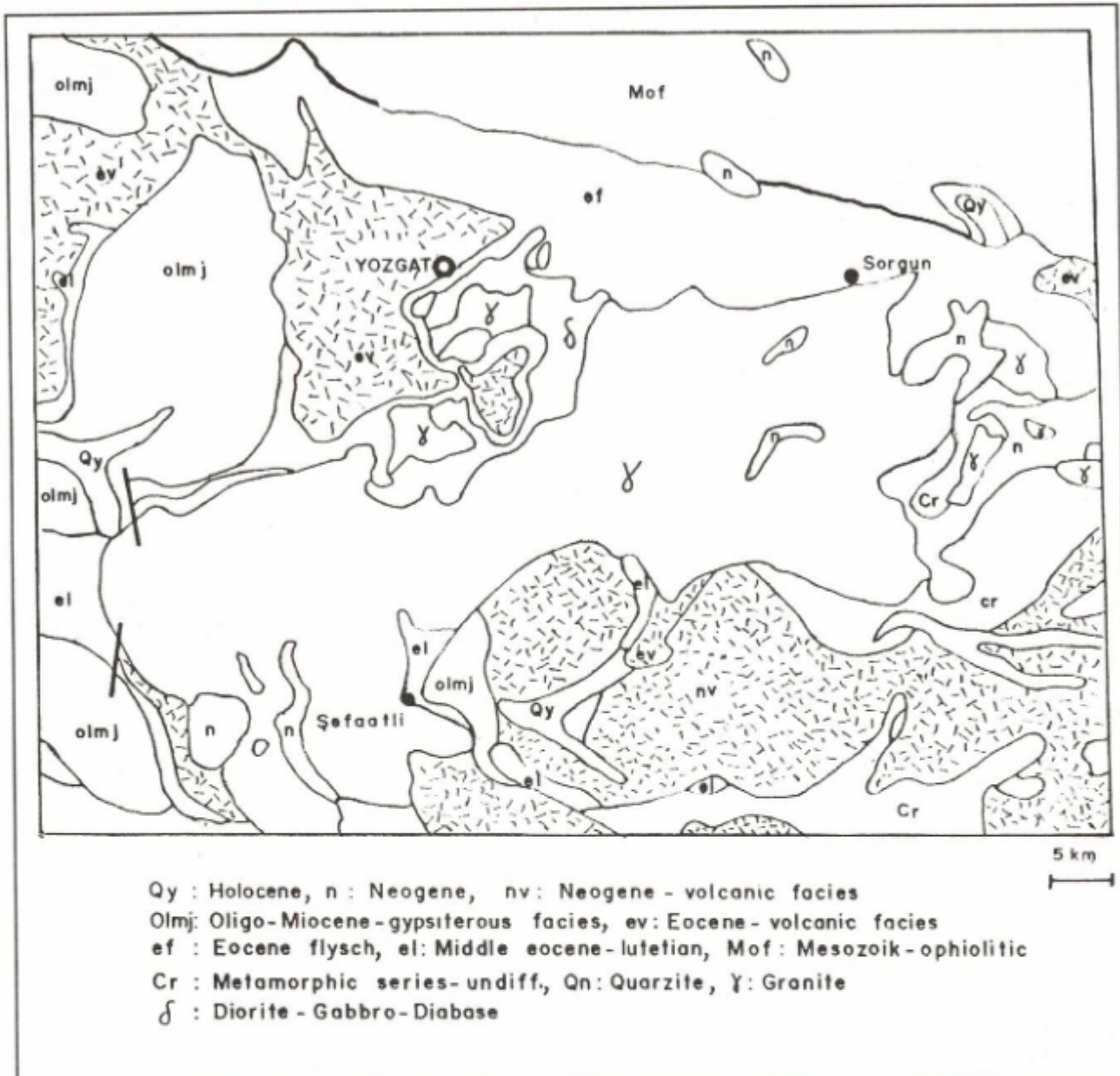
mineralizasyonu bulunan alterasyon zonlarındaki potasyum miktarının iki katına kadar çıktıgı ve spektrometrik etüdlerden elde edilen potasyum konsantrasyon haritalarına bakılarak söz konusu mineralerin dolaylı aranabilecegi göstermiştir.

Çanada, ABD ve Şili'deki bakır yatakları ile Zaire'deki kobaltlı bakır yatakları uranyumca zengin yataklardır. Balıkesir yöresindeki bakır, molibden ve wolfram içeren bazı zonlarda radyoaktivite yüksektir. Ayrıca, Nevşehir-Genezin civarındaki uranyumlu zonlarda bakır mineralizasyonunun varlığı bilinmektedir (Aydın 1990).

Bu bilgiler ışığında, gama-işimi spektrometri etütleri sonunda hazırlanacak potasyum ve uranyum konsantrasyon haritalarından yararlanılarak, dolaylı olarak metalik mineral aranabileceği söylenebilir.

ALTIN, AĞIR MİNERAL VE STRATEJİK MİNERAL ARAMALARI

Bilinen pek çok altın yatağında uranyum zenginleşmesine rastlanmakta ve bunların köken birliğinin olduğu düşünülmektedir (Gross 1952, Charboneau and Swettenham 1986).



Şekil 7. 1983 yılında yapılan spektrometre etüdü jeoloji haritası (Orta Anadolu).

Fig. 7. Geological map of spectrometry survey conducted in 1983 (Central Anatolia).

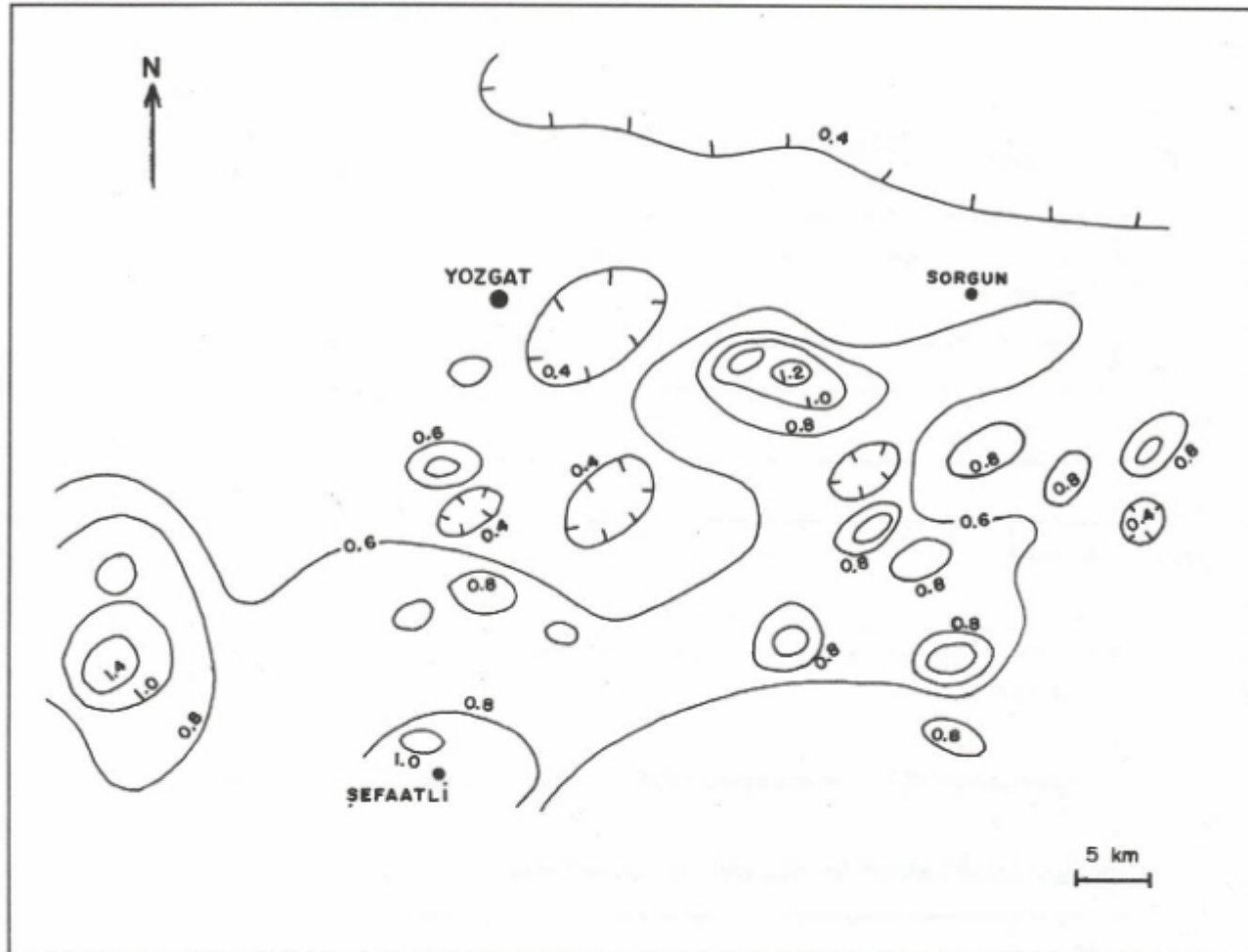
Diğer taraftan, zirkon ve monazit gibi ağır mineralerin bileşiminde toryum elementi bulunmaktadır, ayrıca, toryum konsantrasyonunun arttığı yerlerde önemli oranlarda nadir toprak elementlerine de rastlanmaktadır (IAEA 1979). Bunun Türkiye'deki en tipik örneği, Sivrihisar-Kızılıcaören yöresindeki toryum yatağıdır. Bu toryum yatağı barit ve florit ile birlikte Nd, Ce ve La gibi değerli nadir toprak elementlerini de içermektedir (Kaplan 1976).

Bilinen bazı sedimentter uranyum yataklarında selenyum, vanadyum ve molibden mineralerine sık sık rastlanmaktadır (Harshman 1974). Gama-ışını spektrometrik etüt-

lerle yukarıda değinilen element veya mineraller dolaylı olarak aranabilmektedir.

ENDÜSTRİYEL HAMMADDE ARAMALARI

Bileşiminde potasyum bulunan feldspatlar cam ve seramik sanayinin en önemli hammadeleridir. Spektrometrik etütlerle hazırlanan K konsantrasyon haritaları yardımıyla doğrudan potasyum aranabilmektedir. Fosfatlı bilesiklerin uranyumu soğurma özelliği vardır. Kanada, Fas, Suriye ve Ürdün'deki fosfat yataklarının önemli miktarlar da uranyum içeriği bilinmemektedir. Gübre sanayiinin ham-



Şekil 8. 1983 Yılında yapılan spektrometre etüdü Potasyum dağılımı haritası (Orta Anadolu).

Fig. 8. Potassium concentration map of spectrometry survey conducted in 1983 (Central Anatolia).

maddesi olan fosfatların dolaylı olarak spektrometre ile aranması olanaklıdır.

DOĞAL VE YAPAY RADYOİZOTOPLARIN NEDEN OLDUĞU ÇEVRE KİRLİLİĞİNİN ARAŞTIRILMASI

Gama-işını spektrometri, nükleer tesislerin çevrelere ne etkilerinin belirlenmesi veya izlenmesinde (Brasch and Beers 1971), nükleer başlık füzelerin düşüğü yerlerin belirlenmesinde ve nükleer reaktör kazalarında ortaya çıkan izotopların nerelerde ve ne yoğunlukta çevre kirliliği yaratığının belirlenmesinde (Grasty and Multala 1991) başarıyla kullanilan bir yöntemdir.

Çizelge 2 de görüldüğü gibi radon gazı uranyum-238 in doğal bir izotopudur. Yine Çizelge 2 incelendiğinde radonun çok kısa zamanda Po-218 ve Pb 214'e dönüştüğü anlaşılmaktadır. Radon gazının nefesle ciğerlere çekilmesi ve cigerlerdeki radonun da Po-218 ve Pb-214 parçacıklarını dönüşmesi ve bu parçacıkların da ciğerlere yapışmasıyla insan sağlığı için çok önemli bir tehlile ortaya çıkmaktadır (Kerr 1988).

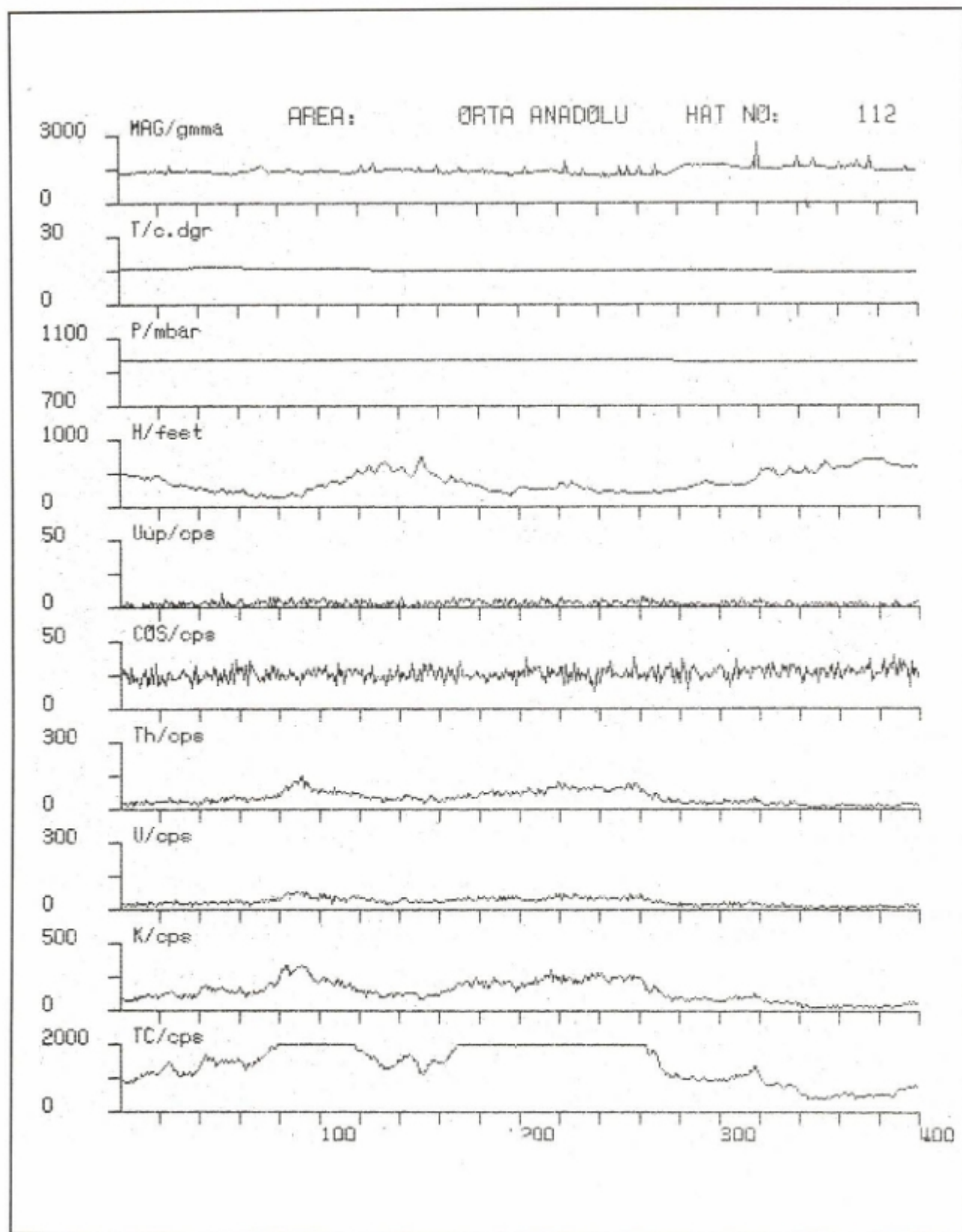
İnsan sağlığı için bu oranda tehlikeli olabilen radon gazı yeryüzünden çıkararak atmosfere yayılmaktadır. Radon gazı potansiyeli olan dolayısıyla insan sağlığı için tehlile oluşturabilecek yerlerin belirlenmesinde gama-işını spektrometri etütlerinden yararlanmak olanaklıdır (Grasty 1988).

DİĞER UYGULAMALAR

Gama-işını spektrometri, radyoaktif element kontrasyonlarının yeryüzünde oluşturabileceği ısı miktarlarının hesaplanması ile topraktaki nemlilik oranı ve su esdeğeri kar kalınlığının hesaplanmasımda kullanılmaktadır. Bu hesaplamalar yerbilimin çeşitli disiplinlere, tarım, orman ve enerji sektörlerine önemli katkılar sağlanmaktadır.

GAMA-IŞINI ÖLÇMELERİ

Her jeofizik yöntemde olduğu gibi gama-işını spektrometride de ölçümü etkileyen faktörler, ölçümlere uygunlanan bazı düzeltmeler ve ölçümlerin indirgendiği bazı



Şekil 9. Spektrometrik veri ile birlikte diğer yardımcı verilerinde kaydedildiği bir örnek.

Fig. 9. An example showing the recorded spectrometric and auxiliary data.

değerler vardır. Bu düzeltmeler ve indirmeler için spektrometre ile birlikte uçuş yüksekliğinin bir altimetre, havanın ısısının bir termometre ve hava basıncının da bir barometre ile ölçülü kaydedilmeleri gerekmektedir (Şekil 9).

Dış Etkenler

Normal şartlarda yeryüzünün herhangi bir noktasındaki radyasyon, her türlü kaynaktan yayılan radyasyonların toplamıdır. Bir cismin veya bir yerin radyasyonunu tam olarak bilmek için, o cismin veya o yerin dışındaki kaynaklardan gelen radyasyonun da ölçülmesi veya hesap edilmesi gerekmektedir.

Bir gama-işını spektrometrik etütde, spektrometrenin herbir penceresinde veya kanalında ölçülen gama ışma sayısı, yerden ve yeraltı kaynaklarından gelen gama ışımalarının toplamıdır. Yeraltı (background) radyasyon kaynakları kozmik ışınlar, spektrometrenin yapıldığı malzeme ile taşıyan aracın (uçak, jeep, vb.) yapıldığı malzemenin bileşiminde bulunan radyoaktif maddeler ve havadaki radon gazıdır.

Diğer taraftan, gama-işınlarının kendi doğal özellikleri nedeniyle spektrometrelere uygulanan bazı kalibrasyon işlemleri gerekmektedir. Örneğin, toryum izotopu olan Tl-208 den yayılan 2.62 MeV enerjili gama-işınları, toryum penceresinin yanısıra daha düşük enerjili kanal veya pencelerde de kendilerini gösterirler. Bu olaya Compton olayı denildiği daha önce açıklanmıştır. Buna göre, uranyum penceresinde ölçülen bir değer, uranyum orijinli 1.76 MeV lik gama-işınlarının oluşturduğu ışma sayısı ile Compton olayı nedeniyle daha düşük enerjili (örneğin toryum orijinli ve 2.62 MeV enerjili) gama-işınlarının oluşturduğu ışma sayısının toplamıdır.

Herhangibir penceredeki net ışma sayısının bulunması için diğer pencerelere ait gama-işını etkilerinin giderilmesi gereklidir. Bunun için özel kalibrasyon blokları kullanılır ve üzerinde spektrometre ile ölçüler almak suretiyle her pencerenin gama ışımının diğer percerelere etkisi belirlenir. Spektrometrik ölçmeleri etkileyen bir diğer etken, yer ile spektrometre arasındaki uzaklıktır. Herhangibir penceredeki ışma sayısı spektrometre ile yer arasındaki uzaklığa bağlı olarak üstel olarak azalır. Bunun için spektrometrik ölçmeler yerden belli bir yüksekliğe indirgenir.

Spektrometrik Ölçmelerdeki Düzeltmeler

Gama-işını spektrometrenin bir penceresindeki ve ho yüksekliğine indirgenmiş net ışma sayısı N_n , aşağıdaki eşitlik ile verilebilir

$$N_n = ((No - Nb) - Ns) \cdot \exp(\mu(h-h_0)) \quad (1)$$

Burada, No; herhangibir penceredeki ölçülen sayımı, Nb; yeraltı radyasyon kaynaklarının neden olduğu sayımı, Ns; Compton nedenli sayımı, μ ; spektrometrenin herhangibir penceresine ait uzaklık ile azalma katsayısını, h; uçuş yüksekliğini, h_0 ; indirgeme yüksekliğini göstermektedir.

Yeraltı radyasyondan gelen sayı N_b ise, (2) eşitliği ile verilebilir

$$Nb = D + R \quad (2)$$

Bu eşitlikteki R atmosferdeki radonun neden olduğu sayımlı tanımlamaktadır. D ise izleyen şekilde verilir:

$$D = A + bC \quad (3)$$

Burada A; uçağın kütlesinden ileri gelen radyasyonun neden olduğu sayımlı, C; 3.0-6.0 MeV enerji düzeyleri arasındaki kozmik penceredeki sayımlı tanımlar. b ise kozmik penceredeki her bir sayımlı, Compton nedeniyle herhangibir pencere oluşturabileceği sayımlı tanımlayan bir katsayıdır.

D 'nin bulunması için yeryüzü kaynaklı radyasyonun ulaşmadığı 3000-15000 feet yükseklikler arasında bir dizi uçuş yapılır. D, söz konusu yükseklerde herhangibir penceredeki sayımlı, C kozmik penceresindeki sayımlı olacaktır. İlgili pencere ile kozmik pencere arasında, (3) eşitliğindeki gibi kurulan doğrusal eşitliklerden b ve A bulunur.

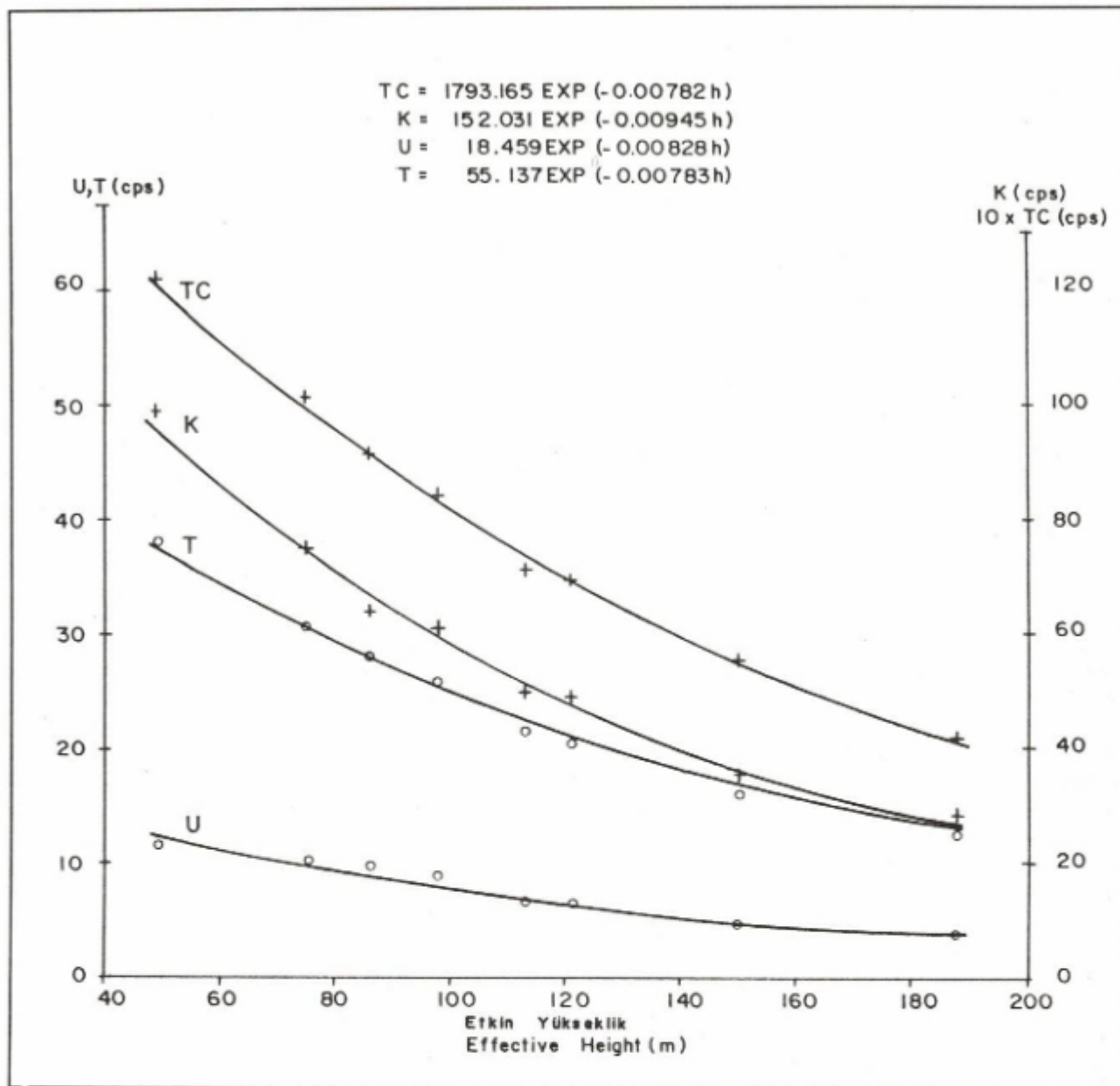
Atmosferdeki radon gazının neden olduğu spektrometre pencerelerindeki sayımlı belirlenmesi için izlenen birkaç yol vardır. Bunlardan en çok başvurulanı, etüt sahası içinde radyoelement konsantrasyonu düşük ve radyoelement dağılımı düzgün olan bir küçük sahada günde enaz iki defa ölçü alma yöntemidir. Bununla saha içindeki radon değişimi izlenmeye çalışılır. Bir diğer usul, daha küçük hacimli ve alt bölümüne kursun levha yerleştirilen ek bir kristal kullanarak sadece havadaki radon kaynaklı radyasyonu belirlemeye çalışmaktadır.

Spektrometrenin herhangibir penceresindeki net ışma sayısını bulmak için yapılacak düzeltme ve indirgeme işlemlerinin sırası şöyle olmalıdır.

- 1- Yeraltı radyasyonun yok edilmesi,
 - a. Uçak ve kozmik nedenli radyasyon
 - b. Atmosferdeki radonun neden olduğu radyasyon
- 2- Pencerelerdeki karşılıklı etkileşimin enden olduğu radyasyon yok edilmesi,
- 3- Ölümülerin belli bir yüksaklığa indirgeme işlemi,
- 4- Net sayımların radyoaktif element konsantrasyonlarına dönüştürme işlemi.

Pencerelerdeki karşılıklı etkileşimin neden olduğu sayımlı belirlenip, yeraltı radyasyon düzeltmesi yapılmış değerlerden çıkarılması işlemeye gama-işını spektrometresi literatüründe "Stripping" işlemi denmektedir.

Bunun için, içerdeği K, U ve Th konsantrasyonları bilinen 4 adet kalibrasyon bloğuna gerek vardır. Türkiye'de MTA Genel Müdürlüğü tarafından 1987 yılında inşa edilen Kalibrasyon Blokları Ankara-Etimesgut'ta bulunmaktadır. Bu blokların en ve boyları 8 metre, kalınlığı 0.375 metre ve aralarındaki mesafe 15 metredir. Ankara-Etimesgut kalibrasyon bloklarının radyoaktif element konsantrasyonları Çizelge 5 de verilmiştir. Stripping işlemi için gerekli olan Stripping katsayıları (4) de verilen dizey eşitliğinden elde edilir.



Şekil 10. Dinamik test uçuşu verisi dökümü ve yükseklik sönmü katsayıları (Orta Anadolu).

Fig. 10. Dynamic test flight data and height attenuation coefficients (Central Anatolia).

Çizelge 5. Ankara-Etimesgut kalibrasyon bloklarının radyoaktif element konsantrasyonları.

Table 5. Radioactive element concentrations of Ankara Etimesgut calibration pads.

| Blok | K (%) | eU (ppm) | eTh (ppm) |
|---------|-------|----------|-----------|
| B- Blok | 1.22 | 1.65 | 6.98 |
| K- Blok | 7.04 | 0.56 | 0.99 |
| U- Blok | 1.22 | 23.37 | 6.98 |
| T- Blok | 1.17 | 2.59 | 50.15 |

K, U ve T blokları üzerinde yapılan K, U ve Th pencereleri ölçümlerinden B bloku üzerinde yapılan K, U ve Th pencereleri ölçümleri çıkartılarak, her pencere için yerdişi radyasyondan arındırılmış işme sayısı dizeyi N elde edilir.

$$(S) = (N) (C)^{-1} \quad (4)$$

B bloku konsantrasyon değerleri K, U ve T blokları konsantrasyon değerlerinden çıkarılarak C dizeyi elde edilir. (4) eşitliğinin çözümünden elde edilen S dizeyi değerleri yardımıyla da stripping katsayıları bulunur. (1) eşitliğindeki N_s in hesaplanması da stripping katsayılarından yararlanılır (Grasty 1979).

Spektrometrik ölçmelerin bir düzleme indirgenebilmesi için belli bir enerji aralığındaki gama-işınlarının uçuş yükseklidine bağlı olarak ne oranda söñümme uğradıklarının bilinmesi için, bu pencerelere gelen gama-işınlarının söñüm katsayıları da farklı olacaktır (Grasty 1975, Grasty et. al 1979).

(1) eşitliğinde yeralan μ söñüm katsayısının herbir pencere için hesaplanabilmesi amacıyla, yerden 50-1000 feet arasındaki yüksekliklerde bir dizi uçuş yapılır ve her bir yükseklikteki sayımlar kaydedilerek (5) eşitliği kurulur. Buradan da μ değerleri hesap edilir. Şekil 10'da Orta Anadolu havadan spektrometre etüdünde kullanılan gama söñüm katsayılarının elde edildiği uçuş değerleri ile bunların grafik dökümü görülmektedir.

$$N = No \cdot \exp(\mu h) \quad (5)$$

N ; herhangibir penceredeki kaydedilen sayımı, μ ; ilgili pencerenin gama söñüm katsayısını, h ; ölçü yani uçuş yüksekligini ifade eder. No ise ilgili pencerenin yeryüzündeki sayımızdır.

Ölçümlere uygulanan en son düzeltme işlemi, herhangibir pencerenin net sayım değerinin radyoaktif element konsantrasyonuna dönüştürülmesi işlemidir. Örneğin, uranyum penceresinin net sayımını, o sayımı verecek uranyum konsantrasyonu olarak tanımlamak gerekdir. Bunun içinde radyoaktif element konsantrasyonları bilinen bir saha üzerinde ölçüm yapılır, ölçümlere tüm düzeltme ve indirmeye işlemleri uygulanır ve elde edilen herhangibir pencere değeri sahanın ilgili radyoaktif element konsantrasyon miktarına bölünür. Bulunan değer sepetrometrenin o penceresinin ilgili radyoelemente duyarlılığını verir. Daha sonra, etüt verileri tüm düzeltme ve indirmeye işlemlerinden sonra spektrometrenin duyarlılık sabitine bölünenek radyoaktif element konsantrasyonlarına dönüştürülmüş olur.

SONUÇ

Bu yazı ile gama-işını spektrometresinin tanıtımı yapılarak Türkiye'deki jeofizikçilerin konuya eğilmeleri, konunun kuramsal gelişimine ve uygulama tekniklerine katkı getirmeleri amaçlanmıştır. Gama-işını spektrometresi bugün dünyanın pek çok ülkesinde yerbilimi ile ilgili pek çok sorunun çözümünde başarıyla uygulanmaktadır. Özellikle son yıllarda çevresel radyoaktivite kirliliğinin belirlenmesi veya izlenmesi uygulamalarında çok büyük gelişmeler sağlanmıştır.

KATKI BELİRTME

Bu yazının hazırlanması, şeñillerinin çizilmesi ve bilgisayarda yazılmasında emeği geçen Hacer ASLAN, Ayla ARIN ve Arzu SEVİNÇ'e teşekkür ederim.

KAYNAKLAR

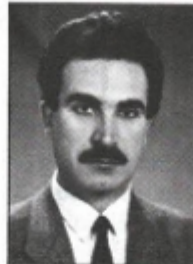
- Amstrong, F.E. and Heemstra, R.J. 1972, Radiometrics proposed for exploration. Oil and Gas Journal, V. 88-97, and p. 152-161.
- Amstrong, F.E. and Heemstra, R.J. 1973, Radiation halos and hydrocarbon reservoirs: a review. Information Circular 8579, Bureau of Mines, U.S. Dept. of Int.
- Aydin, I. 1990, Orta Anadolu Uranyum aramaları Havadan Gamma Ray Spektrometri Etüdü Raporu. MTA rapor No. 9146, Ankara.
- Barasch, G.E. and Beers, R.H. 1971, Aerial Radiological Measuring Surveys of the Nuclear Fuel Service Plant, West Valley, Newyork, 1968 Rep. ARMS 68-6-9, EG and G. inc., Las Vegas.
- Charbonneau, B.W. 1988, Spectrometric and magnetic anomalies associated with Cu-U mineralization, Faber Lake Volcanic Belt, District of Mackenzie, NWT. Paper 88-1C, Geol. Surv. Of Canada
- Charbonneau, B.W. and Swettenham, S.S. 1986, Gold occurrence in radioactive calc silicate float at Sandybeach Lake, Nueltin Lake Area, District of Keewatin, Paper 86-1a, Geological Survey of Canada.
- Clark, S.P. Jr, Peterman, Z.E. and Heiers, K.S. 1966 Abundance of Uranium, Thorium and Potassium. Handbook of Physical Constants. Geol. SEc. of Am. memorial 97.
- Darnley, A.G. and Grasty, R.L. 1971, Mapping from the air by gamma ray spectrometry. Can. Inst. of Minning and Metallurgy. Geochemical Explor. 11, 1-16.
- Grasty, R.L. 1975, Uranium measurement by airborne gamma-ray spectrometry. Geophysics 40, 503-519.
- Grasty, R.L. 1979, Gamma-ray Spectrometric Methods in Uranium Exploration-Theory and Operational Procedures. Economic Geology Report 31, Geological Survey of Canada.
- Grasty, R.L. 1988, The relationship of geology to radon in homes. GSC forum, Geological Survey of Canada (unpublished)
- Grasty, R.L., Glynn, J.E. and Grant, J.A. 1985, The analysis of multichannel airborne gamma-ray spectra, Geophysics, 2611-2620.
- Grasty, R.L. and Multala, J. 1991, A correlation technique for separating natural and man-made airborne gamma-ray spectra, Paper 90-1D, Geological Survey of Canada
- Gross, W.H. 1952, Radioactivity as a guide for ore. Economic Geology 47, 722-742.
- Harshman, E.N. 1974, Formation of uranium ore deposits, Sm-183-4, IAEA, Vienna.
- Hutchison, R.D., Lucarelli, L.B. and Hartman, R.R. 1962, Türkiye'nin Müntehab Sahalarında Maden Kaynaklarının Kriymetlendirilmesi Hakkında İstikşaf Programı. MTA Rapor, Ankara.
- IAEA 1979, Gamma-Ray Surveys in Uranium Exploration. Technical Report Series No. 186, Vienna.
- IAEA 1991, Airborne Gamma Ray Spektrometer Surveying Technical Report Series No. 323, Vienna.

- Kaplan, H. 1976, Eskişehir-Sivrihisar-Kızılcaören köyü Güneyi Nadir Toprak Elementleri-Toryum Kompleks Yatağı Üzerine 1975 Yılında Yapılmış Çalışmalar Hakkında ara Rapor. MTA Rad. Min. ve Köm. Dairesi rapor No 464, Ankara.
- Kerr, R.A. 1988, Indoor radon-the deadliest pollutant. *Sci. Am.* 240, 606-608.
- Moxam, R.M., Foote, R.S. and Bunker, C.M. 1965, Gamma ray spectrometer studies of hydrothermally altered rocks. *Economic Geology*, 60, 653-671
- Pitkin, J.A. 1968, Airborne measurements of terrestrial radioactivity as an aid to geological mapping. Paper 516-F, USGS.
- Potts, M.J. 1976, Computer methods for geological analysis of radiometric data, SM-208-46, IAEA, Vienna.
- Shideler, G.L. and Hinze, W.J. 1971, Utility of carbonne radiometric surveys in petroleum exploration of glaciated regions. *Geophysical Prospecting* of 19, 568-585.
- Telford, W.M., Geldart, L.P., Sheriff, R.E. and Keys, D.A. 1976, *Applied Geophysics*, Cambridge Un. Press, Cambridge.
- Wallin, B. 1984, A Pilot Airborne Gamma-Ray Survey in Yozgat ve Bayburt Area, Anatolia, Turkey. Riso, DK-4000, Roskilde, Denmark.

YAZI VERENLER

HALUK EYİDOĞAN

1950 yılında İstanbul'da doğdu. 1974 yılında İÜ.F.F. Jeofizik Bölümü'ni bitirdi. 1975 yılında aynı yerde Lisans-Üstü çalışmasını tamamladı. 1975 yılında İ.T.Ü. Maden Fakültesi Jeofizik Bölümü'nde asistan olarak çalışmaya başladı. Sismoloji dalında 1983 yılında Doktora, 1987 yılında Doçent ve 1993 yılında Profesör unvanını aldı. Çeşitli yıllarda Japonya'da Tokyo Deprem Araştırma Enstitüsü'nde depremlerle ilgili araştırmalara katılmıştır. Depremtektonik ilişkileri, mikrodeprem, art sarsıntı kayıt ve değerlendirme ve deprem kaynağının modellenmesi ve kaynak parametrelerinin saptanması üzerine çeşitli ulusal ve uluslararası araştırma ve projelerde çalışmıştır. Bu konularla ilgili olarak yerli ve yabancı bültenlerde makaleler, Türkiye depremleri ile ilgili iki katalog yayınlamıştır. JFMO İstanbul Temsilciliği'nde, Maden Fakültesi Yönetim ve Akademik Kurulu'nda, İnşaat Fakültesi Yapı-Deprem UYG-AR Merkezi Merkez Kurulu'nda üyeliklerde bulunmuştur. Halen, İTÜ Maden Fakültesi Jeofizik Mühendisliği Bölümü, Yer Fiziği Anabilim Dalı Başkanlığı ve Yerbilimleri ve Yeraltı Kaynakları UYG-AR Merkezi Sismoloji ve Sismotektonik Birimi Yöneticiliği görevlerini yürütmektedir.



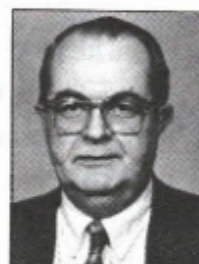
HAKKI ŞENEL

1956 yılında Bursa-Yenişehir'de doğdu. 1978 yılında İstanbul Üniversitesi, Fen Fak., Jeofizik bölümünden mezun oldu. 1979 yılında MTA enstitüsü'nde göreveye başladı. 1986 yılında, İstanbul Üniversitesi, Yerbilimleri Fakültesi'nde doktora tezini tamamladı. 1988 yılından itibaren Kocaeli Mühendislik Fakültesi'nde Yard. Doç. kadrosunda görev yapmaktadır. Halen, Kocaeli Üniversitesi Yerfiziği Anabilim Dalı Başkanılığını yürütmemektedir.



ÜĞUR GÜÇLÜ

1936 yılında Elâzığ'da doğdu. İlköğretimini Diyarbakır'da, orta ve lise öğrenimini İstanbul'da yaptı. 1960 yılında İstanbul Üniversitesi Fen Fakültesi Jeoloji Lisans dalından mezun oldu. 1961 yılında İ.T.Ü. Sismoloji Enstitüsü'nde göreveye başladı, 1967-1969 yılları arasında vatanı görevini yaptı. Bu tarihten sonra İ.T.Ü. Arz Fiziği Enstitüsü'ndeki görevine döndü. 1973 yılında Jeoloji Yüksek Mühendisliği yönetmeliği uyarınca Yüksek Mühendislik formasyonunu tamamladı. Halen İ.T.Ü. YBYK UYG-AR Merkezi Sismoloji ve Sismotektonik Birimi'nde görev yapmaktadır. Deprem istatistiği, Sismosite ve Makrosismik konularında çalışmıştır. Bu konularda 14 yayına katkıda bulunmuştur.



İBRAHİM AYDIN

1948 yılında Balıkesir'de doğdu. İstanbul Üniversitesi Jeofizik Mühendisliği Bölümü Mezunudur. 1972 yılından beri MTA Genel Müdürlüğü Jeofizik Dairesi'nde Çalışmaktadır.



TEZ ÖZETLERİ

YÜZEY DALGALARININ ÖZELLİKLERİ VE SİSMİK KESİTLERDEKİ ETKİLERİ

Murat YILMAZ

Bu çalışmada, Sismik yansımıza yöntemlerinde kaynak tarafından üretilen ve yüzey dalgaları olarak bilinen Rayleigh dalgalarının kaynak derinliğine bağlı olarak yayılım özellikleri incelenmiştir. Bu amaç için Ayrık Dalga Sayısı (Discrete Wave Number) Yöntemi ile elde edilen yapay sismogramlar ve gerçek saha verileri kullanılmıştır. Yapay sismogramların elde edilmesinde frekansa bağlı soğurma ve yayım kayıpları dikkate alınmıştır.

Model çalışmaları için, 50 metre aralıklı 24 jeofondan oluşan bir alıcı düzeni ile derinliği değişken bir nokta kaynak ve tabakalı ortam modeli kullanılmıştır. Ayrık Dalga Sayısı Yöntemi ile elde edilen iğneçik cevapları (unit impulse response) Gabor dalgacığı ile evrişime sokularak yapay sismogramlar elde edilmiştir. Gerek yapay sismogramların gerekse gerçek verilerin incelenmesi aşağıdaki sonuçları vermiştir;

- i) Yüzey dalgaları ancak belirli şartların sağlanması ile dispersiv olabilir. Bu şartlar;
 - a) Ortamın tabakalı olması
 - b) Yüzey dalgasının dalga boyu ilk tabaka kalınlığına göre yeterli büyüklükte olmalıdır.
- ii) Yüzey dalgalarının büyüklükleri (amplitüt) kaynak derinliğinin artması ile azalmaktadır.

Yüksek Lisans Tezi (1992)

Karadeniz Teknik Üniversitesi, Fen Bilimleri Enstitüsü

Danışman: Yrd. Doç. Dr. Veli Kara

BOUGUER ANOMALİ HARİTASINA UYGULANAN İŞLEMLER VE ENKÜÇÜK KARELER YÖNTEMİ İLE YÜZEY UYDURULMASI

Aysel ŞEREN

Gravite yöntemi, yeraltında bulunan farklı yoğunluktaki kütelerin yeryüzünde meydana getirdiği çekim etkisi değişimin ölçülmesinde kullanılır. Yeryüzünde yapılan ölçüm değerlerine bir takım düzeltmeler uygulandıktan sonra elde edilen Bouguer belirti (anomali) değerleri, sig (rezidüel) ve derin yapısal (rejyonal) etkilerin toplamından oluşur. Çalışmanın amacına göre, bu etkiler birbirinden ayrılmazdır. Şöyle ki, daha derin ve bölgesel bir yapı ile ilgileniliyor ise sig etkilerin, yok yüzeye yakın etkilerin araştırılması ile ilgileniliyor ise, derin etkilerin Bouguer anomalisinden atılması gereklidir. Bunun için çeşitli yöntemler geliştirilmiştir.

Bu çalışmada, sig ve derin etkilerin birbirinden ayrılması için süzgeçleme, yukarı analitik uzanım, ikinci türev ve yüzey uydurma işlemleri yapılarak elde edilen sonuçlar birbirleri ile kıyaslanmıştır. Süzgeçleme işleminde, süzgeç operatörleri Fuller ve Hankel dönüşümü ile belirlenmiştir. Yukarı analitik uzanım, aşağı analitik uzanım ve ikinci türev işlemlerinde Fuller dönüşümü kullanılmıştır. Yüzey uydurma işleminde ise enküçük kareler yönteminden yararlanılmıştır. Burada kullanılan yöntemler önce yapay bir veri üzerinde denendikten sonra Kuzey Adiyaman yöresine ait Bouguer belirti haritasına uygulanmıştır. Elde edilen sonuçlardan bölgenin yapısal jeolojisi hakkında bir yorumu gidilmiştir.

Yüksek Lisans Tezi (1992)

Karadeniz Teknik Üniversitesi, Fen Bilimleri Enstitüsü

Danışman: Yrd. Doç. Dr. Veli Kara

TAHRAN'IN KUZEY VE GÜNEYİNDEKİ HAVADAN MANYETİK HARİTALARIN DEĞERLENDİRİLMESİ

Mehrnaz MOURTAZAVI

İran'da Tahan civarında havadan manyetik haritaların Amol, Tahan, Aran ve Kashan pftalarındaki veriler kullanılarak yüzeyde ve derinde yeralan manyetik kayaç birimleri incelenmiştir. Bölge, kuzeyde Alborz ile orta İran ana birimlerinin oluşturduğu bir kita içi çarpışma kuşağı üzerindedir. Tahan civarındaki doğu-batı yönlü Musha-Fasham fayı ile Kum-Erdekan çokkütüsü bölgemin ana yapısal özellikleridir.

33°- 37° kuzey enlemleri ile 51° - 52°30' doğu boyamları arasında kalan bölgede seçilen yaklaşık kuzey-güney doğrultusunda dört doğrultu boyunca toplam manyetik induksiyon değerleri B örneklenmiş, Blackman penceresi uygulanarak genlik ve güç yoğunluğu spektrumları hesaplanmıştır. Her profiline boyu yaklaşık 300-400 km arasında ve örnekleme aralığı 1.25 km seçilmiştir.

Verilerin spektrumunda beliren üç ayrı eğim, üç ayrı manyetik birim derinliğine karşı gelmektedir. Birinci grubun üst yüzey derinliği yaklaşık 10 km, ikinci grup 5 km ve üçüncü grup ise yaklaşık 1-1.5 km dir. Birinci grup derinlikler daha çok Prekambrien yaşı metamorfik temel kayaca, ikinci ve üçüncü grup derinlikler ise yüzeysel Senozoik yaşı volkaniklere karşı gelmektedir.

Bölgede gözlenen Kashan manyetik anomalisi bir dayk yapısı ile modellenmiş olup yapılan değerlendirmede 2.5 km derinde 45 km kalınlığında ve yaklaşık K 18° D yönünde kuzey batı doğrultusunda 101° lik dalın açısına sahip uzanan bir düşey katman (veya sokulum) tespit edilmiştir.

Yüksek Lisans Tezi (1993)

İstanbul Üniversitesi, Fen Bilimleri Enstitüsü, Jeofizik Mühendisliği Anabilim Dalı

Danışman: Prof. Dr. O. Metin İlkişik

VLF ÖLÇÜMLERİ VE DEĞERLENDİRİLMESİ

Murat BAYRAK

Radyo-Dalgası Yöntemi VLF (10-30 kHz) bandında yayın yapan radyo vericilerini kullanır. Bu yayınlar ölçü noktası civarında yayının yönüne dik yatay bir birincil manyetik alan oluştururlar. Yeraltıda bir süreksızlık ya da iletken varsa yüzeyinde indüklenen akımlar farklı şiddet ve yönde ikincil bir manyetik alan üretir. Böylece süreksızlık civarında bileşke vektörün yönü ve şiddeti değişir. Bu değişim çeşitli biçimlerde izlenerek yeraltı yapısı incelenir. VLF yöntemi yaklaşık 5-50 m arasındaki sığ iletken yapıları araştırmada oldukça hızlı ve ucuz bir yöntem olduğu için madencilikte, yeraltısuyu, zemin araçtırmaları, çevre sorunları ve arkeolojide kullanılmaktadır.

Ülkemizde bir Türk ekibi tarafından ilk olarak uygulanan VLF yöntemi ile, 15.0-30.0 kHz frekans aralığında yayın yapan radyo istasyonlarını belirlemek amacıyla İ.Ü. Avcılar Kampüsü'nde 7 Eylül 1992 ve 13 Ocak 1993 tarihlerinde VLF yayın spektrumları elde edilmiştir. Görülen odur ki VLF spektrumlardan çok çeşitli frekanslarda yayın yapan radyolar vardır ve bu ise araştırmaların yürütülmesi için yeterlidir. Ayrıca VLF ölçümünün yön'e bağlı olarak nasıl değiştiğini belirlemek amacıyla 19.0, 20.3 ve 22.3 kHz frekansları ve 10 m elektrod aralığı için üç farklı yönde 4 VLF ve 3 özdirenç parametresi ölçülerek gerekli karşılaştırma yapılmıştır.

Daha sonra VLF Yöntemi ile İ.Ü. Avcılar Kampüsü'nde jeofizik deneme alanında belirlenen doğrultu boyunca 16.0 kHz ve 19.6 kHz frekansları için doğu-batı (EW) ve kuzey-güney (NS) doğrultularında ölçümler alınmıştır. 10 m elektrod aralığı ile 46 noktada 4 VLF ve 3 özdirenç parametresi ölçülmüştür. EW ve NS yönleri için 16.0 kHz ve 19.6 kHz frekanslarında elde edilen parametreler grafikler üzerinde izlendiğinde seçilen doğrultu üzerinde olası iletken yeri belirlenmiştir.

Yüksek Lisans Tezi (1993)

İstanbul Üniversitesi, Fen Bilimleri Enstitüsü, Jeofizik Mühendisliği Anabilim Dalı

Danışman: Prof. Dr. O. Metin İlkişik

YAPAY SİSMOGRAMLARLA MARMARA BÖLGESİ'NDE YERKABUĞU YAPISININ ARAŞTIRILMASI

Ömer SAYAR

Bu çalışmada, cisim dalgalarının önemli kabuksal fazlarının variş-zamanlarından yararlanarak Marmara Denizi ve çevresindeki yerkabuğu yapısı belirlenmeye çalışılmıştır.

Bunun için, Marmara Denizi ve çevresinde oluşan 18 adet depremin Boğaziçi Üniversitesi Kandilli Rasathanesi İstanbul (ISK) sişmoloji istasyonundaki kayıtları kullanılmıştır. Kayıtlar, üç bileşen ve sayısaldır.

Kabuksal fazların daha iyi bir şekilde belirlenebilmesi için yapay sismogramlar kullanılmıştır. Özellikle faz varyansları ile ilgilenildiğinden yapay sismogramlar işin-izleme yöntemi ile hesaplanmıştır. Yerkabuğu modelleri gözlemsel ve yapay sismogramların faz varyansının karşılaştırılması ile belirlenmiştir.

İnceleme alanında yerkabuğu yakın uzaklıklarda önemli ölçüde değişmektedir. Bu nedenle, bölge depremleri beş farklı azimutal gruba ayrılarak ele alınmıştır. Modellemede, eğimli arayüzey olasılığı da dikkate alınmıştır. İncelenen depremlerin episantır uzaklıklarının eğimli yapı modellemesi için büyük olması nedeniyle yatay tabakalı modeller daha iyi sonuçlar vermiştir. Bundan dolayı, yerkabuğu yatay tabakalı olarak modellenmiştir.

Marmara Bölgesi için üç tabakalı yerkabuğu modelleri yeterli yaklaşıklık sağlamıştır. Bu şekilde belirlenen modellerde toplam kabuk kalınlıkları 27 km ile 33 km arasında değişmektedir. Kabuk İstanbul civarında en ince (≈ 27 km) olup, güneye ve batıya doğru kalınlaşmaktadır (32-33 km). Belirlenen üst manto hızları P dalgaları için ortalama $= 7.8-8.13$ km/sn S dalgaları için ise $= 4.5-4.6$ km/sn kadardır.

Yüksek Lisans Tezi (1993)

Karadeniz Teknik Üniversitesi, Fen Bilimleri Enstitüsü

Danışman: Yrd. Doç. Dr. Mithat Fırat Özer

DÜŞEY SİSMİK PROFİL YÖNTEMİNDE DALGA ALANLARININ AYRIMI

İhsan Nuri KARAGÜL

Düsey sismik profil (DSP) yönteminin diğer sismik yöntemlerden olan farkı, sismik olayların zaman ve derinliğin fonksiyonu olarak kaydedilmesidir. Bu yöntem son yıllarda, petrol araştırmalarında kuyuların çevresindeki jeolojinin yüksek ayrımılıkla görüntülenmesi ve kayaçların fizikal özelliklerinin belirlenmesi amacıyla yaygın olarak kullanılmaya başlanmıştır.

Çalışmanın amacı; başta yüzey sismiği olmak üzere, diğer sismik prospeksiyon verilerinin doğru bir şekilde yorumlanmasıına yardımcı olması bakımından, zaman-derinlik (t-z) ortamında, ara sınırlarda, ardışık yansımalar sonucu oluşan aşağı ve yukarı giden dalga alanlarının frekans-dalgasayıları hız süzgeçleme tekniği ile, frekans-dalgasayıları (f-k) ortamında bastırılarak birbirinden ayırt edilmesidir.

Bu çalışma için öncelikle 47 tabaka bir Model DSP verisi hazırlanmış ve modelde 30 m aralıklla 32 seviyede sismik izler hesaplanmıştır. Daha sonra, dalga alanlarının ayrılmasının sağlanabilmesi için, model veri 2-boyutlu (2-B) Fourier dönüşümü ile frekans-dalgasayıları ortamına aktarılmıştır. Burada, dalga alanlarının ayrılmasının sağlanmasından sonra, zaman-derinlik ortamına dönüldüğünde, meydana gelebilecek yanlış olayları (Rieber karışması) minimumda tutabilmek için en uygun atma bandı (f-k) ortamında belirlenmiş ve dalga alanlarının ayrılması hızlı, etkili ve doğru bir şekilde elde edilmiştir.

Yüksek Lisans Tezi (1993)

Karadeniz Teknik Üniversitesi, Fen Bilimleri Enstitüsü

Danışman: Doç. Dr. Özer Kenar

İKİ VE ÜÇ BOYUTLU AKUSTİK DALGA YAYILIMININ SONLU FARKLAR, HARTLEY VE FOURIER METODLARI İLE MODELLENMESİ

Yusuf BAYRAK

Yapay sismogram üretilmesi konusundaki çalışmalar uzun yillardan beri sürdürmektedir. Bilgisayarların gelişmesi ile dalga denklemleri sayısal yöntemlerle çözülmerek yapay sismogramlar üretilmeye başlanmıştır.

Bu çalışmada iki ve üç boyutlu akustik dalga denklemleri sonlu farklar, Hartley ve Fourier metodları ile çözülmüştür. Ayrıca sismik prospeksiyonda önemli olan ayrımlılık konusu ele alınmış, düşey ve yatay yöndeki ayrımlılık kriterleri incelenmiş, basit iki tabakalı yeraltı modeli için yöntemler karşılaştırılmış ve çeşitli kompleks yapılar modellenmiştir.

Sismik prospeksiyonda elde edilen verilerin doğru bir şekilde yorumlanması yardımcı olan yapay sismogram modellenmesinde son yıllarda sık olarak kullanılan sonlu farklar, Hartley ve Fourier metodları karşılaştırılmıştır. Hartley metodunun gerek iki boyutlu gerekse üç boyutlu modelleme için hız ve bellek bakımından en avantajlı metod olduğu sonucuna varılmıştır. Fourier ve Hartley metodları ile yapılan modelleme için sadece pencere sınırları kullanılabilmektedir. Bu yüzden sismogramlarda ilk ve son izlerde bazı olaylar sönmülmektedir. Oysa, sonlu farklarda kullanılan sınır şartlarından dolayı tüm izlerde olaylar gözlenebilmektedir. Bu yüzden, kompleks yapıların modellenmesinde hız ve bellek dezavantajına rağmen sonlu farklar metodunu tercih edilmiştir.

Yüksek Lisans Tezi (1993)

Karadeniz Teknik Üniversitesi, Fen Bilimleri Enstitüsü

Danışman: Yrd. Doç. Dr. Veli Kara

ODA ÜYELERİ

| SİCİL NUMARASI | ADI SOYADI | SİCİL NUMARASI | ADI SOYADI |
|----------------|-------------------|----------------|------------------------|
| 1206 | Alev DURAL | 1233 | Emine TAMCAN |
| 1207 | Mustafa ŞAHİN | 1234 | M. Murat UĞURAL |
| 1208 | C. İbrahim GÜNAY | 1235 | Zafer MAVİGÖZ |
| 1209 | Erkan AY | 1236 | Ömer AKBAŞ |
| 1210 | Ayhan TOLAY | 1237 | Murat ÇETİN |
| 1211 | Tolga PULAT | 1238 | Osman ONUR |
| 1212 | Aynur TAVUKÇUOĞLU | 1239 | M. Murat ERİŞMİŞ |
| 1213 | Meltem ÇALIŞKAN | 1240 | H. Osman YILDIRIM |
| 1214 | Ömer SAYAR | 1241 | Davut AYYILDIZ |
| 1215 | E. Aysun BOZTEPE | 1242 | İbrahim ŞENEL |
| 1216 | A. Osman VERİLMİŞ | 1243 | Salih DURSUN |
| 1217 | Hüseyin ARAS | 1244 | Emine AKTAŞ |
| 1218 | Fatih DİZDAR | 1245 | Göknur ALTINBAŞ |
| 1219 | Mustafa AKGÜN | 1246 | İsmail GELİNCİK |
| 1220 | Mehmet KONUKSEVEN | 1247 | Türkan AKSOY |
| 1221 | Orhan D. POLAT | 1248 | Arzu YAŞIN |
| 1222 | A. Hüsnü ERONAT | 1249 | Aslı AKAL |
| 1223 | Şahin SELVİ | 1250 | Kaan TUĞTEKİN |
| 1224 | Sevilay BAYRAM | 1251 | Erbil AKSOY |
| 1225 | Engin ÖZER | 1252 | F. Şahika AĞAR |
| 1226 | H. Dilek KARAN | 1253 | Mehmet Safi YILDIZ |
| 1227 | Ali KARAN | 1254 | İlhan HARMAN |
| 1228 | Veli YILDIRIM | 1255 | İbrahim PALAZ |
| 1229 | C. Aşkın BOYUER | 1256 | İlker MİLDAN |
| 1230 | Birol AKCAN | 1257 | Ayhan EKEN |
| 1231 | Ertan PEKİSEN | 1258 | Bekir SAKAR |
| 1232 | İ. Ethem ÖZTÜRK | 1259 | M. Okan ŞERAFETTİNOĞLU |

ading-edge technology for
ast, efficient operations in
ensitive environments.



CGG operates the most sophisticated 3D seismic tools and methods worldwide.

MASSY

Tel: (33-1) 64 47 30 00
Fax: (33-1) 64 47 39 70

LONDON

Tel: (44-81) 899 2400
Fax: (44-81) 899 2500

MOSCOW

Tel: (7-095) 230 20 71
Fax: (7-095) 230 26 63

HOUSTON

Tel: (1) 713/784 07 40
Fax: (1) 713/266 97 54

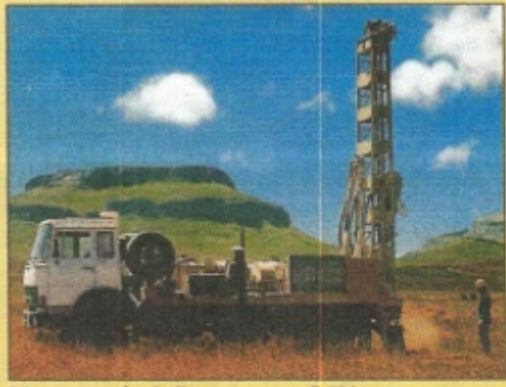
RIO DE JANEIRO

Tel: (55-21) 224 59 79
Fax: (55-21) 252 77 39

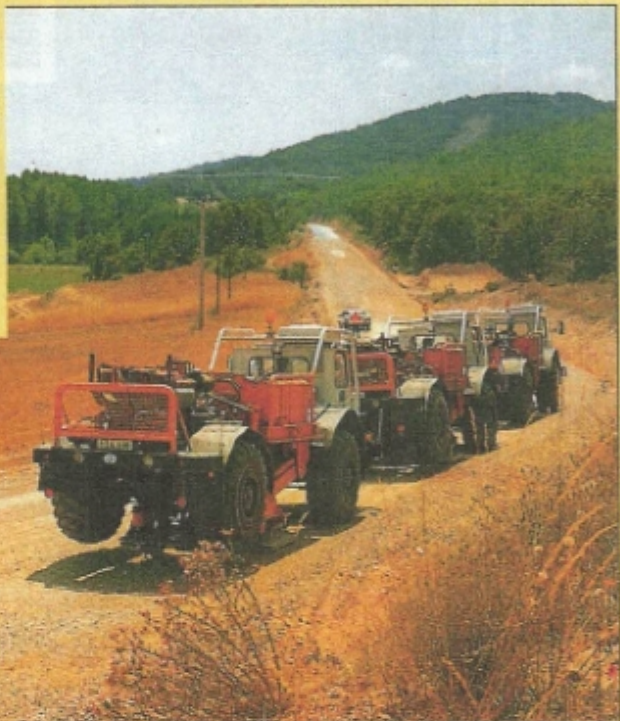
SINGAPORE

Tel: (65) 235 97 33
Fax: (65) 732 76 16

EXPLORATION INNOVATORS FOR TOMORROW'S ENERGY



Heavy weight drilling rig, type P 5001



Vibrators, type VVCA, during a 3D survey

GECO-PRAKLA is an international geophysical company within the Schlumberger Group and offers a wide range of seismic acquisition, data processing and interpretation services.

GECO-PRAKLA is one of the world's leading geophysical contractors with more than 25 survey vessels, 40 land crews, 15 processing centers, 3 petroleum laboratories and 8500 employees.

GECO-PRAKLA operates a major region office in Hanover, coordinating all land seismic activities for its Europe, CIS and Middle East Region (ECM).

Schlumberger

GECO-PRAKLA

For information contact the GECO-PRAKLA office in Ankara:

PRAKLA-PETROL ARAMA ŞİRKETİ

Uğur Mumcu Caddesi No: 87/12 Gaziosmanpaşa 06700 Ankara/TURKEY

P.O. Box 41, Kavaklıdere 06691 Ankara/TURKEY

Telephone: ++90 (312) 447 05 44 Telefax: ++90 (312) 446 77 36 Telex: 42906 Scha Tr